



ปีการศึกษา 2532
ชุดทดลองการสื่อสารข้อมูลแบบดิจิทัล
โดย
นาย เจริญสันต์ ทรงสโรจน์ 313302
นาย ทวีศักดิ์ สอนิวัตรศิริ 313304
อาจารย์ที่ปรึกษา
ผศ. ดร. กนก เจริญพงษ์เวช
อ. กฤดากร กล่อมการ



ปริญญานิพนธ์ปีการศึกษา 2532

ภาควิชา เทคโนโลยีสารสนเทศ

สาขา เทคโนโลยีอิเล็กทรอนิกส์

คณะวิศวกรรมศาสตร์ สถาบันเทคโนโลยีพระจอมเกล้าเจ้าคุณทหารลาดกระบัง

เรื่อง ชดทดลองการสื่อสารข้อมูลแบบดิจิทัล

ผู้จัดทำ 1. นาย เจริญสันต์ ทรงสโรจน์

2. นาย ทวีศักดิ์ สุนันวีตรศิริ

อาจารย์ที่ปรึกษา

สุภากร อ.

อาจารย์ที่ปรึกษา

สุภากร อ.

อาจารย์ที่ปรึกษา

DIGITAL COMMUNICATION EXPERIMENT SETS

CHAREONSON SONGSUROJ

THAWEESAK SUKNIVATSIRI

ASS.PROF.DR. KANOK JENJIRAPONGVAJ

KITDAKORN KLOMKARN

ADVISOR

1989

ABSTRACT

Nowaday, data management has been developed, That is necessary familiarization to study the operation in concert for communication system. This thesis present a design and construction of Digital Communication Experiment Sets Fundamental of digital modulation ; amplitude shift keying, phase shift keying ,frequency shift keying are designed by basic circuit.

Each circuit of modulation and Demodulation type can be model by mathematics , that use to evaluation of each transmission in theory ,Experiment results of each type with bit error rate meter and frequency counter can be set up .So that is suitable of this experiment set communication laboratory.

เอกสารนี้เป็นเอกสารที่สงวนไว้สำหรับการใช้งานเพื่อการศึกษาเท่านั้น ไม่อนุญาตให้นำไปใช้ประโยชน์ด้านการค้า
ไม่ว่ากรณีใดๆทั้งสิ้น อีกทั้งห้ามมิให้ตัดแปลงเนื้อหา และต้องอ้างอิงถึงเจ้าของเอกสารทุกครั้งที่มีการนำไปใช้

ชุดทดลองการสื่อสารข้อมูลแบบดิจิทัล

นาย เจริญสันต์ ทรงสโรจน์
นาย ทวีศักดิ์ สขนิวัตรศิริ

ผศ.ดร. กนก เจริญพงษ์เวช
อ. กฤดากร กลุ่มการ
อาจารย์ที่ปรึกษา
ปีการศึกษา 2532

บทคัดย่อ

การสื่อสารด้วยไฟฟ้านั้น จัดว่าเป็นวิทยาการที่สำคัญอย่างหนึ่งในปัจจุบัน ดังนั้นจึงมีความจำเป็นที่จะรู้จักเพื่อศึกษาหลักการทํางานของระบบไฟฟ้าสื่อสาร ซึ่งวิทยานิพนธ์ฉบับนี้ได้ออกแบบและสร้างชุดทดลองขึ้น เพื่อใช้ในการศึกษาการติดต่อการส่งข้อมูลพื้นฐาน ในชุดทดลองนี้ประกอบด้วยการส่งข้อมูลแบบแอมพลิจูดชิฟต์คีย์อิง(amplitude shift keying), เฟสชิฟต์คีย์อิง(phase shift keying), ฟรีควีนซีชิฟต์คีย์อิง(frequency shift keying).

แต่ละรูปแบบของการส่งและรับข้อมูลนั้น สามารถแสดงด้วยหลักการของสมการทางคณิตศาสตร์ได้ตามโครงสร้างทางทฤษฎีและผลลัพธ์ของการทดลองสามารถที่จะตรวจสอบโดยใช้ error rate meter, frequency counter. ดังนั้นจึงนับว่าชุดทดลองนี้จึงเหมาะสมที่จะนำไปใช้เป็นชุดทดลองการติดต่อการสื่อสารในการทดลอง

สารบัญ

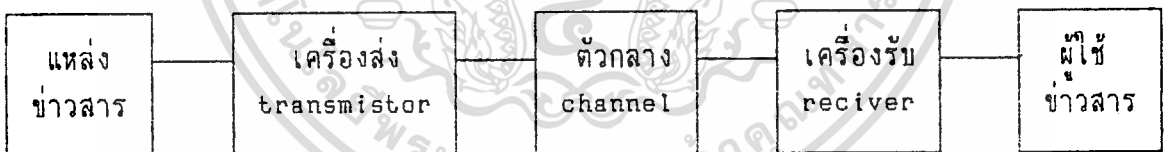
		หน้า
บทที่ 1	บทนำ	1
บทที่ 2	ดิจิตอลโมเด็ม	3
	2.1 เครื่องกรองความถี่แบบอ้อมตีมีม	3
	2.2 ASK	16
	2.2.1 โคฮีเร้นท์ ASK	17
	2.2.2 นอนโคฮีเร้นท์ ASK	19
	2.3 FSK	24
	2.3.1 โคฮีเร้นท์ FSK	24
	2.3.2 นอนโคฮีเร้นท์ FSK	26
	2.3.3 ดิจิตอล FM	28
	2.3.4 ตัวกำเนิดสัญญาณ FSK	43
	2.3.5 FSK ดีโมเด็ม	49
	2.3.6 การออกแบบ FSK เอนเนอเรเตอร์	50
	2.4 PSK	54
	2.4.1 Differential PSK	61
บทที่ 3	การสร้างและการทำงาน	70
	3.1 การทำงานของชุด ASK	70
	3.2 การทำงานของชุด PSK	71
	3.3 การทำงานของชุด FSK	72
บทที่ 4	การทดลอง	75
	4.1 การทดลองที่ 1 เรื่อง PSK Mod	75
	4.2 การทดลองที่ 2 เรื่อง Carrier recovery	76
	4.3 การทดลองที่ 3 เรื่อง Coherent detector	77
	4.4 การทดลองที่ 4 เรื่อง ASK Mod	78
	4.5 การทดลองที่ 5 เรื่อง PLL	79
	4.6 การทดลองที่ 6 เรื่อง ASK Demod	80
	4.7 การทดลองที่ 7 เรื่อง FSK Mod	81
	4.8 การทดลองที่ 8 เรื่อง FSK Demod แบบ Tuned IF Amp.	82
	4.9 การทดลองที่ 9 เรื่อง FSK Demod แบบ Narrow BPF	83
บทที่ 5	บทวิจารณ์และสรุป	84
	วงจรถริงของชุดทดลอง DIGICOM 3133	85
	ภาคผนวก	87
	กิตติกรรมประกาศ	
	บรรณานุกรม	

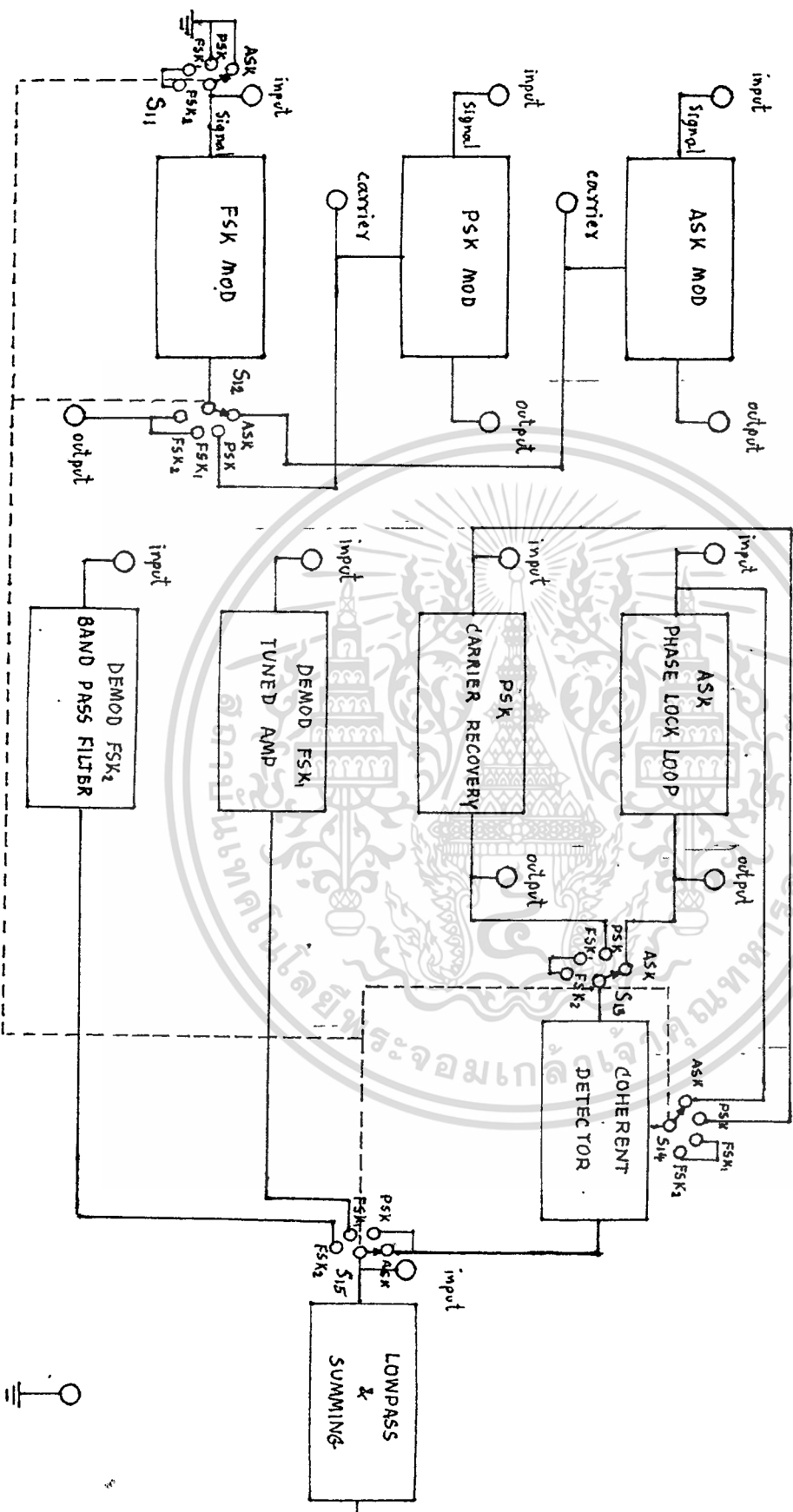
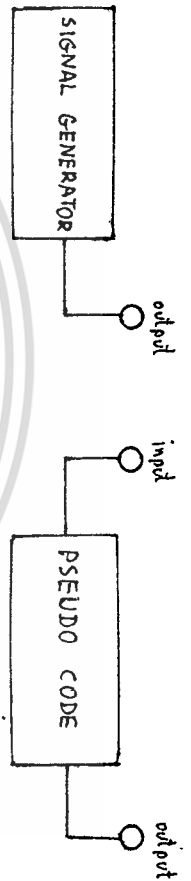
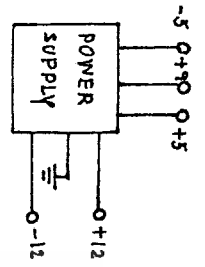
เอกสารนี้เป็นเอกสารที่สงวนไว้สำหรับการใช้งานเพื่อการศึกษาเท่านั้น ไม่อนุญาตให้นำไปใช้ประโยชน์ด้านการค้า
ไม่ว่ากรณีใดๆทั้งสิ้น อีกทั้งห้ามมิให้ดัดแปลงเนื้อหา และต้องอ้างอิงถึงเจ้าของเอกสารทุกครั้งที่มีการนำไปใช้

บทที่ 1
บทนำ

ระบบสื่อสารข้อมูล เราสามารถอธิบายการทำงานอย่างง่าย ๆ ตามรูปข้างล่างดังนี้ ข่าวสารจากแหล่งข่าว จะถูกแปลงให้อยู่ในรูปของกระแสไฟฟ้า เรียกว่า สัญญาณโมดูลเลชัน (modulation) สัญญาณ modulation นี้จะถูกแปลงให้อยู่ในรูปของ code ตามวิธีสื่อสารแบบดิจิทัล (digital) หรือส่งตรงเข้าเครื่องส่ง transmistor ตามวิธีการสื่อสารแบบอนาล็อก (analog) ก็ได้ ในเครื่องส่งก็จะมีเครื่องโมดูลเลเตอร์ (modulator) ที่ทำหน้าที่โมดูลเลต (modulate) สัญญาณเข้ากับตัวพาห์ (carrier) ตัวพาห์นี้มีกำลังส่งสูงพอที่จะพาสัญญาณโมดูลเลตติ้ง (modulating) ไปที่ไกลๆ ได้ ด้วยความถี่สูง ตามกระบวนการ modulation

จากนั้นสัญญาณจะถูกคลัมป์ (coupling) ออกอากาศหรือส่งตามสายก็ได้ สัญญาณที่ผ่านตัวกลาง ซึ่งไม่ว่าจะเป็นการออกอากาศหรือสายส่งก็จะถูกรบกวนสัญญาณ (noise) เมื่อสัญญาณไปถึงเครื่องรับของผู้ใช้ เมื่ออยู่ปลายทาง เสาอากาศของเครื่องรับจะแปลงสัญญาณจากคลื่นแม่เหล็กไฟฟ้าเป็นกระแสไฟฟ้า แต่ถ้าส่งตามสายเครื่องรับในรูปของกระแสและแรงดันได้ทันที จากนั้นเครื่อง demodulator ในเครื่องรับจะแปลงสัญญาณที่มีความถี่สูงให้มีความถี่ต่ำลงและแยกสัญญาณ modulating ออกจากตัวพาห์ ตามกระบวนการ demodulation และถอดถอด code (decode) กลับมาเป็นสัญญาณอนาล็อก (analog) ตามเดิม ตามวิธีการสื่อสารแบบดิจิทัล





BLOCK DIAGRAM

เอกสารนี้เป็นเอกสารที่สงวนไว้สำหรับการใช้งานเพื่อการศึกษาเท่านั้น ไม่อนุญาตให้นำไปใช้ประโยชน์ด้านการค้า
 ไม่ว่ากรณีใดๆทั้งสิ้น อีกทั้งห้ามมิให้ตัดแปลงเนื้อหา และต้องอ้างอิงถึงเจ้าของเอกสารทุกครั้งที่มีการนำไปใช้

บทที่ 2 ดิจิทัลโมดเลชั่น

ปัจจุบันการสื่อสารนิยมใช้ดิจิทัลโมดเลชั่นมากขึ้นเพราะระบบดิจิทัลโมดเลชั่นมีความเชื่อถือสูงและมีราคาถูกลง เนื่องจากได้มีการพัฒนาทางดิจิทัลอิเล็กทรอนิกส์และไอซีอย่างรวดเร็วทำให้ต้นทุนการผลิตถูกลง นอกจากนี้ดิจิทัลโมดเลชั่นยังสามารถใช้วิธีการลงรหัสพัลส์ก่อนโมดเลชั่นเพื่อลดรบกวนแบบบิวลิตีความผิดพลาดให้ต่ำลง การโมดเลทตัวพาด้วยข่าวสารดิจิทัลนี้ทำได้หลายวิธีด้วยกัน ในที่นี้เราจะศึกษาเทคนิคการโมดเลทที่ข่าวสารดิจิทัลเปลี่ยนแปลงขนาด ความถี่และเฟสของตัวพา

รูปที่ 1 แสดงรูปคลื่นของดิจิทัลโมดเลชั่นวิธีต่างๆ ที่ใช้ในการส่งข่าวสารไบนารีผ่านช่องสื่อสาร (communication channel) ซึ่งโดยมากจะมีการตอบสนองไม่ค้ำบริเวณความถี่ใกล้เคียง จึงค้ำนึ่งได้ว่าเป็นช่องความถี่ผ่านแคบ (bandpass channel) ในรูปที่ 1(ก) สัญญาณดิจิทัล "1" และ "0" จะสวิตช์ขนาดของตัวพาให้มีค่าสองค่าคือเปิดและปิด รูปคลื่นที่ประกอบด้วยพัลส์เปิดหรือมาร์ค (mark) จะแทนเลขไบนารี "1" และพัลส์ปิดหรือสเปส (space) จะแทนเลขไบนารี "0" ดิจิทัลโมดเลชั่นนี้เรียกว่าแอมป์ลิจูดชิฟคีย์อิง (amplitude shift keying หรือ ASK) รูปที่ 1(ข) แสดงรูปคลื่นของเฟรควีนซีชิฟคีย์อิง (frequency shift keying หรือ FSK) ที่มีการเปลี่ยนความถี่ของตัวพาระหว่างสองความถี่ตามสัญญาณดิจิทัล "1" และ "0" สัญญาณมาร์คที่มีความถี่สูงจะแทนพัลส์ "1" และสัญญาณสเปสที่มีความถี่ต่ำจะแทนด้วยพัลส์ "0" ส่วนรูปที่ 1(ค) แสดงรูปคลื่นของเฟสชิฟคีย์อิง (phase shift keying หรือ PSK) ที่มีการเปลี่ยนเฟสของตัวพาระหว่างสองเฟสคือ 0° และ 180° ตามสัญญาณดิจิทัล "1" และ "0" เฟสชิฟคีย์อิงชนิดนี้เรียกว่า สองเฟสพีเอสเค (2-PSK) มีข้อสังเกตว่าในกรณีของเอฟเอสเคและพีเอสเค ขนาดของตัวพามีค่าคงที่เสมอและรูปคลื่นที่ถูกโมดเลทแล้วของดิจิทัลโมดเลชั่นทั้งสามวิธีมีค่าต่อเนื่องตลอดเวลา ในบทนี้เราจะศึกษาวิสัยความสามารถของระบบดิจิทัลโมดเลชั่นทั้งสามระบบในขณะที่มีเสียงรบกวน วิสัยความสามารถของระบบดิจิทัลโมดเลชั่นมักจะวัดในรูปของรบกวนแบบบิวลิตีความผิดพลาด เพื่อให้เกิดความเข้าใจง่ายขึ้นเราจะศึกษาเครื่องกรองความถี่แบบอ็อพติมัม (optimum filter) ซึ่งเป็นเครื่องกรองความถี่แบบแมช (matched filter) หรือเครื่องรับแบบคอร์ริเลชัน (correlation receiver) ที่ใช้ในการตีโมดเลทเอเอสเค เอฟเอสเค และพีเอสเค ก่อนแล้วจึงศึกษาเครื่องรับแบบนอนโคฮีเร้นท์ (noncoherent receiver)

เครื่องกรองความถี่แบบอ็อพติมัม

เครื่องรับในระบบสื่อสารไบนารีทำหน้าที่แยกความแตกต่างระหว่างสัญญาณที่ส่งสองตัวคือ $s_1(t)$ และ $s_2(t)$ ซึ่งเป็นสัญญาณมาร์คและสเปสที่ถูกรบกวนด้วยเสียงรบกวน วิสัยความสามารถของเครื่องรับนั้นวัดกันเป็นค่ารบกวนแบบบิวลิตีความผิดพลาด เครื่องรับแบบอ็อพติมัมคือเครื่องรับที่ให้รบกวนแบบบิวลิตีความผิดพลาดต่ำสุด เครื่องรับแบบอ็อพติมัมนี้ประกอบด้วยเครื่องกรองความถี่ที่ให้อัตราส่วนของกำลังของสัญญาณต่อกำลังของเสียงรบกวนมากที่สุด เครื่องส่งตัวอย่าง (sampler) และอุปกรณ์ตรวจค่าเทรลโวลต์ (threshold device) ดังแสดงในรูปที่ 2

เอกสารนี้เป็นเอกสารที่สงวนไว้สำหรับการใช้งานเพื่อการศึกษาเท่านั้น ไม่อนุญาตให้นำไปใช้ประโยชน์ด้านการค้า ไม่ว่ากรณีใดๆทั้งสิ้น อีกทั้งห้ามมิให้ตัดแปลงเนื้อหา และต้องอ้างอิงถึงเจ้าของเอกสารทุกครั้งที่มีการนำไปใช้

รูปที่ 13(ข) จะให้การเปรียบเทียบพหุคูณบีบอัดของเครื่องดิสคริมิเนเตอร์เอฟเอ็ม, เครื่องกรองความถี่แบบเม็ช และเครื่องรับแบบนอนโคอีเร้นท์เอฟเอสเคที่ค่าดัชนีโมดเลชั่น $p = 0.5$, 0.715 และ 1 จะเห็นได้ว่าการรับสัญญาณแบบเครื่องดิสคริมิเนเตอร์นั้นจะให้พหุคูณบีบอัดความผิดพลาดน้อยที่สุดที่ดัชนีโมดเลชั่นเท่ากับ 0.5 และมีพหุคูณบีบอัดความผิดพลาดเข้าใกล้โคอีเร้นท์เอฟเอสเคในย่านที่ค่า E/N_0 สูง ในขณะที่ถ้ารับสัญญาณเอฟเอสเคที่มีดัชนีโมดเลชั่นเท่ากับหนึ่งจะมีพหุคูณบีบอัดความผิดพลาดเกือบเท่ากับนอนโคอีเร้นท์เอฟเอสเค ในกรณีนั้นนอนโคอีเร้นท์เอฟเอสเคและโคอีเร้นท์เอฟเอสเค (ที่ใช้เครื่องกรองความถี่แบบเม็ชที่มีดัชนีโมดเลชั่น $p = 0.715$) สามารถคิดเสมือนหนึ่งว่าเป็นขอบเขตบนและขอบเขตล่างของสัญญาณดิจิทัลเอฟเอ็มแบบแถบความถี่แคบที่มีดัชนีโมดเลชั่นระหว่าง 0.5 ถึง 1 รูปที่ 13 จะแสดงพหุคูณบีบอัดความผิดพลาดเทียบกับดัชนีโมดเลชั่นสำหรับเครื่องดิสคริมิเนเตอร์เอฟเอ็มและเครื่องรับสัญญาณที่ใช้เครื่องกรองความถี่แบบเม็ช พหุคูณบีบอัดความผิดพลาดน้อยที่สุดสำหรับเครื่องดิสคริมิเนเตอร์เอฟเอ็มเกิดที่ดัชนีโมดเลชั่นเท่ากับ 0.5 และสำหรับเครื่องรับสัญญาณที่ใช้เครื่องกรองความถี่แบบเม็ชที่ดัชนีโมดเลชั่นเท่ากับ 0.715 ($p = 0.715$) ในทางปฏิบัติเราเปรียบเทียบพหุคูณบีบอัดความผิดพลาดที่ค่า E/N_0 กำหนดโดย CCIR ซึ่งเท่ากับ 13.4 dB จะเห็นได้ว่าเครื่องดิสคริมิเนเตอร์เอฟเอ็มไม่เพียงแต่สนองความต้องการของ CCIR ที่ค่าพหุคูณบีบอัดความผิดพลาดเท่ากับ 10^{-6} ที่ $E/N_0 = 13.4$ dB โดยมีดัชนีโมดเลชั่น $p = 0.715$ แต่ยังมีค่าพหุคูณบีบอัดความผิดพลาดที่มีค่าต่ำกว่าถ้าใช้ดัชนีโมดเลชั่นเท่ากับ 0.5 ($p = 0.5$) เครื่องกรองความถี่แบบเม็ชมีวิสัยความสามารถเหนือกว่าเครื่องดิสคริมิเนเตอร์เอฟเอ็มเฉพาะในย่านเสียงรบกวนคลีค สำหรับค่าดัชนีโมดเลชั่นที่ต่ำกว่า 0.6 หรือในย่านเสียงรบกวนคลีค เครื่องดิสคริมิเนเตอร์จะมีวิสัยความสามารถดีกว่าเครื่องกรองความถี่แบบเม็ชเล็กน้อย

เทคนิคการรับส่งข้อมูลดิจิทัลเอฟเอสเคและแนวทางการออกแบบใช้งาน

การรับ-ส่งข้อมูลในรูปของสัญญาณดิจิทัลสามารถกระทำได้สองวิธีคือ วิธีการทางไบนารี (binary) คือสัญญาณดิจิทัลจะถูกส่งออกไปยังปลายทางได้ทันทีโดยไม่ต้องผ่านกระบวนการแปลงสัญญาณแต่อย่างใด ดังรูปที่ 14(ก) และวิธีการทางอะนาล็อก (analog) คือสัญญาณดิจิทัลจะถูกแปลงเป็นสัญญาณอะนาล็อกก่อนแล้วจึงส่งออกไปยังปลายทาง ดังรูปที่ 14(ข)

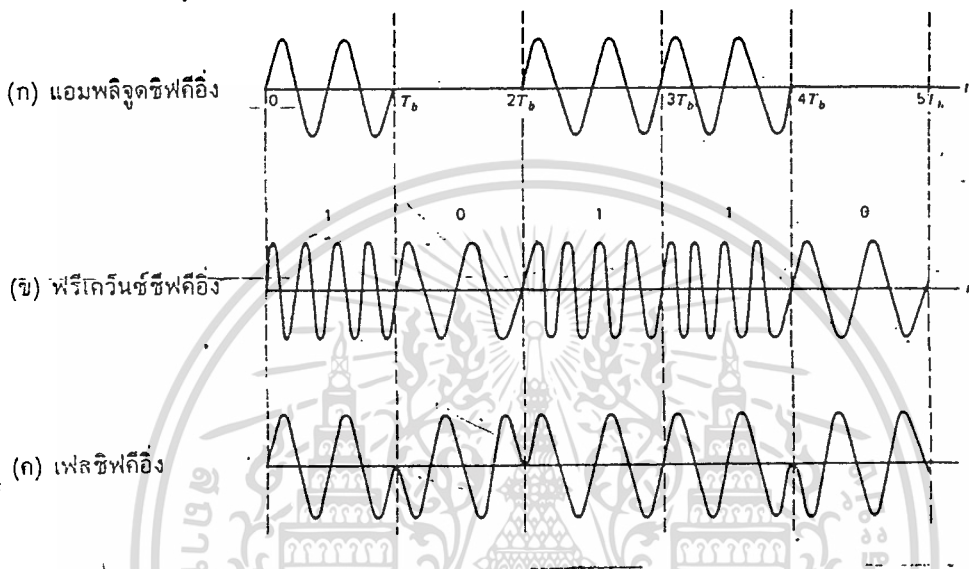
วิธีการในลักษณะแรกจะกระทำในลักษณะที่มีการติดต่อในระยะทางสั้นๆ และให้ความรวดเร็วมากกว่า ส่วนวิธีการในลักษณะหลังจะเกี่ยวข้องไปถึงลักษณะการเชื่อมโยง (link) สัญญาณเข้ากับระบบการสื่อสารต่างๆ ไป ลักษณะทั้งสองวิธีแสดงดังรูปที่ 14

ขบวนการแปลงสัญญาณดิจิทัลเป็นอะนาล็อก

(Digital to Analog Converter: DAC)

ในการสร้างสัญญาณอะนาล็อกที่เป็นผลมาจากสัญญาณดิจิทัลหรือสัญญาณข่าวสารในรูปอื่นจะได้มาจากหลักการพื้นฐานของวิธีการสามแบบคือ

1. หลักการของแอมพลิจูดโมดเลชั่น (amplitude modulation)
2. หลักการของเฟรควีนซีโมดเลชั่น (frequency modulation)
3. หลักการของเฟสโมดเลชั่น (phase modulation)



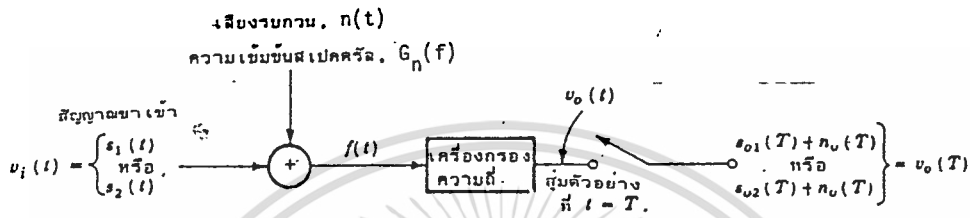
รูปที่ 1 รูปคลื่นของดิจิทัลโมดูเลชันที่ใช้ในการส่งข้อมูลไบนารี

ในรูปที่ 2 สัญญาณขาเข้าของเครื่องรับแบบออดิโอม $s_1(t)$ หรือ $s_2(t)$ ถูกปรับด้วยเสียงรบกวนแบบเกาส์เซียนที่มีความเข้มขึ้นสเปกตรัล $G_{nn}(f) = n/2$ สัญญาณและเสียงรบกวนผ่านเครื่องกรองความถี่และถูกสุ่มตัวอย่างที่ช่วงปลายของพัลส์

สัญญาณและเสียงรบกวนที่ขาออกของเครื่องสุ่มตัวอย่างที่เวลาสุ่มตัวอย่างใดๆ $t = T_s$ จะเป็น

$$v_o(T) = s_{o_s}(T) + n_o(T) \quad (1)$$

เอกสารนี้เป็นเอกสารที่สงวนไว้สำหรับการใช้งานเพื่อการศึกษาเท่านั้น ไม่อนุญาตให้นำไปใช้ประโยชน์ด้านการค้า ไม่ว่าจะกรณีใดๆทั้งสิ้น อีกทั้งห้ามมิให้ดัดแปลงเนื้อหา และต้องอ้างอิงถึงเจ้าของเอกสารทุกครั้งที่มีการนำไปใช้



รูปที่ 2 เครื่องรับแบบออฟดีเอ็ม

หรือ

$$V_o(T) = S_{o2}(T) + n_o(T)$$

สมมติว่าทันทีที่หลังจากส่งตัวอย่างแล้ว เครื่องกรองความถี่จะกระจายสัญญาณที่มีอยู่ทั้งหมดในกรณีเช่นนี้จะเกิดการรบกวนระหว่างพัลส์ (Intersymbol interference, ISI) น้อยมากจนไม่ต้องคำนึงถึงได้

เราลองพิจารณาว่าในกรณีที่ไม่มีเสียงรบกวนจะมีสัญญาณอย่างเดียวกับที่ขาออกของเครื่องส่งตัวอย่าง $V_o(T) = S_{o1}(T)$ หรือ $S_{o2}(T)$ ในขณะที่มีเสียงรบกวน เราจะสมมติว่าเราได้ส่ง $S_1(t)$ ถ้า $V_o(T)$ อยู่ใกล้ $S_{o1}(T)$ มากกว่า $S_{o2}(T)$ และเราจะสมมติว่าเราได้ส่ง $S_2(t)$ ถ้า $V_o(T)$ อยู่ใกล้ $S_{o2}(T)$ มากกว่า $S_{o1}(T)$ ดังนั้นอาณาเขตของการตัดสินใจ (decision boundary) ก็ควรจะอยู่ระหว่างกึ่งกลางของ $S_{o1}(T)$ และ $S_{o2}(T)$ หรือในทางคณิตศาสตร์เขียนได้ดังนี้

$$V_o(T) = \frac{S_{o1}(T) + S_{o2}(T)}{2} \quad (2)$$

สมมติว่าเราได้ส่งสัญญาณ $S_{o2}(T)$ ความผิดพลาดจะเกิดขึ้นเมื่อ $S_{o1}(T) > S_{o2}(T)$ ดังนั้น

ความผิดพลาดในการตัดสินใจจะเกิดขึ้นเมื่อเสียงรบกวนมีค่าเป็นบวกและมีขนาดมากกว่าผลต่างของแรงดัน $(1/2) * [S_{o_1}(T) + S_{o_2}(T)] - S_{o_2}(T)$ นั่นคือ

$$n_o(T) > \frac{S_{o_1}(T) - S_{o_2}(T)}{2} \quad (3)$$

ฉะนั้นรอบขะบิวลิตี้ความผิดพลาดจะเท่ากับ

$$P_e = \int_{S_{o_1}(T) - S_{o_2}(T)/2}^{\infty} \frac{e^{-n_o(T)/2\sigma_o} dn_o(T)}{\sqrt{2\pi(\sigma_o)^2}} \quad (4)$$

แทนค่า $x = n_o(T) / (\sqrt{2})\sigma_o$ สมการ (4) จะได้

$$P_e = \frac{1}{2} \frac{1}{\sqrt{\pi}} \int_{(S_{o_1}(T) - S_{o_2}(T)) / (2(\sqrt{2})\sigma_o)}^{\infty} e^{-x^2} dx \quad (5)$$

$$P_e = \frac{1}{2} \operatorname{erfc} \left[\frac{S_{o_1}(T) - S_{o_2}(T)}{2(\sqrt{2})\sigma_o} \right] \quad (6)$$

เนื่องจากคอมพลิเมนทารีเออเรอร์ฟังก์ชัน (complementary error function : $\operatorname{erfc}(\)$) เป็นฟังก์ชันที่มีค่าลดลงตลอดเมื่อค่าในวงเล็บมีค่าเพิ่มขึ้น รอบขะบิวลิตี้ความผิดพลาด P_e ก็จะมีค่าลดลง เมื่อความแตกต่างระหว่าง $S_{o_1}(T) - S_{o_2}(T)$ มากขึ้นและแรงดันของเสียงรบกวน σ_o ลดน้อยลง ดังนั้น เครื่องกรองความถี่แบบออดิทิฟคือ เครื่องกรองความถี่ที่ทำให้อัตราส่วน δ^2 หรืออัตราส่วนของกำลังของสัญญาณต่อกำลังของเสียงรบกวนมีค่ามากที่สุด δ ในที่นี้ δ มีค่าดังนี้

$$\delta = \frac{S_{o_1}(T) - S_{o_2}(T)}{\sigma_o} \quad (7)$$

ต่อไปเราจะคำนวณหาทรานซ์เฟอร์ฟังก์ชัน $H(f)$ ของเครื่องกรองความถี่แบบออดิทิฟนี้

ทรานซ์เฟอร์ฟังก์ชันของเครื่องกรองความถี่แบบออดิทิฟ

หน้าที่สำคัญของเครื่องรับแบบออดิทิฟคือ การแยกความแตกต่างระหว่างรูปคลื่นที่รู้จักทั้งสอง $s_1(t)$

และ $s_2(t)$ ที่ขาเข้าของเครื่องรับ เครื่องกรองความถี่แบบอ้อมที่มีมจะแยกความแตกต่างของแรงดันระหว่าง $s_1(t)+n(t)$ และ $s_2(t)+n(t)$ โดยมีพหุคูณของบิวลิติความผิดพลาดต่ำที่สุด พหุคูณของบิวลิติความผิดพลาดจะต่ำที่สุดถ้าเราเลือกทรานซ์เฟอร์ฟังก์ชันของเครื่องกรองความถี่ $h(f)$ ได้ถูกต้องเพื่อให้ค่า σ^2 มากที่สุด ค่า σ^2 นี้จะเป็นสัดส่วนกับผลต่างของแรงดันระหว่าง $s_1(t)$ และ $s_2(t)$ เมื่อ

$$p(t) = s_1(t) - s_2(t) \quad (8)$$

ถ้าสมมติให้ $p(t)$ เป็นสัญญาณขาเข้า สัญญาณขาออกของเครื่องกรองความถี่จะได้

$$p_o(t) = s_{o1}(t) - s_{o2}(t) \quad (9)$$

ถ้าให้ $P(f)$ เป็นฟูเรียร์ทรานซ์ฟอร์มของ $p(t)$ และ $H(f)$ เป็นฟูเรียร์ทรานซ์ฟอร์มของทรานซ์เฟอร์ฟังก์ชัน

$$P_o(f) = P(f) H(f) \quad (10)$$

และที่เวลาสุ่มตัวอย่าง

$$p_o(T) = \int_{-\infty}^{\infty} P(f) H(f) e^{j2\pi fT} df \quad (11)$$

ถ้าเราใช้ทฤษฎีพาร์เซวาล (Parseval's theorem) กำลังของเสียงรบกวนที่ขาออกของเครื่องสุ่มตัวอย่างจะได้

$$\langle p_o \rangle^2 = \int_{-\infty}^{\infty} G_{p_o}(f) df = \int_{-\infty}^{\infty} |H(f)|^2 G_p(f) df \quad (12)$$

แทนสมการ (11) และสมการ (12) ลงในสมการ (7) σ^2 สามารถเขียนได้ดังนี้

$$\sigma^2 = \frac{\langle p_o \rangle^2(T)}{\langle p_o \rangle^2} = \left| \frac{\int_{-\infty}^{\infty} H(f) P(f) e^{j2\pi fT} df}{\int_{-\infty}^{\infty} |H(f)|^2 G_p(f) df} \right|^2 \quad (13)$$

เราสามารถทำให้ σ^2 มีค่ามากที่สุดโดยใช้สูตรไม่เท่ากันของชวาช (Schwarz's inequality) ซึ่งมีรูปแบบดังนี้

$$\left| \int_{-\infty}^{\infty} A(f) B(f) df \right|^2 \leq \int_{-\infty}^{\infty} |A(f)|^2 df \int_{-\infty}^{\infty} |B(f)|^2 df \quad (14)$$

เอกสารนี้เป็นเอกสารที่สงวนไว้สำหรับการใช้งานเพื่อการศึกษาเท่านั้น ไม่อนุญาตให้นำไปใช้ประโยชน์ด้านการค้า ไม่ว่าจะกรณีใดๆทั้งสิ้น อีกทั้งห้ามมิให้คัดแปลงเนื้อหา และต้องอ้างอิงถึงเจ้าของเอกสารทุกครั้งที่มีการนำไปใช้



ในที่นี้ $A(f)$ และ $B(f)$ เป็นฟังก์ชันคอมเพล็กซ์ใดๆ ที่มีตัวแปร f (ซึ่งอาจเป็น ω) เหมือนกัน

สูตรไม่เท่ากันของชาวชจะมีค่าเท่ากันก็ต่อเมื่อ

$$A(f) = K B^*(f) \tag{15}$$

ในที่นี้ K เป็นค่าคงที่ใดๆ และ $B^*(f)$ เป็นคู่ร่วมคอมเพล็กซ์ (complex conjugate) ของ $B(f)$ ถ้าเราใช้สูตรไม่เท่ากันของชาวชในสมการ (13) จะได้

$$A(f) = \sqrt{G_n(f)} H(f) \tag{16}$$

และ

$$B(f) = \frac{1}{\sqrt{G_n(f)}} P(f) e^{j2\pi fT} \tag{17}$$

แทนสมการ (16) และสมการ (17) ลงในสมการ (13) จะได้

$$\frac{(p_o)^2(T)}{(o_o)^2} = \frac{\left| \int_{-\infty}^{\infty} A(f) B(f) df \right|^2}{\int_{-\infty}^{\infty} |A(f)|^2 df} \leq \int_{-\infty}^{\infty} |B(f)|^2 df \tag{18}$$

แทนสมการ (17) ในสมการ (18) เราจะได้ค่า δ^2 ดังนี้

$$\delta^2 \leq \frac{(p_o)^2(T)}{(o_o)^2} = \int_{-\infty}^{\infty} \frac{|P(f)|^2}{G_n(f)} df \tag{19}$$

อัตราส่วน $(p_o)^2(T)/(o_o)^2$ จะมีค่ามากที่สุดเมื่อใช้เครื่องหมายเท่ากันดังเช่นในกรณีที่ $A(f) = K B^*(f)$ จากสมการ (16) และ (17) เครื่องรองความถี่แบบออดิโอมจะให้อัตราส่วน $(p_o)^2(T)/(o_o)^2$ มากที่สุดเมื่อมีทรานซ์เฟอร์ฟังก์ชัน

$$H(f) = \frac{K P^*(f)}{G_n(f)} e^{-j2\pi fT} \tag{20}$$

ในกรณีนี้ อัตราส่วนที่มากที่สุดจากสมการ (19) จะได้

$$(\hat{z}^2)_{\max} = \left[\frac{(p_0)^2 (T)}{(c_0)^2} \right]_{\max} = \int_{-\infty}^{\infty} \frac{|p(f)|^2 df}{G_n(f)} \quad (21)$$

ในหัวข้อต่อไป จะแสดงให้เห็นว่าเครื่องกรองความถี่แบบอ้อมติ่มมีในทางปฏิบัติสามารถแทนด้วยเครื่องกรองความถี่แค้และเครื่องรับแบบคอร์รีเลชั่น

กรณีที่เป็นเครื่องกรองความถี่แบบแค้
ถ้าเสียงรบกวนในช่องสื่อสารเป็นไวท์นอยส์ นั่นคือ $G_n(f) = n/2$ ทราสซ์เฟอ์ฟังก์ชันในกรณีนี้จากสมการ (20) จะได้

$$H(f) = \frac{K P^*(f) e^{-j2\pi f T}}{n/2} \quad (22)$$

อิมพัลส์เรสพอนส์ของเครื่องกรองความถี่แค้ คือ

$$h(t) = \frac{2K}{n} \int_{-\infty}^{\infty} |P^*(f) e^{-j2\pi f T}| e^{j2\pi f t} df \quad (23)$$

เครื่องกรองความถี่ที่สร้างได้ในทางปฏิบัติต้องมีอิมพัลส์เรสพอนส์เป็นจริง (real) ไม่ใช่คอมเพล็กซ์ (complex) ฉะนั้น $h(t) = h^*(t)$ จะได้

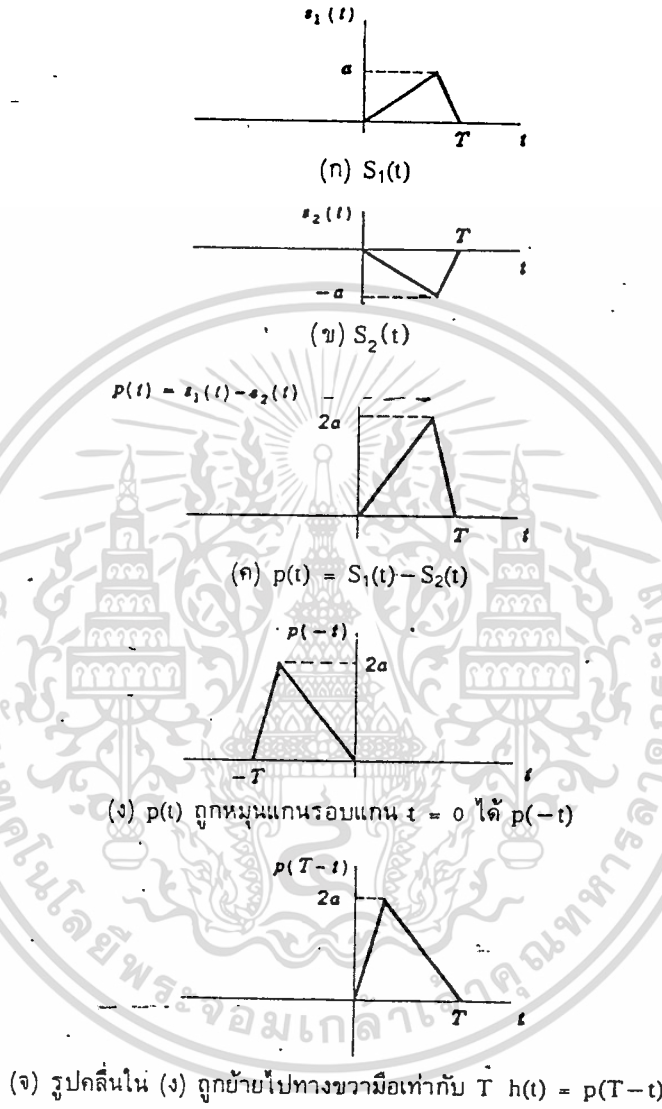
$$h(t) = \frac{2K}{n} \int_{-\infty}^{\infty} P(f) e^{j2\pi f (t-T)} df = \frac{2K}{n} p(T-t) \quad (24)$$

จากคำจำกัดความในสมการ (8) $p(t) = S_1(t) - S_2(t)$ $h(t)$ จะได้

$$h(t) = \frac{2K}{n} [S_1(T-t) - S_2(T-t)] \quad (25)$$

เอกสารนี้เป็นเอกสารที่สงวนไว้สำหรับการใช้งานเพื่อการศึกษาเท่านั้น ไม่อนุญาตให้นำไปใช้ประโยชน์ด้านการค้า
ไม่ว่ากรณีใดๆทั้งสิ้น อีกทั้งห้ามมิให้ตัดแปลงเนื้อหา และต้องอ้างอิงถึงเจ้าของเอกสารทุกครั้งที่มีการนำไปใช้

จะเห็นว่าอิมพัลส์เรสพอนส์ $h(t)$ ในสมการ (25) ถูกสร้างให้เข้ากับสัญญาณ $s_1(t)$ และ $s_2(t)$ เราจึงเรียกเครื่องกรองความถี่นี้ว่าเครื่องกรองความถี่แม่ช



รูปที่ 3 อิมพัลส์เรสพอนส์ของเครื่องกรองความถี่แม่ชสัญญาณ

เราจะแสดงขั้นตอนการทำงานของเครื่องกรองความถี่แม่ชโดยยกตัวอย่างรูปที่ 3 ประกอบ ในรูปที่ 3(ก) และ (ข) แสดงสัญญาณ $s_1(t)$ และ $s_2(t)$ ในช่วง T ส่วน $p(t) = s_1(t) - s_2(t)$

เอกสารนี้เป็นเอกสารที่สงวนไว้สำหรับการใช้งานเพื่อการศึกษาเท่านั้น ไม่อนุญาตให้นำไปใช้ประโยชน์ด้านการค้า ไม่ว่าจะกรณีใดๆทั้งสิ้น อีกทั้งห้ามมิให้คัดแปลงเนื้อหา และต้องอ้างอิงถึงเจ้าของเอกสารทุกครั้งที่มีการนำไปใช้

แสดงในรูปที่ 3(ค) และถ้าหมุนรูปคลื่น $p(t)$ รอบแกน $t = 0$ จะได้ $p(-t)$ ดังในรูปที่ 3(ง) รูปคลื่น $p(-t)$ จะถูกย้ายไปทางแกนเวลา t ที่เป็นบวกเท่ากับ T ซึ่งคิดได้ว่าเป็นเวลาล่าช้า (time delay) ที่นานพอทำให้เครื่องกรองความถี่ทำงานได้ เวลาล่าช้าที่มากกว่าค่า T ก็จะไม่กระทบกระเทือนวิสัยความสามารถของเครื่องกรองความถี่ เพราะทั้งสัญญาณและเสียงรบกวนถูกทำให้ล่าช้าไปเท่าๆ กัน อัตราส่วนของกำลังของสัญญาณต่อกำลังของเสียงรบกวนที่เวลาสุ่มตัวอย่างจึงมีค่าเท่าเดิม ไม่เปลี่ยนแปลง

ในทางปฏิบัติเป็นการยากมากที่จะสังเคราะห์เครื่องกรองความถี่แม้จะให้มีทรานซ์เฟอร์ฟังก์ชันใกล้เคียงกับสมการ (24) ในหัวข้อต่อไปเราจะใช้เครื่องรับแบบคอร์รีเลชันซึ่งมีวงจรง่ายกว่าแทนเครื่องกรองความถี่แม้ช

กรณีที่เป็นเครื่องรับแบบคอร์รีเลชัน

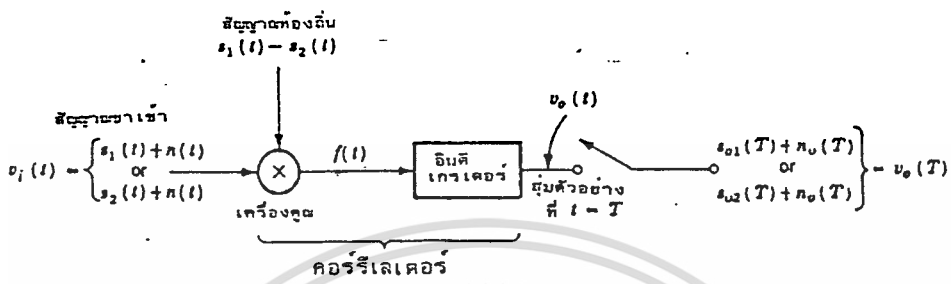
ต่อไปนี้จะคำนวณทรานซ์เฟอร์ฟังก์ชันของเครื่องรับแบบคอร์รีเลชันซึ่งจัดเป็นเครื่องกรองความถี่แบบอินติเกรตชนิดหนึ่ง ในรูปที่ 4 สัญญาณขาเข้าเป็นรูปคลื่นพีซีเอ็มไบนารี $s_1(t)$ หรือ $s_2(t)$ ที่ถูกรบกวนโดยเสียงรบกวน $n(t)$ เสียงรบกวนนี้สมมติว่าเป็นไวท์นอยส์ ถ้าให้ความกว้างของบิตเท่ากับ T สัญญาณที่ได้รับบวกกับเสียงรบกวน $v(t)$ จะผ่านเครื่องคูณ (multiplier) และถูกคูณด้วยรูปคลื่นที่สร้างขึ้นโดยเครื่องกำเนิดสัญญาณของเครื่องรับ $s_1(t) - s_2(t)$ สัญญาณที่ขาออกของเครื่องคูณจะผ่านเข้าเครื่องอินติเกรตและถูกสุ่มตัวอย่างที่ $t = T$ ในที่นี้เราสมมติว่าทุกครั้งที่เครื่องอินติเกรตทำงานแล้วจะคายพลังงานไฟฟ้า ทำให้ไม่เกิดการรบกวนระหว่างบิต (intersymbol interference) เครื่องรับแบบนี้เรียกว่าเครื่องรับแบบคอร์รีเลชันซึ่งทำหน้าที่คอร์รีเลตสัญญาณและเสียงรบกวนที่ได้รับกับรูปคลื่น $s_1(t) - s_2(t)$

สัญญาณและเสียงรบกวนที่ขาออกของเครื่องรับแบบคอร์รีเลชันในรูปที่ 4 คือ

$$s_o(T) = \frac{1}{T} \int_0^T s_1(t) [s_1(t) - s_2(t)] dt \quad (26)$$

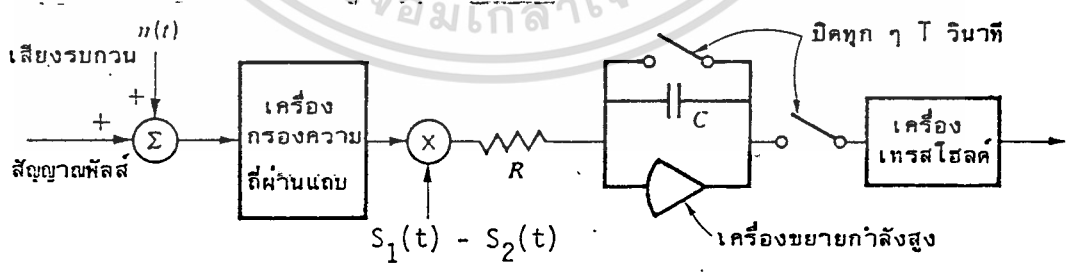
$$n_o(T) = \frac{1}{T} \int_0^T n(t) [s_1(t) - s_2(t)] dt \quad (27)$$

ในที่นี้ $s_1(t)$ จะเป็น $s_1(t)$ หรือ $s_2(t)$ ก็ได้ และ T คือค่าคงที่ของเครื่องอินติเกรต เป็นที่น่าสังเกตว่าสมการ (26) และเครื่องรับแบบคอร์รีเลชันในรูปที่ 4 จะเริ่มอินติเกรตที่สภาวะเริ่มต้นเท่ากับศูนย์ ในทางปฏิบัติเครื่องรับแบบคอร์รีเลชันจะสร้างด้วยเครื่องกรองความถี่แบบอินติเกรต และคัมพ์ดังในรูปที่ 5 เครื่องอินติเกรตนั้นจะถูกเซตค่าให้เท่ากับศูนย์ (เซตค่าของคาปาซิเตอร์เท่ากับศูนย์)



รูปที่ 4 เครื่องรับแบบคอร์รีเลชัน

เมื่ออินทิเกรตครบหนึ่งพัลส์แล้วเพื่อหลีกเลี่ยงการรบกวนระหว่างบิต ถ้า $RC \gg T$ วงจรในรูปที่ 5 จะทำงานแทนอินทิเกรเตอร์อดมการณได้



รูปที่ 5 เครื่องรับคอร์รีเลชันแบบอินทิเกรตและดัมพ์

เอกสารนี้เป็นเอกสารที่สงวนไว้สำหรับการใช้งานเพื่อการศึกษาเท่านั้น ไม่อนุญาตให้นำไปใช้ประโยชน์ด้านการค้า ไม่ว่าจะกรณีใดๆทั้งสิ้น อีกทั้งห้ามมิให้ดัดแปลงเนื้อหา และต้องอ้างอิงถึงเจ้าของเอกสารทุกครั้งที่มีการนำไปใช้

ต่อไปจะเปรียบเทียบสัญญาณขาออกของเครื่องรับแบบคอร์รีเลชันกับสัญญาณขาออกของเครื่องกรองความถี่แค้มซ์ ถ้าให้ $h(t)$ เป็นอิมพัลส์เรสพอนส์ของเครื่องกรองความถี่แค้มซ์ สัญญาณขาออกของเครื่องกรองความถี่แค้มซ์จะได้โดยการทำคอนโวลูชันระหว่างสัญญาณขาเข้าและอิมพัลส์เรสพอนส์ $h(t)$ ดังนี้

$$V_o(t) = \int_{-\infty}^t V_i(\tau) h(t-\tau) d\tau = \int_0^T V_i(\tau) h(t-\tau) d\tau \quad (28)$$

สมการ (28) เปลี่ยนขอบเขตการอินทิเกรตมาเป็น 0 ถึง T เพราะความกว้างของพัลส์มีค่าเท่ากับ T เท่านั้น

ถ้าใช้ $h(t)$ ในสมการ (25) แล้ว $h(t-\tau)$ จะได้

$$h(t-\tau) = \frac{2K}{n} [S_1(T-t+\tau) - S_2(T-t+\tau)] \quad (29)$$

แทนสมการ (29) ในสมการ (28) จะได้

$$V_o(t) = \frac{2K}{n} \int_0^T V_i(\tau) [S_1(T-t+\tau) - S_2(T-t+\tau)] d\tau \quad (30)$$

เนื่องจาก $V_i(\tau) = S_1(\tau) + n(\tau)$ และ $V_o(t) = S_o(t) + n_o(t)$ ให้ $t = T$ จะได้

$$S_o(T) = \frac{2K}{n} \int_0^T S_1(\tau) [S_1(\tau) - S_2(\tau)] d\tau \quad (31)$$

ในที่นี้ $S_1(\tau)$ เท่ากับ $S_1(\tau)$ หรือ $S_2(\tau)$ ทำนองเดียวกัน $n_o(T)$ จะได้

$$n_o(T) = \frac{2K}{n} \int_0^T n(\tau) [S_1(\tau) - S_2(\tau)] d\tau \quad (32)$$

ฉะนั้น จะเห็นได้ว่า $S_o(T)$ และ $n_o(T)$ ในสมการ (31) และสมการ (32) เหมือนกับสมการ (26) และสมการ (27) นั่นคือวิสัยความสามารถของเครื่องรับแบบคอร์รีเลชันเหมือนกับเครื่องกรองความถี่แค้มซ์

“ เครื่องกรองความถี่แค้มซ์และเครื่องรับแบบคอร์รีเลชันเป็นเทคนิคที่ต่างกันแต่ให้ผลอย่างเดียวกัน เทคนิคทั้งสองต่างก็สังเคราะห์เครื่องกรองความถี่แบบอ้อมติ่ม

พหุคูณวิธีที่ความผิดพลาดของเครื่องกรองความถี่แบบออปติมิซ

เครื่องกรองความถี่แบบออปติมิซในรูปของเครื่องกรองความถี่แค้หรือเครื่องรับแบบคอร์รีเลชัน จะให้อัตราส่วนของกำลังของสัญญาณต่อกำลังของเสียงรบกวนมากที่สุด ต่อไปนี้เราจะเลือกสัญญาณ $s_1(t)$ และ $s_2(t)$ อย่างไรจึงจะให้อัตราส่วนของกำลังของสัญญาณต่อกำลังของเสียงรบกวนมีค่ามากที่สุดจากสมการ (21) และทฤษฎีนาซีวาล จะได้

$$\int_{-\infty}^{\infty} |p(f)|^2 df = \int_{-\infty}^{\infty} p^2(t) dt = \int_0^T p^2(t) dt \quad (33)$$

แทนค่า $p(t) = s_1(t) - s_2(t)$ และ $t = T$ แล้วเราสามารถเขียนสมการ (21) ได้ดังนี้

$$\begin{aligned} \left[\frac{(p_o)^2(T)}{(o)^2} \right]_{\max} &= \frac{2}{n} \int_0^T [s_1(t) - s_2(t)]^2 dt \\ &= \frac{2}{n} \left[\int_0^T (s_1)^2(t) dt + \int_0^T (s_2)^2(t) dt \right. \\ &\quad \left. - 2 \int_0^T s_1(t) s_2(t) dt \right] \\ &= \frac{2}{n} (E_{s_1} + E_{s_2} + 2E_{s_{12}}) \quad (34) \end{aligned}$$

ในที่นี้ E_{s_1} และ E_{s_2} คือ พลังงานใน $s_1(t)$ และ $s_2(t)$ ตามลำดับและ $E_{s_{12}}$ คือพลังงานร่วมของรูปคลื่นที่เกิดจากผลคูณของ $s_1(t)$ และ $s_2(t)$ เพื่อให้ผลลัพธ์ของพลังงานในสมการ (34) มีค่ามากที่สุด ต้องเลือกพลังงาน $E_{s_{12}}$ ที่เกิดจากผลคูณของ $s_1(t)$ และ $s_2(t)$ มีค่าเป็นบวก ในกรณีนี้เลือก

$$s_2(t) = -s_1(t) \quad (35)$$

เราเรียกสัญญาณ $s_1(t)$ และ $s_2(t)$ ว่าเป็นสัญญาณที่อยู่คนละขั้วกัน (antipodal) สัญญาณสองเฟสบีเอสเค (PSK) ก็จัดอยู่ในจำพวกสัญญาณที่อยู่คนละขั้วกันด้วยเหตุนี้ สัญญาณบีเอสเคจึงมีพหุคูณวิธีที่ความผิดพลาดน้อยที่สุด

ให้ $s_2(t) = -s_1(t)$ จะได้

$$E_{s_1} = E_{s_2} = -E_{s_{12}} = E_s \quad (36)$$

เอกสารนี้เป็นเอกสารที่สงวนไว้สำหรับการใช้งานเพื่อการศึกษาเท่านั้น ไม่อนุญาตให้นำไปใช้ประโยชน์ด้านการค้า ไม่ว่าการณีใดๆทั้งสิ้น อีกทั้งห้ามมิให้ดัดแปลงเนื้อหา และต้องอ้างอิงถึงเจ้าของเอกสารทุกครั้งที่มีการนำไปใช้

แทนสมการ (36) ใน (35) จะได้

$$\left[\frac{(p_o)^2 (T)}{(\sigma_o)^2} \right]_{\max} = \frac{8E_s}{n} \quad (37)$$

แทนสมการ (37) ในสมการ (6) จะได้พหุนามบิวลิต์ของความผิดพลาด

$$P_e = \frac{1}{2} \operatorname{erfc} \left[\frac{1}{8} \left[\frac{(p_o)^2 (T)}{(\sigma_o)^2} \right]_{\max}^{1/2} \right] \\ = \frac{1}{2} \operatorname{erfc} (E_s/n)^{1/2} \quad (38)$$

จากสมการ (38) จะเห็นได้ว่า พหุนามบิวลิต์ของความผิดพลาดขึ้นกับพลังงานของสัญญาณไม่ขึ้นกับรูปร่างของสัญญาณ

เอเอสเค

การจัดสัญญาณเอเอสเค (ASK signal)

สัญญาณเอเอสเค (ASK) เป็นสัญญาณดิจิทัลโมดเลชันที่ค้นพบก่อนระบบดิจิทัลโมดเลชันอื่น โดยอาศัยหลักการของแอมพลิจูดโมดเลชัน สัญญาณเอเอสเคนี้ เวลาที่มีสัญญาณมาร์คหรือสัญญาณเปิดจะส่งสัญญาณพัลส์ เวลาไม่มีสัญญาณสเปสหรือสัญญาณปิดจะไม่ส่งสัญญาณ ซึ่งมีรูปคลื่นดังนี้

$$S_1(t) = A \cos \omega_c t \quad \text{สำหรับสัญญาณมาร์ค} \\ S_2(t) = 0 \quad \text{สำหรับสัญญาณสเปส} \quad (39)$$

สัญญาณมาร์คที่ส่งไม่จำเป็นต้องเป็นพัลส์สี่เหลี่ยมเสมอไป อาจเป็นพัลส์ที่ผ่านเครื่องกรองความถี่ผ่านต่ำแล้วเป็นพัลส์ที่จัดรูปร่าง (shaped pulse) ก็ได้ สัญญาณเอเอสเคอาจใช้เป็นสัญญาณโทรเลขหรือใช้เป็นสัญญาณดิจิทัลโมดเลชันแบบต่างๆ ที่ไม่ต้องการความเร็วในการส่ง (bit rate) สูง

สัญญาณเอเอสเคเมื่อส่งผ่านช่องสื่อสาร จะถูกรบกวนโดยเสียงรบกวนเกาเซียนจะได้สัญญาณรวม

$$V_1(t) = \begin{matrix} A \cos \omega_c t + n(t) & \text{สำหรับสัญญาณมาร์ค} \\ n(t) & \text{สำหรับสัญญาณสเปส} \end{matrix} \quad (40)$$

โคอีเรนท์เอเอสเค

เครื่องรับโคอีเรนท์ดังในรูปที่ 4 สามารถนำมาใช้ในการตีโมดูลเลขเอเอสเคได้

สัญญาณขาออก

$$S_{o1}(T) = \int_0^T S_1(t)[S_1(t) - S_2(t)]dt = \frac{A^2 T}{2} \quad (41)$$

และ

$$S_{o2}(T) = \int_0^T S_2(t)[S_1(t) - S_2(t)]dt = 0 \quad (42)$$

จากสมการ (2) อ่อนติ่มมเทรลโวลต์ควรออยู่กึ่งกลางระหว่างสัญญาณ $S_{o1}(T)$ และ $S_{o2}(T)$

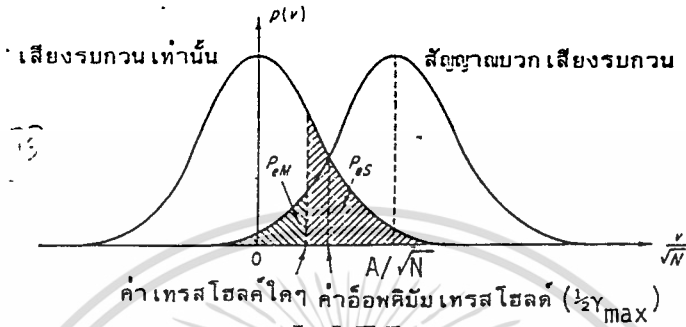
ดังนั้น

$$V_o = \frac{S_{o1}(T) + S_{o2}(T)}{2} = \frac{A^2 T}{4} \quad (43)$$

ที่อ่อนติ่มมเทรลโวลต์ จะได้อัตราส่วนของกำลังของสัญญาณต่อกำลังของเสียงรบกวนมากที่สุด $(\sigma_{max})^2$ จากสมการ (21) จะได้

$$\begin{aligned} (\sigma_{max})^2 &= \int_{-n}^n \left| \frac{P(f)}{G(f)} \right|^2 df \\ &= 2 \int_0^n P^2(f) df \\ &= 2 \int_0^n A^2 \cos^2 \omega_c t dt \\ &= \frac{A^2 T}{n} \end{aligned} \quad (44)$$

และเนื่องจากพหุคูณแบบบิวลิตีเดนท์ที่ฟังก์ชันของผลบวกของสัญญาณและเสียงรบกวนเกาเขียนจะได้ พหุคูณแบบบิวลิตีเดนท์ที่ฟังก์ชันเป็นเกาเขียนโดยมีค่าเฉลี่ยเท่ากับแอมพลิจูดของสัญญาณ ดังรูปที่ 6



รูปที่ 6 พหุคูณแบบบิวลิตีเดนท์ที่ฟังก์ชันสำหรับการรับสัญญาณโคฮีเร้นท์เอเอสเค

พหุคูณแบบบิวลิตีความผิดพลาดจะได้

$$P_e = \int_{(A/\sqrt{2})}^{\infty} \frac{1}{\sqrt{2\pi}} \exp(-Z^2/2) dz = \frac{1}{2} \operatorname{erfc}(\sqrt{A^2 T/4n}) \quad (45)$$

สัญญาณ $s_2(t)$ จะปรากฏที่ขาเข้าของเครื่องรับเท่ากับครึ่งหนึ่งของเวลาโดยเฉลี่ยและอีกครึ่งหนึ่งของเวลาที่เหลือจะไม่มีสัญญาณเนื่องจาก $s_2(t) = 0$ ฉะนั้นกำลังเฉลี่ยของสัญญาณที่ขาเข้าของเครื่องรับจะเท่ากับ

$$S_{\text{av}} = \frac{A^2}{4} \quad (46)$$

และพหุคูณแบบบิวลิตีความผิดพลาดในรูปของกำลังเฉลี่ยของสัญญาณ จะได้

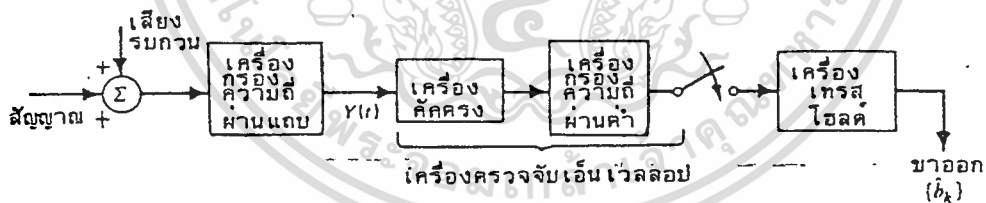
$$P_e = \frac{1}{2} \operatorname{erfc}(\sqrt{S_{\text{av}} T/n}) \quad (47)$$

บางครั้งพหุคูณแบบบิวลิตีความผิดพลาดก็แสดงในรูปของพลังงานเฉลี่ยของสัญญาณต่อบิต $E_{\text{av}} = (S_{\text{av}})T$ ดังนี้

$$P_e = \frac{1}{2} \operatorname{erfc}(\sqrt{E_{b,v}/n}) \quad (48)$$

นอนโคอีเร้นท์เอเอสเค

ในการรับสัญญาณเอเอสเคแบบโคอีเร้นท์นั้นเราจำเป็นต้องสร้างสัญญาณท้องถิ่นให้เหมือนสัญญาณขาเข้าที่เครื่องรับโดยมีเฟสและความถี่เหมือนกัน ในการนี้ต้องใช้เครื่องกำเนิดสัญญาณที่มีความเสถียรภาพสูงทั้งเครื่องรับและเครื่องส่ง ทำให้มีราคาแพงจึงมีคนสนใจนำวิธีการรับสัญญาณเอเอสเคแบบนอนโคอีเร้นท์มาใช้ เพราะราคาถูกลงเนื่องจากไม่ต้องการเครื่องกำเนิดสัญญาณที่มีความเสถียรภาพสูง รูปที่ 7 แสดงส่วนประกอบของเครื่องรับนอนโคอีเร้นท์เอเอสเค เครื่องรับนี้จะประกอบด้วยเครื่องกรองความถี่ผ่านแถบ และเครื่องรับเอนVELOPE (envelope detector) ซึ่งประกอบด้วยเครื่องตัดตรง (rectifier) เครื่องกรองความถี่ผ่านต่ำ (Lowpass filter) เครื่องลุ่มตัวอย่างและอุปกรณ์เทรสิโอสต์ (threshold device)



รูปที่ 7 เครื่องรับนอนโคอีเร้นท์เอเอสเค

ที่ขาเข้าของเครื่องรับแบบนอนโคอีเร้นท์จะมีสัญญาณบวกเสียงรบกวนเข้าเขียนดังสมการ (40) เสียงรบกวนเข้าเขียนนี้สามารถแตกเป็นส่วนประกอบอินเฟสและควอดราเจอร์ได้ดังสมการ (33) ดังนี้

เอกสารนี้เป็นเอกสารที่สงวนไว้สำหรับการใช้งานเพื่อการศึกษาเท่านั้น ไม่อนุญาตให้นำไปใช้ประโยชน์ด้านการค้า ไม่ว่ากรณีใดๆทั้งสิ้น อีกทั้งห้ามมิให้ตัดแปลงเนื้อหา และต้องอ้างอิงถึงเจ้าของเอกสารทุกครั้งที่มีการนำไปใช้

$$n(t) = x_c(t) \cos w_c t - x_s(t) \sin w_c t \quad (49)$$

แทนสมการ (49) ในสมการ (33) จะได้

$$V_1(t) = S_1(t) + n(t)$$

$$\begin{aligned} V_1(t) &= A \cos w_c t + x_c(t) \cos w_c t - x_s(t) \sin 2\pi f_c t \\ &= [A + x_c(t)] \cos w_c t - x_s(t) \sin w_c t \quad (50) \end{aligned}$$

เนื่องจากเครื่องรับนอนโคฮีเร้นท์เอเอสเคประกอบด้วยเครื่องเอ็นเวลลอปสัญญาณมาร์คควกเสียงรบกวนที่ขาเข้าของเครื่องรับจึงต้องอยู่ในรูปของเอ็นเวลลอป จะได้

ในที่นี้

$$\begin{aligned} V_1(t) &= r(t) \cos [w_c t - \theta(t)] \\ r(t) &= \sqrt{([A + x_c(t)]^2 + (x_s(t))^2)} \quad (51) \end{aligned}$$

ในขณะเดียวกัน สัญญาณสเปสซึ่งมีค่าเท่ากับศูนย์ บวกกับเสียงรบกวนที่ขาเข้าของเครื่องรับจะมีเพียงเสียงรบกวนเท่านั้น

$$\begin{aligned} V_1(t) &= S_2(t) + n(t) \\ &= x_c(t) \cos w_c t - x_s(t) \sin w_c t \quad (52) \end{aligned}$$

เอ็นเวลลอปของสัญญาณมาร์คควกเสียงรบกวนจะได้รับการกระจายแบบไรเซียน (Rician distribution)

$$p(r) = \frac{r}{N} I_0 \left(\frac{Ar}{N} \right) \exp\left(-\frac{r^2 + A^2}{2N}\right), \quad r > 0 \quad (53)$$

ส่วนเอ็นเวลลอปของสัญญาณสเปสบวกเสียงรบกวนก็คือเอ็นเวลลอปของเสียงรบกวนอย่างเดียวนั้นเอง จะได้รับการกระจายแบบเรย์เลย์ (Rayleigh distribution)

$$p(r) = \frac{r}{N} \exp\left(-\frac{r^2}{2N}\right), \quad r > 0 \quad (54)$$

เอกสารนี้เป็นเอกสารที่สงวนไว้สำหรับการใช้งานเพื่อการศึกษาเท่านั้น ไม่อนุญาตให้นำไปใช้ประโยชน์ด้านการค้า ไม่ว่าจะกรณีใดๆทั้งสิ้น อีกทั้งห้ามมิให้ดัดแปลงเนื้อหา และต้องอ้างอิงถึงเจ้าของเอกสารทุกครั้งที่มีการนำไปใช้

ในที่นี้ N คือกำลังของเสียงรบกวนที่ขาออกของเครื่องกรองความถี่ผ่านแถบ

$$N = nB \approx 2\pi/T \quad (55)$$

และ $I_0(x)$ คือ เบสเซลฟังก์ชันที่ดัดแปลง (modified Bessel function) ของชนิดที่หนึ่ง และอันดับศูนย์ ซึ่งมีค่าจำกัดความดังนี้

$$I_0(x) = \frac{1}{2\pi} \int_0^{2\pi} \exp(x \cos(u)) du \quad (56)$$

เพื่อให้เครื่องรับเอ็นเวลลอปทำงานได้ดีที่ค่ามากกว่าค่าเทรลโฮลด์ของเสียงรบกวนแอมพลิจูดของตัวนำที่ขาเข้าของเครื่องจะต้องมีค่า A^2 มากกว่า N ($A^2 \gg N$) ถ้าเราสมมติว่า $A^2 \gg N$ แล้วเราสามารถประมาณค่าเบสเซลฟังก์ชันดังนี้

$$I_0(Ar) \approx (\sqrt{N/2\pi Ar}) \exp(Ar)$$

ฉะนั้นสมการ (53) สามารถประมาณค่าดังนี้

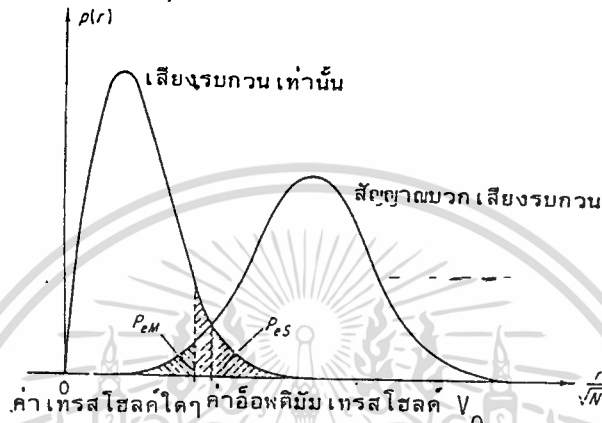
$$p(r) \approx (\sqrt{r/2\pi AN}) \exp\left(-\frac{(r-A)^2}{2N}\right), \quad r > 0 \quad (57)$$

ซึ่งก็คือการกระจายแบบเกาส์เซียนที่มีค่าเฉลี่ย A และแวนเรียนซ์ N เพราะ $r/(2\pi AN) \approx 1/(2\pi N)$ ในเลขแวก $r = A$ พรอบเบบิวลิตีเดนซิตีฟังก์ชันของเอ็นเวลลอปของสัญญาณบวกเสียงรบกวนและของเสียงรบกวนอย่างเดี่ยวแสดงในรูป 8 จะเห็นได้ว่า จุดตัดระหว่างพรอบเบบิวลิตีเดนซิตีฟังก์ชันทั้งสองจะให้ค่าอิมพิมูเทรลโฮลด์ V_0

เครื่องรับนอนโคอีเร้นท์เอเอสเคจะเปรียบเทียบกับ $R(t)$ ที่ขาออกของเครื่องรับเอ็นเวลลอปกับค่าเทรลโฮลด์ V_0 และจะถอดรหัสสัญญาณที่ได้รับเป็น $s_1(t)$ ถ้า $R(t) \leq V_0$ และเป็น $s_2(t)$ ถ้า $R(t) > V_0$ ดังนั้นค่าเทรลโฮลด์ V_0 ควรจะมีค่าระหว่าง 0 และ A ที่ให้พรอบเบบิวลิตีความผิดพลาดมีค่าน้อยที่สุด ค่าเทรลโฮลด์ V_0 ที่ให้พรอบเบบิวลิตีความผิดพลาดน้อยที่สุดคือค่าที่จุดตัดของพรอบเบบิวลิตีเดนซิตีฟังก์ชันของเอ็นเวลลอปของสัญญาณบวกเสียงรบกวนและเสียงรบกวน

$$p(r_1 = V_0) = p(r_0 = V_0) \quad (58)$$

เอกสารนี้เป็นเอกสารที่สงวนไว้สำหรับการใช้งานเพื่อการศึกษาเท่านั้น ไม่อนุญาตให้นำไปใช้ประโยชน์ด้านการค้า
ไม่ว่ากรณีใดๆทั้งสิ้น อีกทั้งห้ามมิให้ดัดแปลงเนื้อหา และต้องอ้างอิงถึงเจ้าของเอกสารทุกครั้งที่มีการนำไปใช้



รูปที่ 8 พรอบบะบิวลิตีเตนซีตั้งกันสำหรับการรับสัญญาณอนโคฮีเร้นท์เอเอสเค

ในที่นี้ r_1 แสดงเ็นเวลลอปของสัญญาณมาร์คบวกเสียงรบกวนและ r_2 แสดงเ็นเวลลอปของเสียงรบกวนอย่างเดียวก ในกรณีนี้ V_0 จะมีความสัมพันธ์กับ A และ N ดังนี้

$$V_0 \approx \frac{A}{2} (\sqrt{1+(8N/A^2)}) \tag{59}$$

ซึ่งจะประมาณค่าตอบของสมการ (58) ได้ใกล้เคียง เมื่อแอมพลิจูดของตัวพาที่ขาเข้าของเครื่องรับมีค่า $A^2 \gg N$ แล้ว $V_0 \approx A/2$

พรอบบะบิวลิตีความผิดพลาด (P) คือพรอบบะบิวลิตีความผิดพลาดในการตัดสินสัญญาณมาร์คเป็นสัญญาณสเปสและสัญญาณสเปสเป็นสัญญาณมาร์ค ในกรณีที่สัญญาณมาร์คและสัญญาณสเปสมีพรอบบะบิวลิตีการ

เกิดเท่ากันจะได้พหุคูณบิวลิตีความผิดพลาด

$$P_{\text{e}} = \frac{1}{2} P_{\text{eM}} + \frac{1}{2} P_{\text{eS}} \quad (60)$$

ในที่นี้

$$\begin{aligned} P_{\text{eM}} &= \int_0^{A/\sqrt{2}} \frac{1}{\sqrt{2\pi N}} \exp\left(-\frac{(r-A)^2}{2N}\right) dr \\ &= \frac{\text{erfc}\left(\frac{A}{2\sqrt{N}}\right)}{2\sqrt{N}} \end{aligned} \quad (61)$$

และ

$$\begin{aligned} P_{\text{eS}} &= \int_{A/\sqrt{2}}^{\infty} \frac{r}{N} \exp\left(-\frac{r^2}{2N}\right) dr \\ &= \frac{\exp\left(-\frac{A^2}{2N}\right)}{8N} \end{aligned} \quad (62)$$

สำหรับค่า $x \rightarrow \alpha$: $\text{erfc}(x) \sim \frac{\exp(-x^2/2)}{x\sqrt{2\pi}}$ (63)

ในกรณีที่ $A^2 \gg N$ สมการ (61) สามารถประมาณค่าได้ดังนี้

$$P_{\text{eM}} \sim \frac{(\sqrt{4N/2\pi A^2}) \exp\left(-\frac{A^2}{2N}\right)}{8N} \quad (64)$$

ดังนั้น แทนสมการ (64) และ (62) ในสมการ (60) จะได้ P_{e} ที่อ่อนดิมมเทรลโวลด์ดังนี้

$$\begin{aligned} P_{\text{e}} &\sim \frac{1}{2} \left[1 + \sqrt{4N/2\pi A^2} \right] \exp\left(-\frac{A^2}{2N}\right) \\ &\sim \frac{1}{2} \exp\left(-\frac{A^2}{2N}\right), \quad A^2 \gg N \end{aligned} \quad (65)$$

เอกสารนี้เป็นเอกสารที่สงวนไว้สำหรับการใช้งานเพื่อการศึกษาเท่านั้น ไม่อนุญาตให้นำไปใช้ประโยชน์ด้านการค้า
ไม่ว่ากรณีใดๆทั้งสิ้น อีกทั้งห้ามมิให้ตัดแปลงเนื้อหา และต้องอ้างอิงถึงเจ้าของเอกสารทุกครั้งที่มีการนำไปใช้

พหุคูณบีบอัดความผิดพลาดของเครื่องรับแบบนอนโคฮีเร้นท์เอเอสเคจะมีค่ามากกว่าพหุคูณบีบอัดความผิดพลาดของเครื่องรับแบบโคฮีเร้นท์เอเอสเค ที่ทำงานที่กำลังของสัญญาณ ความเร็วในการส่งและพหุคูณบีบอัดความผิดพลาดที่ฟังก์ชันของเสียงรบกวนที่ค่าเดียวกันเสมอ อย่างไรก็ตาม เครื่องรับแบบนอนโคฮีเร้นท์เอเอสเคมีความง่ายกว่าเครื่องรับแบบโคฮีเร้นท์มาก ฟังก์ชันที่แตกต่างในระบอบนอนโคฮีเร้นท์เอเอสเค พหุคูณบีบอัดความผิดพลาดของสัญญาณ "1" ผิด จะมีค่าแตกต่างกับพหุคูณบีบอัดความผิดพลาดของสัญญาณ "0" ผิด

เอฟเอสเค

การจัดสัญญาณเอฟเอสเค (FSK signalling)

สัญญาณเอฟเอสเคเป็นสัญญาณดิจิทัลที่ความถี่เปลี่ยนแปลงตามขนาดของเบสแบนด์พัลส์พีซีเอ็ม โดยทั่วไปเอฟเอสเคมักใช้ในการส่งข้อมูลที่อัตราความเร็วต่ำตามข้อกำหนดรายละเอียด CCITT V.21 และนิยมใช้เอฟเอสเคชนิดสองความถี่แทนเพราะเอฟเอสเคนอนโคฮีเร้นท์ชนิดสองความถี่สามารถกำเนิดและรับได้ง่าย ทำให้มีราคาถูก

$$S_1(t) = A \cos(\omega_c + \omega_m)t, \text{ สำหรับสัญญาณมาร์ค} \\ \text{และ} \quad 0 < t < T \quad (66) \\ S_2(t) = A \cos(\omega_c - \omega_m)t, \text{ สำหรับสัญญาณสเปส}$$

ในที่นี้ ω_c คือ ความถี่ ขยงเบน

จะเห็นได้ว่า สัญญาณมาร์คมีความถี่ $\omega_1 = \omega_c + \omega_m$ และสัญญาณสเปสมีความถี่ $\omega_2 = \omega_c - \omega_m$ สัญญาณเอฟเอสเคจึงเป็นสัญญาณดิจิทัลกำเนิดได้ง่ายโดยการสวิตช์ไปมาของเครื่องกำเนิดสัญญาณ ω_1 และเครื่องกำเนิดสัญญาณ ω_2 สัญญาณเอฟเอสเคดังกล่าวจะมีเฟสไม่ต่อเนื่อง (discontinuous phase) ที่รอยต่อสวิตช์ แต่ถ้าค่อยๆ เปลี่ยนเฟสของสัญญาณเอฟเอสเคตามขนาดของพัลส์พีซีเอ็ม เช่น เอฟเอสเคที่เกิดจากการเอฟเอ็ม โมดเลทพัลส์พีซีเอ็ม เป็นต้น

โคฮีเร้นท์เอฟเอสเค (Coherent FSK)

ถ้าเราตีโมดูลสัญญาณเอฟเอสเคด้วยเครื่องรับคอร์รีเลชันดังรูป 4 สัญญาณตัวนำท้องถิ่นที่ต้องการคือ

$$S_1(t) - S_2(t) = A \cos(\omega_c t + \omega_m t) - A \cos(\omega_c t - \omega_m t) \quad (67)$$

สัญญาณขาออก ณ เวลาสุ่มตัวอย่าง $t = kT$ คือ $S_{01}(kT)$ และ $S_{02}(kT)$ ในที่นี้

$$S_{o_1}(kT) = T \int_0^T S_1(t) [S_1(t) - S_2(t)] dt \quad (68)$$

$$S_{o_2}(kT) = T \int_0^T S_2(t) [S_1(t) - S_2(t)] dt$$

ถ้าพลังงานของสัญญาณ E_1 และ E_2 เท่ากัน $S_{o_1}(kT) = -S_{o_2}(kT)$ ฉะนั้นเทรลโวลต์ของเครื่องรับจึงตั้งไว้ที่ค่าศูนย์ พรอบนขบิ่วลิตความผิดพลาด P_e สำหรับเครื่องรับคอร์รีเลชั่น จากสมการ(6)

$$P_e = \frac{1}{2} \operatorname{erfc}(\delta_{\max}/2) \quad (69)$$

ในที่นี้

$$(\delta_{\max})^2 = \frac{2}{n} \int_0^T [S_1(t) - S_2(t)]^2 dt$$

แทน $S_1(t)$ และ $S_2(t)$ จากสมการ (66) และอินทิเกรท จะได้

$$(\delta_{\max})^2 = \frac{2A^2T}{n} \left[1 - \frac{\sin^2 w_d T}{2w_d T} + \frac{1}{2} \frac{\sin[2(w_c + w_d)T]}{2(w_c + w_d)T} - \frac{1}{2} \frac{\sin[2(w_c - w_d)T]}{2(w_c - w_d)T} - \frac{\sin 2w_c T}{2w_c T} \right] \quad (70)$$

สมมติว่า $w_c T \gg 1$, $w_d \gg w_c$

ซึ่งเป็นจริงในทางปฏิบัติและสามเทอมหลังในสมการ (70) มีค่าน้อยจนไม่ต้องคำนึงถึงได้ เราจะได้

$$(\delta_{\max})^2 = \frac{2A^2T}{n} (1 - \frac{\sin 2w_d T}{2w_d T}) \quad (71)$$

เอกสารนี้เป็นเอกสารที่สงวนไว้สำหรับการใช้งานเพื่อการศึกษาเท่านั้น ไม่อนุญาตให้นำไปใช้ประโยชน์ด้านการค้า ไม่ว่าจะกรณีใดๆทั้งสิ้น อีกทั้งห้ามมิให้ดัดแปลงเนื้อหา และต้องอ้างอิงถึงเจ้าของเอกสารทุกครั้งที่มีการนำไปใช้

ค่า $(\delta_{max})^2$ จะมีค่ามากที่สุด ถ้าเลือกความถี่เบี่ยงเบนให้ $2\omega_d T = 3\pi/2$ ที่ค่า ω_d ค่านี้ จะได้

$$(\delta_{max})^2 = (2.42)(A^2 T/n)$$

และ

$$P_u = \frac{1}{2} \operatorname{erfc}(\sqrt{0.61(A^2 T/n)}) \quad (72)$$

ถ้าเรากำหนด $S_{uv} = A^2/2$ และ $E_{uv} = A^2 T/2$ เราสามารถแสดง P_u ในรูปของ

$$P_u = \frac{1}{2} \operatorname{erfc}(\sqrt{1.2 S_{uv} T/n})$$

$$P_u = \frac{1}{2} \operatorname{erfc}(\sqrt{1.2 E_{uv}/n}) \quad (73)$$

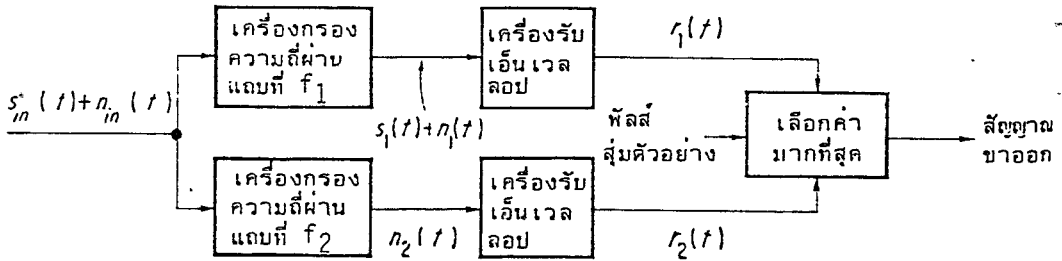
เปรียบเทียบพหุคูณบิวลิตีความผิดพลาดสำหรับโคฮีเร้นท์เอฟเอสเคกับพหุคูณบิวลิตีความผิดพลาดของโคฮีเร้นท์พีเอสเค (สมการ (726)) จะเห็นได้ว่าโคฮีเร้นท์เอฟเอสเคต้องการกำลังมากกว่าโคฮีเร้นท์พีเอสเคเท่ากับ 2.2 dB ที่ค่าพหุคูณบิวลิตีความผิดพลาดเดียวกัน สัญญาณเอฟเอสเคใช้แถบความถี่กว้างกว่าสัญญาณพีเอสเค โคฮีเร้นท์เอฟเอสเคจึงไม่มีข้อได้เปรียบกว่าโคฮีเร้นท์พีเอสเค

นอนโคฮีเร้นท์เอฟเอสเค

ในการรับนอนโคฮีเร้นท์เอฟเอสเค เราใช้เครื่องกรองความถี่ผ่านแถบ (bandpass filters) สองตัวที่มีความถี่ศูนย์กลางอยู่ที่ f_1 และ f_2 ตามด้วยเครื่องรับเอนเวลลอป (envelope detector) ในแต่ละกิ่ง (branch) เอนเวลลอปแต่ละกิ่งจะถูกสุ่มตัวอย่างพัลส์ละหนึ่งครั้ง แล้วนำมาเปรียบเทียบว่าเอนเวลลอปของสัญญาณมาร์คบวกเสียงรบกวนหรือของสัญญาณสเปสบวกเสียงรบกวนจะมากกว่ากันแล้วจะตัดสินสัญญาณขาออกเป็นของสัญญาณที่มีค่ามากกว่าดังรูปที่ 9 นอนโคฮีเร้นท์เอฟเอสเคสามารถคิดเสมือนหนึ่งว่าเป็นสัญญาณเอเอสเคสองตัวที่มีความถี่ $f_1 + f_2$ และ $f_1 - f_2$ ซึ่งเราจะเปรียบเทียบวิสัยความสามารถของนอนโคฮีเร้นท์เอฟเอสเคกับนอนโคฮีเร้นท์เอเอสเคต่อไป

สมมติสัญญาณที่ส่งเป็นสัญญาณมาร์ค $S_1(t) = A \cos(\omega_c + \omega_d)t$ พหุคูณบิวลิตีเดนมิตติฟังก์ชัน (pdf) ของเอนเวลลอป r_1 คือ

$$p(r_1) = \frac{r_1}{N} I_0\left(\frac{Ar_1}{N}\right) \exp\left(-\frac{(r_1)^2 + A^2}{2N}\right), \quad r_1 > 0 \quad (74)$$



รูปที่ 9 การตีโมดูลแบบนอนโคอีเร้นท์ของสัญญาณไบนารีเอฟเอสเค

ในที่นี้ $N = nB_T$ และ B_T คือแถบความถี่ของเครื่องกรองความถี่ ในขณะที่ตัวกรองความถี่ผ่านแถบที่ทั้งข้างล่างจะมีเฉพาะเสียงรบกวนเก้าเขียนที่ผ่านเท่านั้น เอ็นเวลลอปของเสียงรบกวนจะมี pdf เป็นเรย์เลย์ดังนี้

$$p(r_2) = \frac{r_2}{N} \exp\left(-\frac{r_2^2}{2N}\right), \quad r_2 > 0 \quad (75)$$

ความผิดพลาดจะเกิดขึ้นเมื่อ $r_2 > r_1$ และพหุคูณบิวลิต์ความผิดพลาดหาได้ดังนี้

$$P_e = P(r_2 > r_1) = \int_0^\infty p(r_1) \left[\int_{r_1}^\infty p(r_2) dr_2 \right] dr_1 \quad (76)$$

อินทิกรัลในวงเล็บจะได้ $\exp(-r_1^2/2N)$ ดังนี้

$$P_e = \int_0^\infty \frac{r_1}{N} I_0\left(\frac{Ar_1}{N}\right) e^{-r_1^2/2N} e^{-r_1^2/2N} dr_1 \quad (77)$$

จากสูตรฟังก์ชันคว (Q-function)

$$Q(\alpha, 0) = \int_0^\infty t I_0(\alpha t) e^{-(\alpha^2 + t^2)/2} dt = 1 \quad (78)$$

และ

เอกสารนี้เป็นเอกสารที่สงวนไว้สำหรับการใช้งานเพื่อการศึกษาเท่านั้น ไม่อนุญาตให้นำไปใช้ประโยชน์ด้านการค้า ไม่ว่าจะกรณีใดๆทั้งสิ้น อีกทั้งห้ามมิให้ดัดแปลงเนื้อหา และต้องอ้างอิงถึงเจ้าของเอกสารทุกครั้งที่มีการนำไปใช้

$$Q(0, \alpha) = \int_0^\infty t e^{-t/2} dt = e^{-\alpha/2} \quad (79)$$

และสมมติสัญญาณมาร์คและสัญญาณสเปสมีโอกาสเกิดเท่าๆ กัน พรอบบะบิวลิตีความผิดพลาดโดยเฉลี่ยสำหรับสัญญาณนอนโคอีเร้นท์เอฟเอสเคจะได้

$$P_e = \frac{1}{2} \exp(-\frac{A^2}{4N}) \quad (80)$$

จะเห็นได้ว่านอนโคอีเร้นท์เอฟเอสเคได้พรอบบะบิวลิตีความผิดพลาดในรูปของฟังก์ชันเอ็กซ์โพเนนเชียลเหมือนกับพรอบบะบิวลิตีความผิดพลาดของเอเอสเคที่อ็อปติมัมเทรลส์โวลด์ตั้งสมการ (65) แต่นอนโคอีเร้นท์เอฟเอสเคใช้อัตราส่วนของกำลังของสัญญาณต่อกำลังของเสียงรบกวนเพียงครึ่งหนึ่งของนอนโคอีเร้นท์เอฟเอสเคเท่านั้น ในกรณีที่อัตราความเร็วในการส่งพัลส์ของสองระบบเท่ากัน และแถบความถี่ของเครื่องกรองของทั้งสองระบบเท่ากันซึ่งหมายความว่า กำลังของเสียงรบกวนของทั้งสองระบบเท่ากัน อัตราส่วนของกำลังของสัญญาณต่อกำลังของเสียงรบกวนในระบบเอเอสเคมีค่าเฉพาะในกรณีที่ส่งสัญญาณมาร์คเท่านั้น ในการส่งสัญญาณสเปสจะมีกำลังของสัญญาณที่ส่งเท่ากับคนย์กำลังเฉลี่ยของเอเอสเคจึงมีค่าเพียงครึ่งหนึ่งของค่าที่ใช้ในค่าจำกัดความอัตราส่วนของกำลังของสัญญาณต่อกำลังของเสียงรบกวน ฉะนั้นที่พรอบบะบิวลิตีความผิดพลาดต่ำที่นอนโคอีเร้นท์เอฟเอสเคและนอนโคอีเร้นท์เอฟเอสเคจะได้ค่าพรอบบะบิวลิตีความผิดพลาดเท่ากันที่ค่าเฉลี่ยของอัตราส่วนของกำลังของกำลังของสัญญาณต่อกำลังของเสียงรบกวนเท่ากัน นอกจากนั้นเนื่องจากเอฟเอสเคต้องใช้ความถี่สองโทน เอฟเอสเคจึงถูกกำหนดให้ใช้แถบความถี่กว้างขึ้นอย่างน้อยสองเท่า อย่างไรก็ตาม เพื่อบรรลุถึงวิสัยความสามารถนี้ เอเอสเคมีข้อเสียที่สำคัญคือจำเป็นต้องใช้อินดิแม็ชเทรลส์โวลด์ในการรับที่ค่าของอัตราส่วนของกำลังของสัญญาณต่อกำลังของเสียงรบกวนค่าหนึ่งๆ ส่วนเอฟเอสเคใช้การเปรียบเทียบความแตกต่างระหว่าง r_1 และ r_2 ($r_2 - r_1$) เทียบกับเทรลส์โวลด์เป็นคนย์ทำให้เทรลส์โวลด์ของเอฟเอสเคเป็นอิสระไม่ขึ้นต่ออัตราส่วนของกำลังของสัญญาณต่อกำลังของเสียงรบกวน จึงเป็นเทรลส์โวลด์ที่เหมาะสมเสมอ โดยเฉพาะในกรณีที่เกิดเฟดดิ้ง (fading) เอฟเอสเคจะเหมาะสมมากกว่า เพราะไม่มีเทรลส์โวลด์จึงไม่ต้องปรับเทรลส์โวลด์เนื่องจากผลกระทบของเฟดดิ้งที่มีต่อระดับสัญญาณ

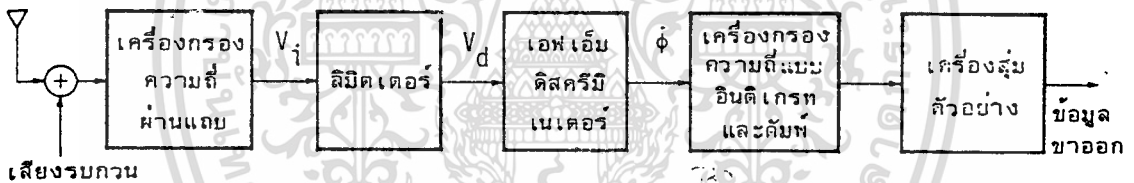
ดิจิทัลเอฟเอ็ม

การสื่อสารดิจิทัลแบบง่าย ๆ ที่ตัดแปลงระบบเอฟเอ็มมาใช้ในการโมดูเลท และส่งสัญญาณดิจิทัลไบนารี "1" หรือ "0" นี้เรียกว่า ดิจิทัลเอฟเอ็ม (Digital FM) หรือไบนารีเอฟเอสเค (binary FSK) การสื่อสารดิจิทัลเอฟเอ็มนี้นิยมใช้กันในระยะเริ่มแรกของการพัฒนาระบบสื่อสารดิจิทัล ในปัจจุบันก็ยังคงใช้กันอยู่ในวงการสื่อสารดิจิทัลที่ต้องการการส่งข้อมูลในอัตราความเร็ว (bit rate) ต่ำกว่า 1200 บิตต่อวินาที และที่ประหยัดค่าใช้จ่าย ความแตกต่างระหว่างอะนาล็อกเอฟเอ็มและดิจิทัลเอฟเอ็ม

เอกสารนี้เป็นเอกสารที่สงวนไว้สำหรับการใช้งานเพื่อการศึกษาเท่านั้น ไม่อนุญาตให้นำไปใช้ประโยชน์ด้านการค้า
ไม่ว่ากรณีใดๆทั้งสิ้น อีกทั้งห้ามมิให้ดัดแปลงเนื้อหา และต้องอ้างอิงถึงเจ้าของเอกสารทุกครั้งที่มีการนำไปใช้

คือ อนุบาล็อกเอฟเอ็มส่วนมากเป็นระบบเอฟเอ็มที่มีแถบความถี่กว้าง (wideband FM) ส่วนดิจิตัลเอฟเอ็มส่วนมากเป็นระบบเอฟเอ็มที่มีแถบความถี่แคบ (narrowband FM)

เครื่องรับของระบบดิจิตัลเอฟเอ็มส่วนมากใช้ลิ้มิตเตอร์ดิสคริมิเนเตอร์ตามด้วยเครื่องกรองความถี่แบบอินทิเกรทและคัมพ์ (integrated-and-dump filter) ดังรูปที่ 10 สัญญาณดิจิตัลเอฟเอ็มที่ขาเข้าของเครื่องรับจะถูกรบกวนด้วยเสียงรบกวนเก็าเขียนและผ่านเครื่องกรองความถี่กลาง (IF Filter) ที่มีความถี่ศูนย์กลางเท่ากับ f_c และมีแถบความถี่กว้าง 2B และจะถูกลีโมเดเลทโดยเครื่องลิ้มิตเตอร์ดิสคริมิเนเตอร์ ในที่นี้เราสมมุติว่าแถบความถี่ของเครื่องกรองความถี่กลางกว้างพอที่จะให้สัญญาณดิจิตัลเอฟเอ็มผ่านโดยไม่มีคเนี้ยน สัญญาณขาออกจากเครื่องลิ้มิตเตอร์ดิสคริมิเนเตอร์จะผ่านเครื่องกรองความถี่แบบอินทิเกรทและคัมพ์ และเครื่องลุ่มตัวอย่างที่ตัดลีนขนาดของพัลส์ลุ่มกับสัญญาณที่มีค่ามากกว่าค่าเทรลโฮลด์ ซึ่งอาจตั้งไว้ที่ค่าคณยให้เป็นพัลส์ลุ่มกและที่มีค่าน้อยกว่าค่าเทรลโฮลด์เป็นพัลส์ลุ่มดังรูปที่ 10



รูปที่ 10 แผนภาพของเครื่องรับดิจิตัลเอฟเอ็ม

สัญญาณดิจิตัลเอฟเอ็มที่ขาเข้าของเครื่องรับคือ

$$S(t) = A \cos(\omega_c t + D(t) + \theta) \quad (81)$$

ในที่นี้ A คือแอมพลิจูดของตัวพา
 ω_c คือความถี่เชิงมุมของตัวพา

เอกสารนี้เป็นเอกสารที่สงวนไว้สำหรับการใช้งานเพื่อการศึกษาเท่านั้น ไม่อนุญาตให้นำไปใช้ประโยชน์ด้านการค้า
 ไม่ว่าจะกรณีใดๆทั้งสิ้น อีกทั้งห้ามมิให้ดัดแปลงเนื้อหา และต้องอ้างอิงถึงเจ้าของเอกสารทุกครั้งที่มีการนำไปใช้

- ๑ คือเฟสเริ่มต้นของตัวพา
 $D(t)$ คือสัญญาณโมดูลเลตติ้งดิจิทัลเอฟเอ็ม

$$D(t) = w_d \int_0^t x(t') dt' \quad (82)$$

และสัญญาณข้อมูลเบสแบนด์ $x(t)$ เป็นพัลส์ซีเคิร์นซ์ชนิดไบนารี $g(t)$ ที่มีขนาดเป็นบวกรหรือลบ $a_n g(t)$ นี้จะมีแรงดันเปลี่ยนแปลงตามความถี่เบี่ยงเบน w_d ของสัญญาณดิจิทัลเอฟเอ็ม ดังสมการข้างล่างนี้

$$x(t) = \sum_{n=-\infty}^{\infty} a_n g(t-nT) \quad (83)$$

เสียงรบกวนที่ขาเข้าของเครื่องรับคือ

$$\begin{aligned} n(t) &= \alpha(t) \cos(w_c t + \phi(t)) \\ &= n_1(t) \cos w_c t - n_2(t) \sin w_c t \end{aligned} \quad (84)$$

ในที่นี้ $\alpha(t)$ เป็นแอมพลิจูดของเสียงรบกวนแบบเกาส์เซียน $n(t)$ ซึ่งมีการกระจายแบบเรย์เลย์ (Rayleigh distribution) $\phi(t)$ เป็นเฟสของเสียงรบกวนที่มีการกระจายแบบสม่ำเสมอระหว่างค่า 0 และ 2π n_1 และ n_2 เป็นส่วนประกอบอินเฟสและควอดราเจอร์ของ $n(t)$ เทียบกับความถี่ของตัวพา

สัญญาณผสมเสียงรบกวนที่ขาเข้าของเครื่องจำกัดเตอร์ เขียนสมการได้ดังนี้

$$V_1(t) = S(t) + n(t) = R(t) \cos(w_c t + \phi(t)) \quad (85)$$

$$\text{ในที่นี้} \quad R(t) = \sqrt{[A + x]^2 + y^2} \quad (86)$$

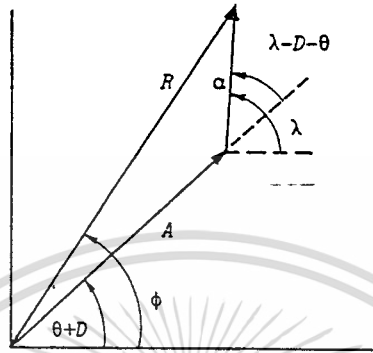
$$\phi(t) = D + \theta + \tan^{-1} \frac{y}{A + x} \quad (87)$$

ดังแสดงในรูปที่ 11

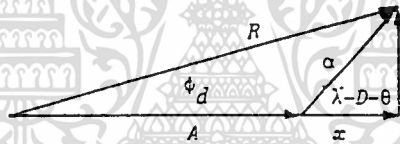
ในที่นี้เสียงรบกวนถูกแยกออกเป็นส่วนประกอบอินเฟสและควอดราเจอร์กับสัญญาณดังนี้

$$x \triangleq \alpha \cos(\lambda - \beta - \theta) \quad (88)$$

$$y \triangleq \alpha \sin(\lambda - \beta - \theta)$$



(ก) การเปรียบเทียบอัตราความผิดพลาดเทียบกับระบบเอฟเอเคแบบไบนารี



(ข) การเปรียบเทียบเครื่องดิสครีมิเนเตอร์เอฟเอ็มและเครื่องกรองความถี่แบบเม็ช

รูปที่ 11 ภาพแสดงความสัมพันธ์ทางเฟส เซอร์ระหว่างสัญญาณและเสียงรบกวน

เครื่องลิมิตเตอร์จะตัดเอ็นเวลลอปของสัญญาณผสมระหว่างสัญญาณและเสียงรบกวนให้เรียบที่ขาออกของเครื่องลิมิตเตอร์ที่ตามด้วยเครื่องกรองความถี่ผ่านแถบ (bandpass limiter) จะได้

$$V_d(t) = \cos(\omega_c t + \phi(t))$$

ที่ขาออกของเครื่องดิสครีมิเนเตอร์คือ

$$\phi' = D' + \phi'_d \tag{89}$$

ในที่นี้ θ คือสัญญาณที่ตกติโมดเลทตามต้องการ และ ϕ_d คือเสียงรบกวนขาออกพฤติกรรมของเสียงรบกวนในระบบดิจิทัลเอฟเอ็มก็มีลักษณะเดียวกับพฤติกรรมของเสียงรบกวนในระบบอะนาล็อกเอฟเอ็ม กล่าวคือ ที่ขาออกของเครื่องรับเอฟเอ็มเสียงรบกวนจะประกอบด้วยเสียงรบกวนสองชนิด ชนิดแรกเป็นเสียงรบกวนแบบเกาเซียน และชนิดหลังเป็นเสียงรบกวนแบบอิมพัลส์ หรือเรียกว่าเสียงรบกวนคลิกเพราะเวลาเกิดเสียงรบกวนคลิกจะได้ยินเสียงคลิกๆ จากเครื่องรับ เสียงรบกวนแบบเกาเซียนจะมีอิทธิพลต่อสัญญาณดิจิทัลเอฟเอ็ม ที่ค่าของอัตราส่วนของกำลังของตัวพาต่อกำลังของเสียงรบกวน (CNR) สูง ส่วนที่ค่าของอัตราส่วนของกำลังของตัวพาต่อกำลังของเสียงรบกวนต่ำ เสียงรบกวนแบบคลิกจะมีอิทธิพลต่อสัญญาณดิจิทัลเอฟเอ็มมากกว่าเสียงรบกวนแบบเกาเซียน

ในขณะที่ขนาดของ x และ y สั่นกระเพื่อมอย่างเรเดียม $\phi_d(t)$ ก็จะสั่นกระเพื่อมตามด้วย ที่ค่าของอัตราส่วนของกำลังของสัญญาณต่อกำลังของเสียงรบกวน ρ มาก นั่นคือ $\alpha(t) \ll A$ การสั่นกระเพื่อมของ $\phi_d(t)$ จะน้อย ดังนั้น เราสามารถแทน $\phi_d(t)$ ด้วยสมการข้างล่างนี้

$$\phi_d(t) = \tan^{-1} \frac{\alpha \sin(\lambda - D - \theta)}{A + \alpha \cos(\lambda - D - \theta)}$$

$$\frac{\alpha \sin(\lambda - D - \theta)}{A} = \frac{y}{A} \quad (90)$$

เสียงรบกวนที่ขาออกของเครื่องดิสคริมิเนเตอร์คือ

$$\phi'_d(t) = \frac{y}{A} \quad (91)$$

เนื่องจาก y เป็นตัวแปรเรเดียมแบบเกาเซียน การแปลงเชิงเส้นของตัวแปรเรเดียมแบบเกาเซียนก็ยังคงเป็นตัวแปรเกาเซียนอยู่ ฉะนั้น $\phi_d(t)$ จึงเป็นเกาเซียนด้วย

ในขณะที่สัญญาณมีกำลังลดลง ในบางเวลาขนาดของเสียงรบกวนจะมีค่ามากกว่าขนาดของสัญญาณ และมีโอกาสที่ $R(t)$ ซึ่งเป็นเอ็นเวลลอปรวมของสัญญาณดิจิทัลเอฟเอ็มกับเสียงรบกวนจะหมุนไปทางซ้ายมือล้อมรอบจุดศูนย์กลางอย่างรวดเร็วเกิดการเปลี่ยนมุมเป็น 2π เครื่องดิสคริมิเนเตอร์จะเปลี่ยนจากมุม 2π เป็นพัลส์แหลมเล็กที่มีพื้นที่ $+2\pi$ และมีความกว้างเล็กกว่า $1/(2B)$ เมื่อผ่านเครื่องกรองความถี่แบนด์พาสที่ติดกับเครื่องดิสคริมิเนเตอร์ ซึ่งมีแถบความถี่น้อยกว่าแบนด์พาสที่ จะยอมให้เสียงรบกวนแบบคลิกผ่านได้สะดวก เสียงรบกวนแบบคลิกจึงสามารถแทนด้วยอิมพัลส์ที่มีพื้นที่ 2π ได้ดังนี้

$$\phi'_d(t) \triangleq Z_+ - Z_- = 2\pi [\sum_{k=-\infty}^{\infty} \delta(t-t_k) - \sum_{l=-\infty}^{\infty} \delta(t-t_l)] \quad (92)$$

ในที่นี้ Z_+ และ Z_- เป็นเสียงรบกวนแบบคลิกบวกและลบ t_k และ t_l เป็นเวลาที่เสียงรบกวนแบบคลิกบวกและลบเกิด

เสียงรบกวนแบบคลัสค์จะมีการกระจายแบบปอยซอน (Poisson distribution) ซึ่งเราจำเป็นต้องทราบอัตราการเกิดของเสียงรบกวนแบบคลัสค์เพื่ออธิบายลักษณะสมบัติเชิงสถิติของเสียงรบกวนแบบคลัสค์ได้ สมมติว่าความเข้มข้นสเปกตรัลของเสียงรบกวนขาเข้าสมมาตรกับความถี่ศูนย์กลางของสัญญาณเอฟเอ็ม f_c จำนวนเฉลี่ยของเสียงรบกวนแบบคลัสค์ครบและลบในหนึ่งวินาทีนั้น วิศวกรสื่อสารชาวอเมริกันชื่อไรซ์ (Rice) ได้คำนวณค่าไว้ดังนี้

$$N_+ = \frac{1}{2} \{ (\sqrt{r^2 + (f_c)^2} [1 - \text{erfc}(\sqrt{r^2 + (f_c)^2}/r)] - f_c \exp(-r) [1 - \text{erfc}(r/r)] \} \quad (93)$$

ในขณะที่จำนวนเฉลี่ยของเสียงรบกวนแบบคลัสค์ลบในหนึ่งวินาทีคือ

$$N_- = N_+ + f_c \exp(-r) \quad (94)$$

ในขณะที่คือแถบความถี่อาร์เอ็มเอส (rms bandwidth) ของเสียงรบกวนขาเข้ามีหน่วยเป็น เฮิรตซ์/วินาที ดังนี้

$$b_0 = \frac{1}{2\pi} (\sqrt{[b_2/b_0]}) \quad (95)$$

$$b_0^2 = \sigma^2 = \int_0^\infty G_n(f) df \quad (96)$$

$$b_2 = (2\pi)^2 \int_0^\infty (f-f_c)^2 G_n(f) df$$

r คือ CNR

$$r = \frac{A^2}{2(\sigma_n)^2} \quad (97)$$

ในที่นี้ $G_n(f)$ คือ ความเข้มข้นสเปกตรัลของกำลังข้างหนึ่ง (one-sided powerspectral density) ของเสียงรบกวนขาเข้า, $f_c = \omega_c/2\pi$ และ $\text{erfc}(x)$ คือนิ่งกั้นความผิดพลาดเสริม (complimentary error function) ซึ่งมีค่าจำกัดความตามสมการ (26)

จะเห็นได้ว่าอัตราการเกิดของเสียงรบกวนแบบคลัสค์เป็นฟังก์ชันของ r , $D(b)$ หรือ f_c และ แถบความถี่อาร์เอ็มเอสของเสียงรบกวนขาเข้า

ที่ขาออกของเครื่องดิสคริมิเนเตอร์ จะมีทั้งสัญญาณดิจิทัลเอฟเอ็ม เสียงรบกวนแบบเกาเซียน

เอกสารนี้เป็นเอกสารที่สงวนไว้สำหรับการใช้งานเพื่อการศึกษาเท่านั้น ไม่อนุญาตให้นำไปใช้ประโยชน์ด้านการค้า

ไม่ว่ากรณีใดๆทั้งสิ้น อีกทั้งห้ามมิให้ดัดแปลงเนื้อหา และต้องอ้างอิงถึงเจ้าของเอกสารทุกครั้งที่มีการนำไปใช้

และเสียงรบกวนแบบคลัสต์ ดังนี้

$$\phi' = \phi'_{\omega} + (Z_+ + Z_-) \quad (98)$$

ในที่นี้

$$\phi'_{\omega} = \frac{\Delta}{A} D + \theta + \frac{\alpha \sin(\lambda - D - \theta)}{A} \quad (99)$$

ขยายเทอม $\alpha \sin(\lambda - D - \theta)$ ในสมการ (99) ออกเป็นส่วนประกอบอินเฟสและควอดราเจอร์ของเสียงรบกวนแบบเกาส์เซียน n_1, n_2 ซึ่งมีค่าเฉลี่ยเท่ากับศูนย์และมีแวลวเเรียนซ์ $(\sigma_n)^2$ เท่ากัน จะได้

$$\phi'_{\omega} = D + \theta + \frac{a \cos \theta}{A} - \frac{b \sin \theta}{A} \quad (100)$$

ในที่นี้

$$\frac{a}{A} = \frac{n_2 \cos D - n_1 \sin D}{n_1 \cos D + n_2 \sin D}$$

ซึ่งมีค่าโคแวลวเเรียนซ์เมื่อสเปคตรัลของเสียงรบกวนสมมาตรกับ ω_c ดังนี้

$$\begin{aligned} R_{a,a}(t_1, t_2) &= E[a(t_1)a(t_2)] = R_n(t_2, t_1) \cos(D_2 - D_1) \\ &= R_b(t_1, t_2) \end{aligned}$$

$$R_{b,b}(t_1, t_2) = E[b(t_1)b(t_2)] = R_n(t_2, t_1) \sin(D_2 - D_1)$$

และ $E[\cdot]$ คือค่าเฉลี่ยทางเอนเซมเบิล (ensemble average) สัญญาณขาออกของเครื่องดิสครีมเนเตอร์คือ

$$\phi' \sim D' + \frac{a'}{A} \cos \theta - \frac{b'}{A} \sin \theta + (Z_+ - Z_-) \quad (101)$$

ในกรณีนี้ให้

เอกสารนี้เป็นเอกสารที่สงวนไว้สำหรับการใช้งานเพื่อการศึกษาเท่านั้น ไม่อนุญาตให้นำไปใช้ประโยชน์ด้านการค้า
ไม่ว่ากรณีใดๆทั้งสิ้น อีกทั้งห้ามมิให้ดัดแปลงเนื้อหา และต้องอ้างอิงถึงเจ้าของเอกสารทุกครั้งที่มีการนำไปใช้

$$u' = a' \frac{\cos \theta}{A} - b' \frac{\sin \theta}{A}$$

u' ก็คือเก้าเขียนนั่นเองและพหุคูณของบิลิตีเด้นซิติฟังก์ชัน $p(u')$ คือ

$$p(u') = \frac{1}{\sqrt{2\pi M}} \exp\left(-\frac{u'^2}{2M^2}\right) \quad (102)$$

ในที่นี้

$$M^2 = E[u'^2] = E[a'^2] / A^2$$

สัญญาณขาออกจากเครื่องดีสคริมิเนเตอร์จะผ่านเครื่องกรองความถี่แบบอินทิเกรทและคัมพ้อมพัลส์ เรสพอนส์ของเครื่องกรองความถี่แบบอินทิเกรทและคัมพ้อมพัลส์คือ

$$h(\tau) = \begin{cases} 1/T, & 0 \leq \tau \leq T \\ 0, & \text{ค่าอื่นๆ} \end{cases} \quad (103)$$

สมมติว่าช่วงเวลาอินทิเกรท T มีค่าเท่ากับช่วงเวลาของพัลส์บิตพอดิตซึ่งทำให้ไม่เกิดการรบกวนระหว่างบิตที่เวลาของการสุ่มตัวอย่าง

สัญญาณขาออกของเครื่องกรองความถี่แบบอินทิเกรทและคัมพ้อมพัลส์ที่ถูกสุ่มตัวอย่างตรงปลายบิต ณ เวลา $t_n = (n+1)T$ คือ

$$V_o = D_o + u_o + Z_o \quad (104)$$

สัญญาณดิจิทัลเอเอ็มขาออก ณ เวลาสุ่มตัวอย่าง (ดูรูปที่ 13(ก)) จะได้

$$D_o = \begin{cases} w_d, & \text{"สัญญาณมาร์ค"} \\ -w_d, & \text{"สัญญาณสเปส"} \end{cases} \quad (105)$$

ในที่นี้ w_d คือ ความถี่เชิงมุมเบี่ยงเบนที่ค่ามากที่สุด

เอกสารนี้เป็นเอกสารที่สงวนไว้สำหรับการใช้งานเพื่อการศึกษาเท่านั้น ไม่อนุญาตให้นำไปใช้ประโยชน์ด้านการค้า
ไม่ว่ากรณีใดๆทั้งสิ้น อีกทั้งห้ามมิให้ดัดแปลงเนื้อหา และต้องอ้างอิงถึงเจ้าของเอกสารทุกครั้งที่มีการนำไปใช้

เสียงรบกวนเก๋าเขียนขาออก u'_o จะได้

$$u'_o = a'_o \frac{\cos \theta}{A} - b'_o \frac{\sin \theta}{A} \quad (106)$$

ในที่นี้ $a_o = [a(t) * h(t)]_{t=t}$, $b_o = [b(t) * h(t)]_{t=t}$ และเครื่องหมายดอกจันแสดง การคอนโวลูททางแกนเวลา (time convolution) เสียงรบกวนแบบคลีคขาออกจะได้

$$Z_o = \frac{1}{T} \int_{nT}^{(n+1)T} \sum_{k=-\infty}^{\infty} 2\pi (t-t_k) dt$$

$$= \frac{1}{T} \int_{nT}^{(n+1)T} \sum_{l=-\infty}^{\infty} 2\pi (t-t_l) dt \quad (107)$$

ให้ x และ y เป็นจำนวนคลีคบวกและคลีคลบที่เกิดขึ้นในช่วงเวลาของพัลส์บิต n จะได้

$$Z_o = \frac{2\pi(x - y)}{T}$$

พหุคูณแบบวีลิตีเคเนอิตีฟังก์ชัน (pdf) ของ Z_o

$$p(Z_o) = \sum_{n=-\infty}^{\infty} \exp[-(\lambda_+ + \lambda_-)] \left(\frac{\lambda_+}{\lambda_-}\right)^{n/2} I_0[2(\sqrt{\lambda_+ \lambda_-})]$$

$$* \left(Z_o - \frac{2\pi n}{T}\right) \quad (108)$$

ในที่นี้ $\lambda_+ = N_+ T$ และ $\lambda_- = N_- T$ คือจำนวนเฉลี่ยของคลีคในช่วงเวลาของพัลส์บิตใดๆ ที่สนใจ จะเห็นได้ว่า pdf ของผลต่างของกระบวนการป้อยซอน x และ y จะไม่ได้กระบวนการป้อยซอน อีก

pdf $p(v'_o \triangleq D'_o + u'_o)$ จากสมการ (105) และ (106) จะได้

$$p(v'_o | D'_o = \pm w_d) = \frac{1}{\sqrt{2\pi M_o}} \exp\left(-\frac{(v'_o \pm w_d)^2}{2(M_o)^2}\right) \quad (109)$$

ในที่นี้

เอกสารนี้เป็นเอกสารที่สงวนไว้สำหรับการใช้งานเพื่อการศึกษาเท่านั้น ไม่อนุญาตให้นำไปใช้ประโยชน์ด้านการค้า ไม่ว่ากรณีใดๆทั้งสิ้น อีกทั้งห้ามมิให้ตัดแปลงเนื้อหา และต้องอ้างอิงถึงเจ้าของเอกสารทุกครั้งที่มีการนำไปใช้

$$(M_0)^2 = E[(u'_0)^2] = E[(a'_0)^2] / A^2 \quad (110)$$

และ $E[(a'_0)^2]$ คือกำลังของเสียงรบกวน ณ เวลาสุ่มตัวอย่าง

$$\begin{aligned} E[(a'_0)^2] &= \frac{1}{2\pi} \int_{-\infty}^{\infty} w^2 G_n(w) [H(w)]^2 dw \\ &= \frac{1}{2\pi} \int_{-2\pi B}^{2\pi B} w^2 \frac{\sigma^2 \pi}{2B} \left[\frac{\sin(wT/2)}{(wT/2)} \right]^2 dw \end{aligned}$$

แทนค่า

$$2B = 2(p+1)f_m$$

จะได้

$$f_m = 1/2T, \quad p = \Delta f / f_m$$

ในที่นี้

$$E[(a'_0)^2] = \frac{2(\sigma^2)^2}{T^2} f_0(p)$$

$$f_0(p) = \frac{1 - \sin \pi(p+1)}{\pi(p+1)}$$

สมมติว่าสัญญาณมาร์คและสัญญาณสเปซมีโอกาสเกิดเท่ากัน ถ้าเราตั้งเทรชโฮลด์ไว้ที่ 0 โวลต์ เครื่องรับแอมป์จะตัดสินใจว่า $D'_0 = w_d$ ถ้า $V_0 > 0$ และ $D'_0 = -w_d$ ถ้า $V_0 < 0$ $p(V_0)$ ได้มาจากการคอนโวลูชันสมการ (108) และ (109) ดังนี้

$$p(V_0 | D'_0 = \pm w_d) = \sum_{\mu=-\infty}^{\infty} \exp[-(\lambda_+ + \lambda_-)] \left(\frac{\lambda_+}{\lambda_-} \right)^{\mu/2}$$

$$* I_{\mu} [2(\sqrt{\lambda_+ \lambda_-})]$$

$$* \frac{1}{\sqrt{2\pi M_0}} \frac{\exp(-(V_0 - w_d - [2\pi\mu/T])^2)}{2(M_0)^2} \quad (111)$$

เอกสารนี้เป็นเอกสารที่สงวนไว้สำหรับการใช้งานเพื่อการศึกษาเท่านั้น ไม่อนุญาตให้นำไปใช้ประโยชน์ด้านการค้า ไม่ว่าจะกรณีใดๆทั้งสิ้น อีกทั้งห้ามมิให้ดัดแปลงเนื้อหา และต้องอ้างอิงถึงเจ้าของเอกสารทุกครั้งที่มีการนำไปใช้

พหุคูณแบบบิวลิติความผิดพลาดคือ พหุคูณแบบบิวลิติที่ส่งสัญญาณมาร์ค $D'_0 = w_d$ แต่เครื่องรับตัดสินเป็นสัญญาณสเปสเพราะ $V_0 < 0$ และตัดสินเป็นสัญญาณมาร์คเพราะ $V_0 > 0$ ในขณะที่ส่งสัญญาณสเปส $D'_0 = -w_d$ นั่นคือ

$$P_{\text{ม}} = P(V_0 < 0 | D'_0 = w_d) = \int_{-\infty}^0 p(V_0 | D'_0 = w_d) dV_0$$

และ (112)

$$P_{\text{ส}} = P(V_0 > 0 | D'_0 = -w_d) = \int_0^{\infty} p(V_0 | D'_0 = -w_d) dV_0$$

แทนสมการ (111) ลงในสมการ (112) และอินทิเกรตเทียบกับ V_0 จะได้

$$P_{\text{ม}} = \frac{\sum_{\nu=-\infty}^{\infty} \frac{\exp[-(\lambda_+ + \lambda_-)] (\lambda_+)^{\nu/2}}{\lambda_-} I_{\nu} [2(\sqrt{\lambda_+ \lambda_-})]}{\lambda_-}$$

(113)

$$P_{\text{ส}} = \frac{1}{2} \frac{\text{erfc}([w_d + (2\pi\mu/T)] / \sqrt{2M_0})}{\sqrt{2M_0}}$$

ในที่นี้ผลของเสียงรบกวนต่อเนื่องขาออกที่มีต่อพหุคูณแบบบิวลิติความผิดพลาดนั้นแสดงอยู่ในรูปของฟังก์ชันความผิดพลาดเสริมซึ่งมีส่วนที่ถกย้ายไป $+2\pi/T$ ซึ่งเป็นผลเนื่องมาจากการคอนโวลูทกับคล็อกเป็นที่น่าสนใจกว่าจำนวนเฉลี่ยของคล็อกที่เกิดขึ้นในช่วงเวลาของพัลส์บิตบวก T เท่ากับจำนวนเฉลี่ยของคล็อกบวกที่เกิดขึ้นในช่วงเวลาของพัลส์บิตลบ T ดังนั้นถ้าแทน ของ $P_{\text{ส}}$ ในสมการ (113) ด้วยค่า - ผลที่ได้จะเท่ากับ $P_{\text{ม}}$ ฉะนั้นสำหรับโอกาสการเกิดของสัญญาณมาร์คและสัญญาณสเปสที่เท่ากัน พหุคูณแบบบิวลิติความผิดพลาด P_e จะได้

$$P_e = (1/2)P_{\text{ม}} + (1/2)P_{\text{ส}} = P_{\text{ม}} \tag{114}$$

แทนสมการ (114) ในสมการ (113) พหุคูณแบบบิวลิติความผิดพลาด

$$P_e = P_{\text{ม}} = \frac{1}{2} \sum_{\nu=-\infty}^{\infty} \frac{\exp[-(\lambda_+ + \lambda_-)] (\lambda_+)^{\nu/2}}{\lambda_-} * \frac{I_{\nu} [2(\sqrt{\lambda_+ \lambda_-})] \text{erfc}([w_d + (2\pi\mu/T)] / \sqrt{2M_0})}{\sqrt{2M_0}} \tag{115}$$

ดูค่อนข้างยุ่งยากทางคณิตศาสตร์ แต่ตามความเป็นจริงแล้วสมการนี้แก้ได้ค่อนข้างง่ายถ้าเราใช้หลักความจริงที่ว่า สำหรับสัญญาณมาร์คคล็อกส่วนมากจะเกิดในทิศทางลบ ดังนั้นเราสามารถตัดคล็อกบวกออกได้สมการ (93) และสมการ (94) จะถูกทอนให้เหลือ

$$N_+ \ll N_-$$

$$N_- \sim f_d \exp(-\rho) \quad (116)$$

แล้ว

$$\lambda_+ = N_+ T \ll \lambda_-$$

$$\lambda_- = N_- T \sim (\rho/2) \exp(-\rho) \quad (117)$$

ในที่นี้ $\rho = 2f_d T$

นอกจากนี้ถ้าเราพิจารณากรณีที่อัตราส่วนของกำลังของตัวพาดอกำลังของเสียงรบกวน (CNR) ที่ค่ามากพอสมควร โอกาสที่คลัสเตอร์และคลัสเตอร์จะเกิดมากกว่าหนึ่งคลัสต์ในหนึ่งช่วงเวลาของพัลส์บิต T น้อยมาก นั่นคือ $\rho \ll 1$ จะได้

$$I_\mu [2(\sqrt{\lambda_+ \lambda_-})] \sim (\lambda_+ \lambda_-)^{\mu/2}, \quad \exp[-(\lambda_+ \lambda_-)] \sim 1 \quad (118)$$

สมมติว่าในหนึ่งช่วงเวลาของพัลส์บิต T จะมีคลัสต์เกิดมากที่สุดไม่เกินหนึ่งคลัสต์ และแทนสมการ (116), (117) และ (118) ในสมการ (115) จะได้

$$P_n = \frac{1}{2} \sum_{\mu=0}^{\infty} (\rho \exp(-\frac{A^2}{2\sigma_n^2}))^\mu \frac{\text{erfc}([\omega_d - (2\pi\mu/T)]A)}{\sqrt{2(a'_0)^2}} \quad (119)$$

หรือ

$$P_n = \frac{1}{2} \frac{\text{erfc}(\frac{\pi\rho}{\sqrt{2f_d}})}{(\sqrt{2f_d})} + \frac{\rho \exp(-\rho)}{4} \frac{\text{erfc}(\frac{\pi\rho(1-[2/\rho]f_d)^{1/2}}{\sqrt{2f_d}})}{(\rho)} \quad (120)$$

ในที่นี้ $\rho = \omega_d / \pi / T = \omega_d / \omega_m$ คือดัชนีโมดเลชัน (modulation index)

$f_m = \frac{1}{2T}$ คือความถี่ของสัญญาณและแอมพลิจูดของเสียงรบกวน

$$(a'_0)^2 = \frac{2(\sigma_n)^2}{T^2} f_0(\rho)$$

เอกสารนี้เป็นเอกสารที่สงวนไว้สำหรับการใช้งานเพื่อการศึกษาเท่านั้น ไม่อนุญาตให้นำไปใช้ประโยชน์ด้านการค้า
ไม่ว่ากรณีใดๆทั้งสิ้น อีกทั้งห้ามมิให้ดัดแปลงเนื้อหา และต้องอ้างอิงถึงเจ้าของเอกสารทุกครั้งที่มีการนำไปใช้

เป็นที่น่าสังเกตว่าอัตราความผิดพลาด P_e ในสมการ (12d) นั้นเป็นความผิดพลาดที่เกิดจากเสียงรบกวนเกาเขียนที่ต่อเนื่องอย่างเดี่ยว (เทอมแรกของสมการ (12d) ที่ค่า $\beta = 0$) บวกกับความผิดพลาดที่เกิดจากเสียงรบกวนคล็อกและเสียงรบกวนเกาเขียนที่ต่อเนื่อง (เทอมที่สองของสมการ (12d) ที่ค่า $\beta = 1$) อัตราความผิดพลาดนี้แสดงไว้ในรูปที่ 13(ข) เป็นฟังก์ชันของดัชนีโมดเลข β ที่อัตราส่วนระหว่างพลังงานสัญญาณต่อกำลังสเปกตรัมของเสียงรบกวนเท่ากับ 13.4 dB ดัชนีโมดเลขที่อ่อนตมิมซึ่งให้อัตราความผิดพลาดน้อยที่สุดมีค่าประมาณ 0.6 ต่อไปนี้จะอธิบายกลไกของความผิดพลาดที่เกิดจากคล็อกในช่วงเวลาของพัลส์บิต T และผลของมันที่มีต่ออัตราความผิดพลาดโดยส่วนรวมดังแสดงในรูปที่ 12 พัลส์บิตบวกที่ถูกตีโมดเลขแล้วจะคล็อกหลังจากผ่านเครื่องกรองความถี่แบบอินดิเกรทและคัมพัจจะมีขนาด f_c และ $1/T$ ที่ขาออกของเครื่องกรองความถี่ ณ เวลาสัมพันธ์อย่าง ตามลำดับเนื่องจากความสูงของพัลส์บิตบวกที่ผ่านเครื่องกรองความถี่เป็นฟังก์ชันของดัชนีโมดเลข $\beta = \omega_c / \pi/T$ ในกรณีพิเศษที่ค่า $\beta = 2$ นั่นคือ $f_c = 1/T$ ขนาดของสัญญาณดิจิทัลเอฟเอ็มที่ผ่านเครื่องกรองความถี่และขนาดของคล็อกจะมีค่าเท่ากัน ดังนั้น ณ เวลาสัมพันธ์อย่างขนาดของสัญญาณดิจิทัลเอฟเอ็มที่ผ่านเครื่องกรองความถี่มีแนวโน้มว่าจะถูกหักล้างโดยขนาดของคล็อกและเกิดปรากฏการณ์ดังนี้

1. สำหรับ $\beta \geq 2$ เนื่องจากอัตรากาเกิดของคล็อกเป็นฟังก์ชันของ β การเพิ่มดัชนีโมดเลข β ก็เท่ากับการเพิ่มจำนวนคล็อกด้วย ถ้าเราพิจารณาถึงผลของการเกิดคล็อกมากกว่าหนึ่งคล็อกแล้ว ความผิดพลาดที่เกิดขึ้นจะเกิดจากการกระทำร่วมกันของจำนวนคล็อกที่เพิ่มขึ้นและการกระเพื่อมของเสียงรบกวนเกาเขียนพร้อมกัน

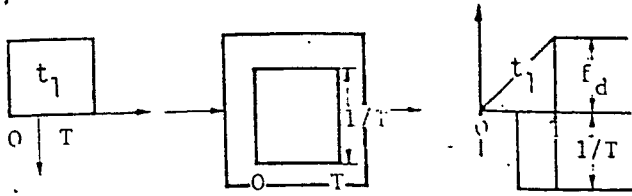
2. ที่ค่าดัชนีโมดเลขต่ำ $\beta < 0.6$ เนื่องจาก $f_c + 1/T$ เป็นฟังก์ชันของ β โอกาสที่คล็อกเกิดในช่วงเวลาของพัลส์บิต T หนึ่งบิตนั้นน้อยมากจนเกือบไม่มีดังนั้นเสียงรบกวนเกาเขียนจึงเป็นตัวสำคัญที่ทำให้เกิดความผิดพลาดขึ้นในย่านที่ $\beta < 0.6$ นี้

3. เมื่อ β มีค่ามากกว่า 0.6 เช่น $\beta = 1$ ขนาดของคล็อกจะมีค่าเป็นสองเท่าของขนาดของสัญญาณ ณ เวลาสัมพันธ์อย่าง ดังนั้นเราสามารถคาดหมายได้ว่า ความผิดพลาดที่เกิดขึ้นนั้นเกิดจากคล็อกเพียงอย่างเดียว

4. สำหรับ β ที่มีค่าใกล้เคียงกับ 0.6 และ 2 ซึ่งเป็นย่านที่มีการเปลี่ยนแปลงคือเปลี่ยนจากความผิดพลาดที่เกิดจากเสียงรบกวนเกาเขียนมาเป็นความผิดพลาดที่เกิดจากคล็อก ในกรณีที่ β มีค่าใกล้เคียงกับ 0.6 และมีผลกลับกันในกรณีที่ β มีค่าใกล้เคียงกับ 2 ระหว่างค่า $\beta = 0.6$ และ $\beta = 2$ นั่นคือ $0.6 < \beta < 2$

ก็คือกรณีในหัวข้อที่สามที่ได้กล่าวแล้ว

ความผิดพลาดที่เกิดในสามย่านนี้คือ $\beta < 0.6$, $0.6 < \beta < 2$ และ $\beta > 2$ สามารถเห็นได้ชัดในรูปที่ 13(ข) ดังนั้นเราสามารถสรุปได้ว่าในการใช้เครื่องรับเอฟเอ็มธรรมดาเป็นเครื่องรับสัญญาณที่ตั้งฉากกัน (orthogonal signal) ในกรณีของเราคือเอฟเอสเค (FSK) การเพิ่มค่า β หรือพนักอีกนัยหนึ่งว่าการเพิ่มแถบความถี่ของเครื่องกรองความถี่กลาง อาจจะไม่จำเป็นต้องเพิ่มวิสัยความสามารถของระบบก็ได้ ทั้งนี้เพราะแถบความถี่ของเครื่องกรองความถี่กลางเพิ่มขึ้นก็จะรับเสียงรบกวนมากขึ้น



รูปที่ 12 กลไกของความผิดพลาดที่เกิดจากคลัส

การเปรียบเทียบการทำงานของระบบ

ในหัวข้อนี้จะเปรียบเทียบพหุคูณบิตความผิดพลาดของระบบดิจิทัลเอฟเอ็มที่ใช้เครื่องดีสครีมีเนเตอร์ในการรับสัญญาณกับระบบเอฟเอสเคไบนารีอื่น

ในการเปรียบเทียบกับระบบเอฟเอสเคไบนารีอื่น เราควรใช้พารามิเตอร์อัตราส่วนพลังงานของสัญญาณในช่วงพัลส์หนึ่งบิต T ต่อความเข้มข้นของกำลังของเสียงรบกวน ฉะนั้นถ้าเราใช้กฎของคาร์สันในการกำหนดแถบความถี่ เราต้องมีแฟคเตอร์การแปลงในการคำนวณอัตราความผิดพลาดในสมการ (120) ดังนี้

$$p = (E/N_0)(1/(p+1)) \quad (121)$$

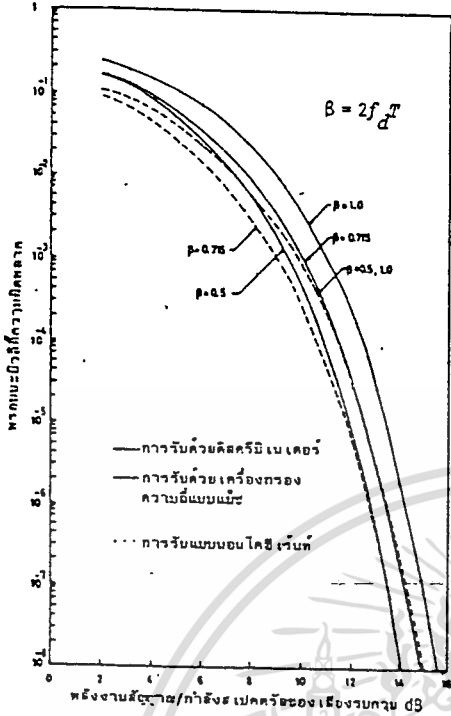
พหุคูณบิตความผิดพลาดในการใช้เครื่องกรองความถี่แบบเม็ชเพื่อรับสัญญาณเอฟเอสเคไบนารีคือ

$$P_e = \frac{1}{2} \operatorname{erfc} \left\{ \sqrt{0.5(E/N_0)(1 - (\sin 2\pi p)/(2\pi p))} \right\} \quad (122)$$

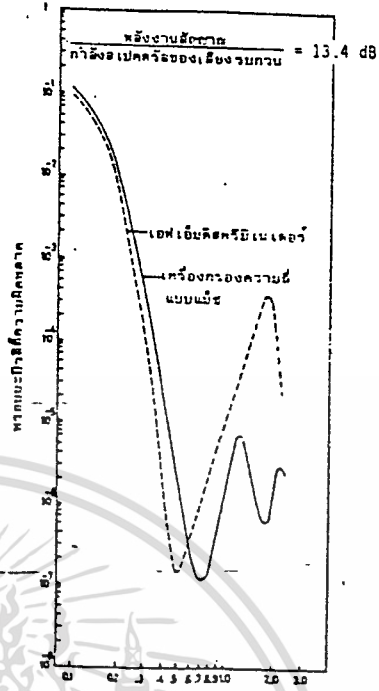
ในที่นี้ค่าอ้อมติ้ม $p = 0.715$ เครื่องกรองความถี่แบบเม็ชจะเป็นเครื่องรับสัญญาณแบบโคฮีเรนต์ (coherent detector) เพราะมีค่าพหุคูณบิตความผิดพลาดต่ำสุด ส่วนพหุคูณบิตความผิดพลาดสำหรับนอนโคฮีเรนต์เอฟเอสเคคือ

$$P_e = \frac{1}{2} \exp\left(-\frac{E}{2N_0}\right) \quad (123)$$

เอกสารนี้เป็นเอกสารที่สงวนไว้สำหรับการใช้งานเพื่อการศึกษาเท่านั้น ไม่อนุญาตให้นำไปใช้ประโยชน์ด้านการค้า
ไม่ว่ากรณีใดๆทั้งสิ้น อีกทั้งห้ามมิให้ดัดแปลงเนื้อหา และต้องอ้างอิงถึงเจ้าของเอกสารทุกครั้งที่มีการนำไปใช้



(ก) การเปรียบเทียบอัตราความผิดพลาดเทียบกับระบบเอ็พเอสเคแบบไบนารี

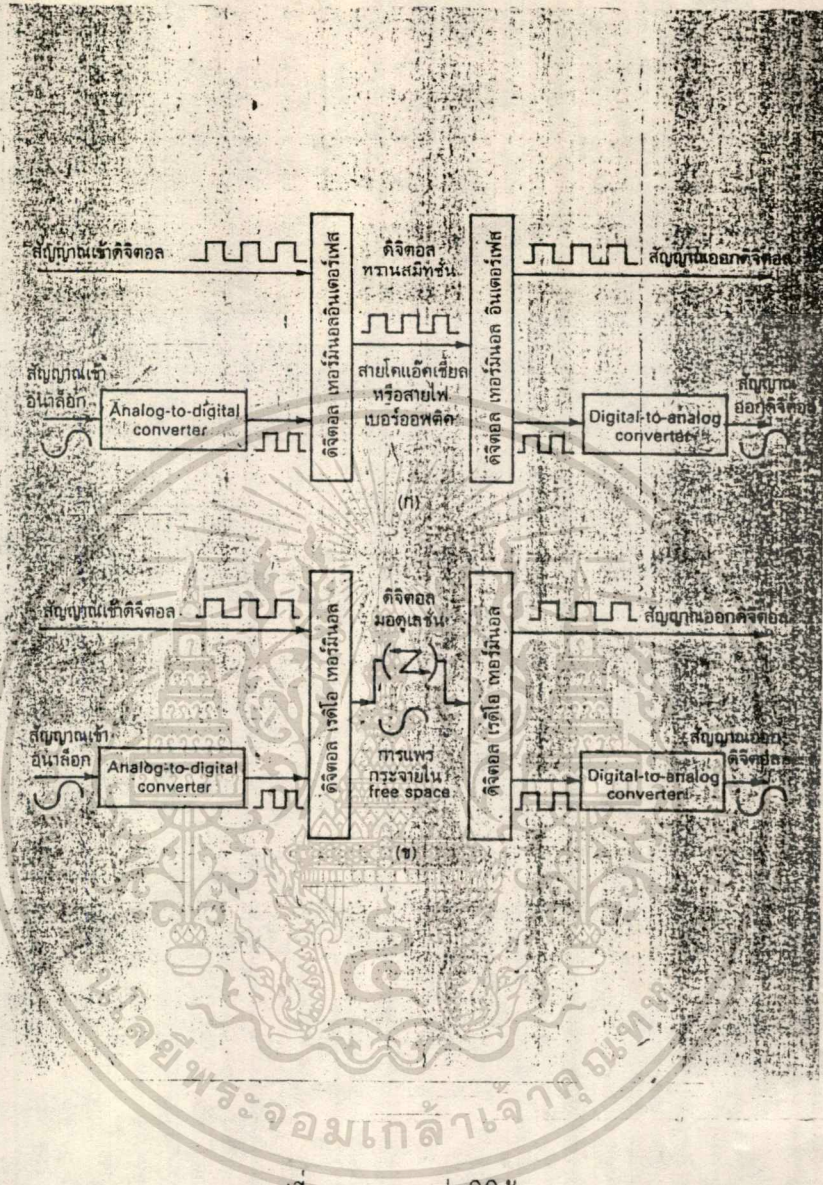


(ข) การเปรียบเทียบเครื่องคิครวมเนเคอร์เอ็พเอสเคและเครื่องกรองความถี่แบบเม็ช

รูปที่ 18

โดยสัญญาณที่จะส่งออกไป (สัญญาณดิจิทัลหรือสัญญาณข่าวสารต่างๆ) จะถูกโมดูเลททางด้านส่งและดีโมดูเลททางด้านรับเพื่อแยกสัญญาณข่าวสารเดิมที่ส่งมาจากสัญญาณพาหุ (carrier signal) เทคนิคการรวมสัญญาณทางดิจิทัล (digital modulation techniques) ที่ถูกนำมาใช้อย่างกว้างขวางคือ

1. แบบเอ็พเอสเค (frequency shift keying: FSK)
2. แบบพีเอสเค (phase shift keying: PSK)
3. แบบคิวเอเอ็ม (quadrature amplitude modulation: QAM)



รูปที่ 14 การส่งดิจิทัล

ตัวกำเนิดสัญญาณเอฟเอสเค (FSK Generator)

ตัวกำเนิดสัญญาณเอฟเอสเคก็คือ ตัวส่งสัญญาณเอฟเอสเค (FSK transmitter) ซึ่งมีหลักการที่ว่าเมื่อข้อมูลที่ เป็นสัญญาณดิจิทัลที่มีลักษณะ เป็นข้อมูล ไบนารีจะทำให้ความถี่เสียงหรือเบี่ยงเบนไปตามการเปลี่ยนแปลงของข้อมูล ไบนารีที่เข้ามา ดังนั้นสัญญาณทางเข้าที่นุทของตัวกำเนิดเอฟเอสเคจะอยู่ในรูป

เอกสารนี้เป็นเอกสารที่สงวนไว้สำหรับการใช้งานเพื่อการศึกษาเท่านั้น ไม่อนุญาตให้นำไปใช้ประโยชน์ด้านการค้า
ไม่ว่ากรณีใดๆทั้งสิ้น อีกทั้งห้ามมิให้ตัดแปลงเนื้อหา และต้องอ้างอิงถึงเจ้าของเอกสารทุกครั้งที่มีการนำไปใช้

ของความถี่ที่มีการเปลี่ยนแปลงอย่างต่อเนื่อง (frequency continuous) เมื่อข้อมูลไบนารีด้านอินพุตเปลี่ยนแปลงจากสถานะลอจิก "1" เป็นลอจิก "0" (หรือในทางกลับกันคือลอจิก "0" เป็นลอจิก "1") สัญญาณเอาต์พุตจากเอฟเอสเคก็จะเลื่อนความถี่ระหว่างสองความถี่ด้วยกัน คือ ความถี่ที่ลอจิก "1" หรือความถี่มาร์ค (mark frequency: f_m) และความถี่ที่ลอจิก "0" หรือความถี่สเปซ (space frequency: f_s)

การเปลี่ยนแปลง (หรือการเลื่อน) ของความถี่แต่ละครั้งจะเกิดขึ้นเมื่อสถานะของลอจิกด้านสัญญาณเข้าเปลี่ยนแปลง นั่นคือ อัตราการเปลี่ยนแปลงของสัญญาณออกจะเท่ากับอัตราการเปลี่ยนแปลงสัญญาณเข้า ซึ่งในดิจิตัลโมด เช่นนี้ อัตราการเปลี่ยนแปลงของสัญญาณด้านอินพุตของเอฟเอสเค เช่น เอฟเอสเค เนอเรเตอร์ (FSK generator) จะเรียกว่า "อัตรารบิต (bit rate)" มีหน่วยเป็นบิตต่อวินาที (bps) ส่วนอัตราการเปลี่ยนแปลงของสัญญาณด้านเอาต์พุตของเอฟเอสเค เนอเรเตอร์ เรียกว่า "อัตรารบอร์ด์ (baud rate)" ดังนั้นในการส่งข้อมูลด้วยเทคนิคเอฟเอสเค อัตรารบิตจะเท่ากับอัตรารบอร์ด์เสมอ

แบนด์วิธในเอฟเอสเค (FSK Bandwidth)

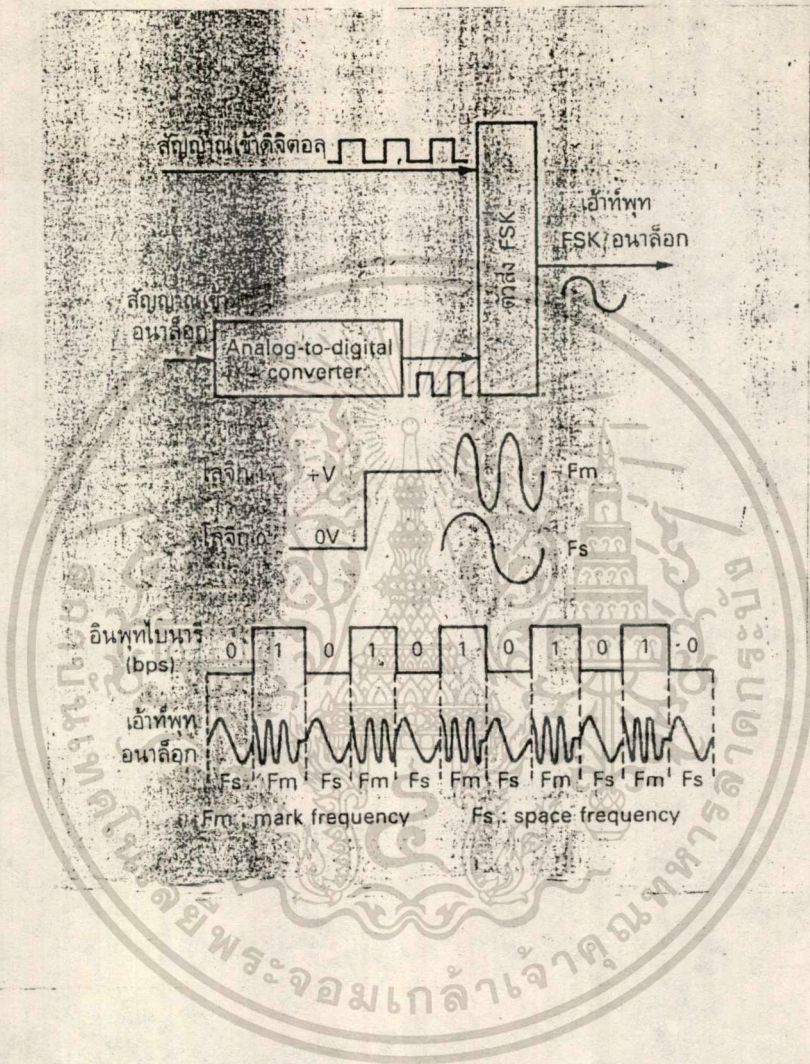
ในระบบการสื่อสารข้อมูลด้วยสัญญาณอะนาล็อกหรือสัญญาณความถี่นั้น แบนด์วิธ (bandwidth) เป็นสิ่งที่ต้องพิจารณาเป็นอันดับแรก เนื่องจากวิธีการของเอฟเอสเคอยู่บนพื้นฐานเดียวกันกับวิธีการของเอฟเอ็ม ดังนั้นการอธิบายถึงสูตรต่างๆที่ใช้หลักการของเอฟเอ็มทุกอย่าง

จากรูปที่ 16 แสดงถึงตัวเอฟเอสเคโมดเลเตอร์ (FSK modulator) ซึ่งใช้หลักการเดียวกับเอฟเอ็มโมดเลเตอร์ (FM modulator) คือใช้หลักการของโวลท์เทจคอนโทรลลออสซิลเลเตอร์ (voltage control oscillator: VCO) จะเห็นว่าอัตราการเปลี่ยนแปลงที่เร็วที่สุดของสัญญาณอินพุตจะเกิดขึ้นเมื่อข้อมูลไบนารีมีลักษณะเป็น "1" และ "0" สลับกัน ซึ่งก็คือ สัญญาณสี่เหลี่ยมตนเอง (square wave) ตามตัวอย่างในรูปที่ 16 เป็นสัญญาณในช่วง T_1

ความถี่หลักของคลื่นสี่เหลี่ยมจะมีค่าเท่ากับครึ่งหนึ่งของอัตรารบิต ดังนั้นถ้าพิจารณาเฉพาะความถี่หลักเพียงอย่างเดียวแล้ว ความถี่สูงสุดของสัญญาณดิจิตัลที่ต้องการนำมาโมดเลทแบบเอฟเอสเคจะเท่ากับครึ่งหนึ่งของอัตรารบิตคือ

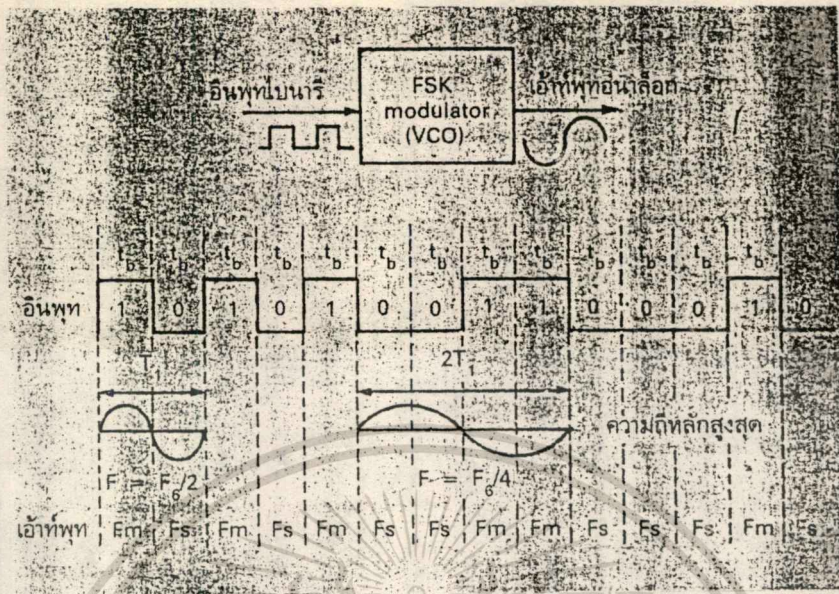
$$(F)_{\max} = \text{Bit Rate} / 2$$

เมื่อ $(F)_{\max}$ คือ ความถี่สูงสุดของสัญญาณดิจิตัลที่จะนำมาโมดเลท ความถี่กลาง (centre frequency: f_c) ของโวลท์เทจคอนโทรลลออสซิลเลเตอร์จะอยู่ในตำแหน่งกลางระหว่างความถี่มาร์ค (mark frequency: f_m) กับความถี่สเปซ (space fre-



รูปที่ 15 หลักการและสัญญาณอินพุต-เอาต์พุตของเอฟเอสเค

เอกสารนี้เป็นเอกสารที่สงวนไว้สำหรับการใช้งานเพื่อการศึกษาเท่านั้น ไม่อนุญาตให้นำไปใช้ประโยชน์ด้านการค้า
ไม่ว่ากรณีใดๆทั้งสิ้น อีกทั้งห้ามมิให้ดัดแปลงเนื้อหา และต้องอ้างอิงถึงเจ้าของเอกสารทุกครั้งที่มีการนำไปใช้



รูปที่ 15 เอฟเอสเคโมดูลเลเตอร์

quency: f_u) ดังรูปที่ 17

ลอจิก "1" ค่าอินพุทจะเลื่อนความถี่ของโวลต์เตจคอนโทรลอสซิลเลเตอร์จาก f_c ไปเป็น f_u จะเห็นว่าการเปลี่ยนแปลงของข้อมูลไบนารีด้านอินพุทจาก "1" ไป "0" หรือ "0" ไป "1" จะทำให้ความถี่เอาต์พุทของโวลต์เตจคอนโทรลอสซิลเลเตอร์เลื่อนหรือเบี่ยงเบนกลับไป-มาระหว่าง f_u กับ f_c เนื่องจากได้กล่าวมาแล้วว่าเอฟเอสเคนั้นก็คือ การโมดูลเลทแบบเอฟเอ็ม ดังนั้นดัชนีการโมดูลเลท (modulation index = MI) ในเอฟเอสเคก็ทำได้จากเอฟเอ็มคือ

$$MI = \Delta F / F_c$$

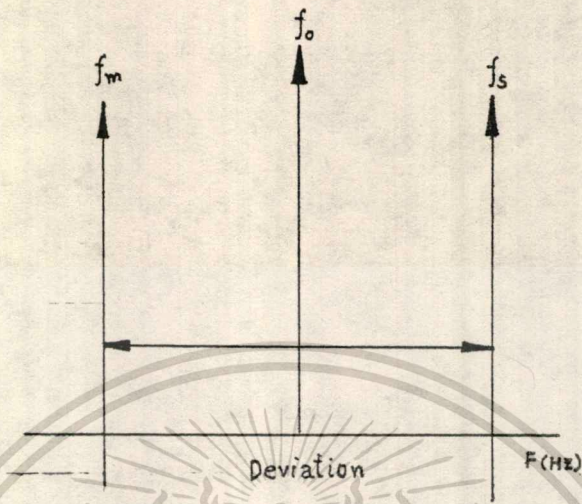
เมื่อ MI คือ ดัชนีการโมดูลเลท

ΔF คือ การเบี่ยงเบนของความถี่ใดๆ จากความถี่กลาง (Hz)

F_c คือ ความถี่ของสัญญาณที่นำมาโมดูลเลท (Hz)

ค่า MI ที่ยอมให้มีได้สูงสุดคือ ค่า MI ที่ทำให้แบนด์วิทกว้างที่สุด ซึ่งจะเกิดขึ้นเมื่อการเบี่ยงเบนของความถี่โมดูลเลทแล้วและความถี่ของสัญญาณที่นำมาโมดูลเลทมีค่าสูงสุด

ในเอฟเอสเคโมดูลเลท ค่า ΔF เป็นการเบี่ยงเบนของความถี่สูงสุด (peak frequency deviation) ของสัญญาณที่ถูกโมดูลเลทแล้วซึ่งมีค่าเท่ากับความแตกต่างระหว่าง f_c กับ f_u หรือ f_c กับ f_l



รูปที่ 17 การเบี่ยงเบนความถี่

ซึ่งก็คือ ครึ่งหนึ่งของความแตกต่างระหว่าง f_s กับ f_m นั่นคือ

$$\Delta F = \frac{f_s - f_m}{2}$$

การเบี่ยงเบนของความถี่สูงสุดขึ้นอยู่กับขนาดหรือแอมพลิจูดของสัญญาณเท่านามาโมเดล (สัญญาณดิจิทัล) เมื่อสถานะทางลอจิกเป็น "1" ก็จะให้แรงดันออกมาค่าหนึ่งคงที่ตามสถานะ (เช่น 5 V) หรือถ้าเป็นลอจิก "0" ก็จะให้แรงดันออกมาคงที่ในระดับลอจิก "0" เช่นกัน (เช่น 0 V) ดังนั้นความถี่ที่เบี่ยงเบนของเอฟเอสเคโมเดลจะเบี่ยงเบนคงที่และอยู่ในระดับการเบี่ยงเบนของความถี่สูงสุดเสมอ

F_m เป็นความถี่หลักของข้อมูลไบนารีด้านอันทซึ่งจะทำให้แบนด์วิทกว้างที่สุดเมื่อ $F_m = \text{Bit Rate}/2$ เท่านั้น เพราะฉะนั้นเราสามารถหาค่า MI ได้จาก

$$MI = \frac{f_s - f_m}{2} / \frac{f_b}{2}$$

$$MI = \frac{f_s - f_m}{f_b}$$

เมื่อ $f_s - f_m$ คือ ความถี่เบี่ยงเบนสูงสุด

เอกสารนี้เป็นเอกสารที่สงวนไว้สำหรับการใช้งานเพื่อการศึกษาเท่านั้น ไม่อนุญาตให้นำไปใช้ประโยชน์ด้านการค้า
ไม่ว่ากรณีใดๆทั้งสิ้น อีกทั้งห้ามมิให้ดัดแปลงเนื้อหา และต้องอ้างอิงถึงเจ้าของเอกสารทุกครั้งที่มีการนำไปใช้

F_{NB} คือ อัตราบิตของไบนารีอินพุท

ในการส่งสัญญาณเอฟเอ็มโดยทั่วๆ ไป ความกว้างของแบนด์วิทจะแปรผันตรงกับค่า M_1 ซึ่งเช่นเดียวกับเอฟเอสเคทค่า M_1 โดยทั่วๆ ไปจะต้องมีค่าต่ำกว่า 1.0 เพื่อให้เป็นเอฟเอ็มแบบแคบ (narrow band FM) ค่าแบนด์วิทที่แคบที่สุดเรียกว่า Minimum Nyquist Bandwidth (F_{NB}) ตัวอย่างเช่น การส่งข้อมูลแบบเอฟเอสเคทความถี่กลาง (f_c) = 7 kHz, ความถี่สเปซ (f_m) = 6 kHz และความถี่มาร์ค (f_{mark}) = 8 kHz ข้อมูลไบนารีอินพุทที่มีอัตราบิต = 2 kHz สามารถหา F_{NB} ได้ดังนี้

$$M_1 = \frac{f_m - f_{\text{mark}}}{F_{\text{NB}}}$$

$$M_1 = \frac{6 \text{ kHz} - 8 \text{ kHz}}{2 \text{ kHz}}$$

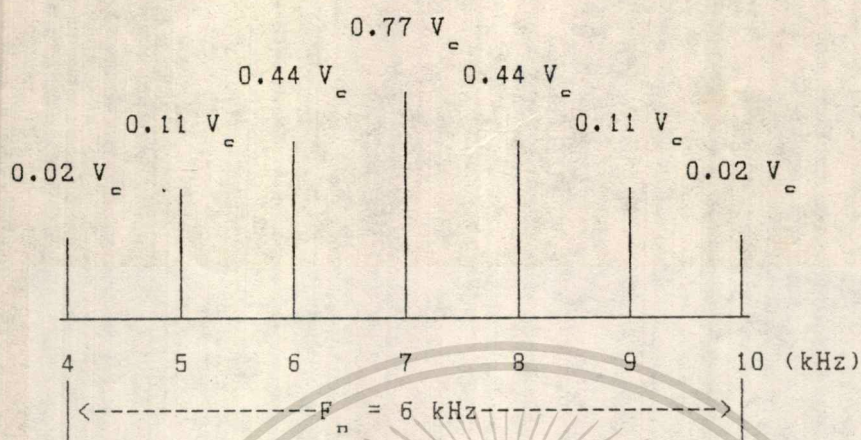
$$M_1 = \frac{2 \text{ kHz}}{2 \text{ kHz}}$$

$$M_1 = 1.0$$

จากตาราง Bessel Function ในตารางที่ 1 เมื่อ $M_1 = 1.0$ จะได้แถบความถี่ข้าง (sideband frequency) ออกมาข้างละสามความถี่ โดยแต่ละความถี่จะห่างจากความถี่กลาง (f_c) ช่วงละ 1 kHz (ซึ่งก็คือ $F_{\text{NB}}/2$ เมื่อ F_{NB} คืออัตราบิต = 2 kHz) สามารถเขียนเป็นสเป็คตรัมความถี่ได้ดังรูปที่ 18

M_1	J_0	J_1	J_2	J_3	J_4
0.0	1.0				
0.25	0.98	0.12			
0.5	0.94	0.24	0.03		
1.0	0.77	0.44	0.11	0.02	
1.5	0.51	0.56	0.23	0.06	0.01
2.0	0.22	0.58	0.35	0.13	0.03

ตารางที่ 1 Bessel Function Table



รูปที่ 18 สเปกตรัมความถี่ของตัวอย่าง
มีข้อน่าสังเกตคือ MI ที่มีค่าอยู่ระหว่าง 0.5 ถึง 1.0 จะทำให้แบนด์วิธมีค่าประมาณสองถึงสาม
เท่าของอัตราบิตเสมอ

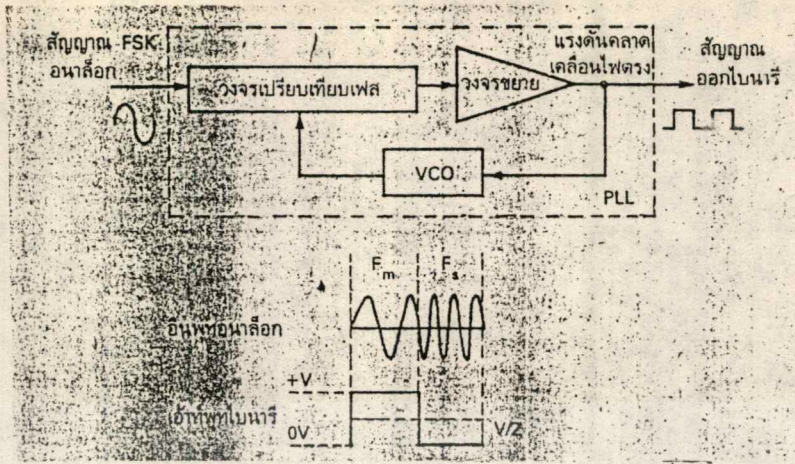
เฟสเดมอดูเลเตอร์ (FSK Demodulator)

เฟสเดมอดูเลเตอร์คือ ตัวรับสัญญาณเฟสเดมอดูเลเตอร์ (FSK Receiver) จะเป็นตัวแยกสัญญาณ
ไบนารีออกจากสัญญาณเฟสเดมอดูเลเตอร์โดยส่วนมากจะใช้วงจรเฟสล็อกกลุ๊ป (phase lock loops: PLL)
ดังรูปที่ 19

เฟสล็อกกลุ๊ปในเฟสเดมอดูเลเตอร์มีหลักการทำงานเหมือนกับเฟสล็อกกลุ๊ปในเฟสเอมดีเทค
เตอร์ (FM detector) ทุกอย่าง คือจะมีความถี่รีเฟรช (free-running frequency) เท่ากับ
ความถี่กลาง (centre frequency: f_c) และในขณะที่ความถี่อินพุทของเฟสล็อกกลุ๊ปเลื่อนไป-มา
ระหว่าง f_1 กับ f_2 จะทำให้เกิดแรงดันคลาดเคลื่อนไฟตรง (DC error voltage) ซึ่งเป็นผลมา
จากการเปรียบเทียบทางเฟส (phase comparator) ของสัญญาณอินพุท เนื่องจากความถี่อินพุทที่
เข้ามายังเฟสล็อกกลุ๊ปมีเพียงสองความถี่คือ f_1 และ f_2 ดังนั้นค่าแรงดันดังกล่าวจึงมีเพียงสองระดับ
เท่านั้นซึ่งสามารถแทนด้วยลอจิก "1" และลอจิก "0" เมื่อความถี่ทางอินพุทเป็น f_1 และ f_2 ตาม
ลำดับ เราจึงได้สัญญาณเอาต์พุทจากเฟสล็อกกลุ๊ปกลับมาเป็นข้อมูลไบนารีเหมือนกับตอนแรกที่ส่งมาทุก
ประการ

แนวทางการออกแบบเฟสเดมอดูเลเตอร์เพื่อใช้งาน

หลังจากที่ได้ทราบถึงหลักการและรายละเอียดของการรับ-ส่งข้อมูลด้วยเฟสเดมอดูเลเตอร์
แล้ว ก็มาพูดถึงการนำไปใช้งานในทางปฏิบัติซึ่งก็คือ เราจะออกแบบวงจรเฟสเดมอดูเลเตอร์ได้อย่างไร เมื่อ



รูปที่ 19 เฟสล็อกกลูป-เอฟเอสเคดีโมเดเลเตอร์

ก่อนการออกแบบวงจรเอฟเอสเคจะใช้อุปกรณ์ประเภททรานซิสเตอร์ และอุปกรณ์พาสซีฟต่างๆ มาต่อเป็นวงจรเอฟเอสเคทั้งด้านรับและส่ง แต่เนื่องจากปัจจุบันเทคโนโลยีด้านไอซี (integrate circuit) ได้พัฒนาไปมากทำให้สามารถรวมวงจรต่างๆ เข้าด้วยกันบรรจุภายในชิปเล็กๆ เช่น ไอซี, ออปแอมป์, ไอซีเฟสล็อกกลูป เป็นต้น

การออกแบบเอฟเอสเคเซนเซอร์ (FSK Generator)

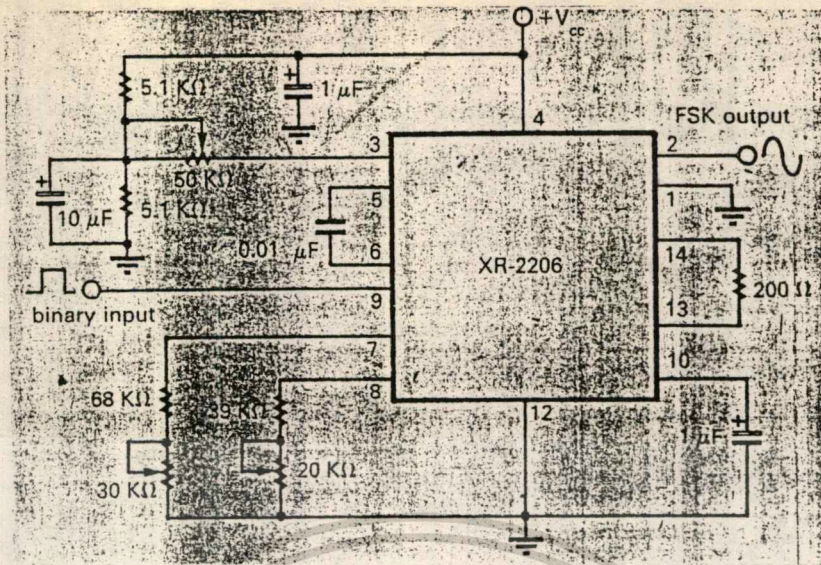
ในการออกแบบเอฟเอสเคเซนเซอร์ได้นำเอาไอซีเบอร์ XR-2206 ซึ่งเป็นโมโนลิธิคฟังก์ชันเซนเซอร์ (monolithic function generator) กำเนิดรูปคลื่นเข้าที่พหุได้ทั้งคลื่นไซน์ (sine wave), คลื่นสามเหลี่ยม (triangle wave), คลื่นสี่เหลี่ยม (square wave) หรือแรมพ์ (Ramp) โดยมีย่านความถี่ตั้งแต่ 0.01 Hz ถึง 1.0 MHz

ในกรณีนี้เราจะใช้ XR-2206 เป็นตัวกำเนิดคลื่นรูปไซน์ในลักษณะเอฟเอสเคเซนเซอร์ โดยใช้โหม้มิ่ง, รีซิสเตอร์ R_1 และ R_2 ที่ต่อระหว่างขาเจ็ดและขาแปดกับกราวด์ (ground) ตามลำดับ โดยที่สัญญาณดิจิทัล (หรือ keying signal) ที่ข้อมาข้างขาเก้าของไอซี เป็นตัวกำหนดสัญญาณทางเข้าที่พหุ (ขาสอง) ถ้าขาเก้าอยู่ในสถานะวงจรเปิดหรือมี $V_{in} \geq 2V$ แล้ว R_1 จะเป็นตัวกำหนดโหม้มิ่งร่วมกับตัวเก็บประจุ (capacitor) ที่ต่อคร่อมระหว่างขาห้ากับขาหก (หรือในทำนองกลับกัน ถ้าขาเก้ามี $V_{in} < 1V$ แล้ว R_2 จะเป็นตัวกำหนดโหม้มิ่งร่วมกับตัวเก็บประจุระหว่างขาห้ากับขาหกเช่นเดียวกัน) จึงทำให้ความถี่เข้าที่พหุจะอยู่ในช่วงระหว่าง f_m กับ f_u โดยทั้ง f_m และ f_u จะอิสระต่อกันและสามารถเปลี่ยนแปลงความถี่ได้โดยการเลือกค่า R_1 หรือ R_2 ตามสมการข้างล่าง

$$f_m = 1 / R_1 C$$

$$f_u = 1 / R_2 C$$

เอกสารนี้เป็นเอกสารที่สงวนไว้สำหรับการใช้งานเพื่อการศึกษาเท่านั้น ไม่อนุญาตให้นำไปใช้ประโยชน์ด้านการค้า ไม่ว่าจะกรณีใดๆทั้งสิ้น อีกทั้งห้ามมิให้คัดแปลงเนื้อหา และต้องอ้างอิงถึงเจ้าของเอกสารทุกครั้งที่มีการนำไปใช้



รูปที่ 20 วงจรเอฟเอสเคโมเดเลเตอร์

เนื่องจากเราต้องสามารถปรับความถี่ได้อิสระ ดังนั้นจึงใช้โพเทนชิโอมิเตอร์ 30 kΩm ต่ออนุกรมกับค่าความต้านทาน 68 kΩm ระหว่างขาเจ็ดกับกราวด์ และสามารถหา R_2 ได้จากสมการเดียวกัน

$$R_2 = 1 / f C$$

$$= 1 / 2200 * 0.01 * 10^{-5}$$

$$= 45.45 \text{ k}\Omega\text{m}$$

ใช้โพเทนชิโอมิเตอร์ 20 kΩm อนุกรมกับค่าความต้านทาน 39 kΩm ต่อระหว่างขาแปดกับกราวด์ วงจรจะเป็นดังรูปที่ 20

การปรับแต่งระดับเอ้าท์พุทไฟตรง

ระดับแรงดันไฟตรงที่ขาเอ้าท์พุท (ขาสอง) จะมีค่าโดยประมาณเท่ากับแรงดันไบอัสที่ขาสาม จากวงจรจะเห็นว่าแรงดันที่ขาสามจะได้รับการแบ่งแรงดันระหว่างค่าความต้านทาน 5.1 kΩm สองตัวกับแรงดันไฟเลี้ยงประมาณ 6 V เมื่อแรงดันไฟเลี้ยงในวงจรเป็น +12 V และสามารถปรับโดยโพเทนชิโอมิเตอร์ 50 kΩm ที่อนุกรมที่ขาสาม ดังนั้นการปรับที่ขาสามก็เป็นการปรับระดับของสัญญาณเอ้าท์พุทขาสองให้อยู่ในระดับที่ต้องการส่ง

การปรับการบิดเบี้ยวรูปคลื่นของสัญญาณเอ้าท์พุท

ขาสิบสามและสิบสี่มีไว้สำหรับปรับแต่งรูปคลื่นเพื่อปรับการบิดเบี้ยว (distortion) ของรูป

ตัวเก็บประจุระหว่างขาหัวกับขาทกจะอยู่ในช่วง $1,000 \text{ pF} - 100 \text{ uF}$
 ตัวต้านทาน R_1 และ R_2 จะอยู่ในช่วง $4 \text{ kOhm} - 200 \text{ kOhm}$

ในการออกแบบค่านั่งนั้นเราจำเป็นต้องกำหนดค่า f_m และ f_s ก่อน ซึ่งจะกำหนดเองก็ได้ แต่ในทางปฏิบัติจริงแล้วบางครั้งการกำหนด f_m และ f_s เองนั้นมักจะเป็นปัญหาในเรื่องความถี่ฮาร์โมนิก (harmonic frequency) และการกำหนด f_m และ f_s นั้นจะเกี่ยวข้องไปถึงอัตราแบนด์ (band rate) ในการรับ-ส่งด้วย ดังนั้นจึงมีการกำหนด f_m และ f_s ซึ่งเรียกว่าเอฟเอสเคแบนด์ (FSK band) และจะแตกต่างกันตามอัตราแบนด์ดังตารางที่ 2

75 Band	$f_m = 1110 \text{ Hz}$
	$f_s = 1170 \text{ Hz}$
300 Band	$f_m = 1070 \text{ Hz}$
	$f_s = 1270 \text{ Hz}$
1200 Band	$f_m = 1200 \text{ Hz}$
	$f_s = 2200 \text{ Hz}$

ตารางที่ 2 เอฟเอสเคแบนด์

ที่นี้เรามาดูการออกแบบเอฟเอสเคค่านั่งที่ความเร็วของข้อมูล $1,200 \text{ Band}$, $f_m = 1,200 \text{ Hz}$, $f_s = 2,200 \text{ Hz}$ เมื่อทราบค่า f_m และ f_s ก็สามารถหาค่าความต้านทาน R_1 และ R_2 ได้โดยกำหนดให้ตัวเก็บประจุระหว่างขาสี่กับขาหัวเป็น 0.01 F (ยังอยู่ในช่วงที่กำหนด)

จากสมการ

$$f_m = 1 / R_1 C$$

ดังนั้น

$$\begin{aligned} R_1 &= 1 / f_m C \\ &= 1 / 1200 * 0.01 * 10^{-6} \\ &= 83.3 \text{ kOhm} \end{aligned}$$

เอกสารนี้เป็นเอกสารที่สงวนไว้สำหรับการใช้งานเพื่อการศึกษาเท่านั้น ไม่อนุญาตให้นำไปใช้ประโยชน์ด้านการค้า
 ไม่ว่าจะวิธีใดๆทั้งสิ้น อีกทั้งห้ามมิให้ดัดแปลงเนื้อหา และต้องอ้างอิงถึงเจ้าของเอกสารทุกครั้งที่มีการนำไปใช้

ร่างสัญญาอันเนื่องมาจากความผิดเพี้ยนอาร์โมนิค โดยการต่อค่าความต้านทานเข้าไประหว่างขา ลิบสามและลิบสี่ แต่ในคู่มือ XR-2206 แนะนำให้ใช้ค่า 200 Ohm โดยไม่มีการปรับแต่งแต่อย่างใด

พิจารณาค่าแบนด์วิท

ในการหาค่าแบนด์วิทที่แคบที่สุดจำเป็นต้องรู้ค่า f_u , f_l และอัตราบิตจากตัวอย่างที่ความเร็ว 1,200 Band เราหา F_n ได้ดังนี้

จาก $MI = \Delta F / F_u$

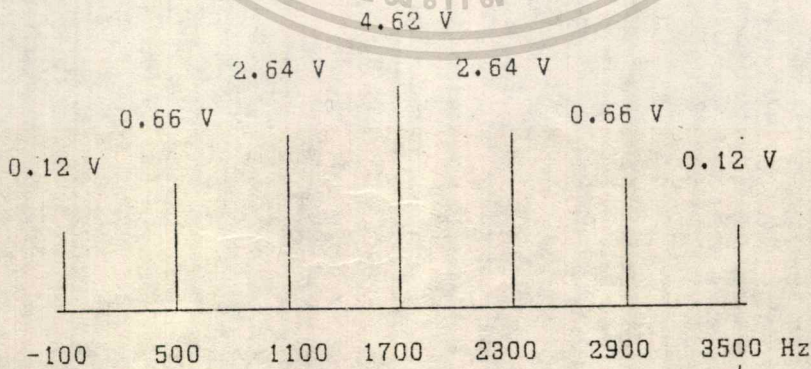
เมื่อ $\Delta F = |f_u - f_l|$
 $= |1200 - 2200|$

$\Delta F = 1000 \text{ Hz}$

$F_u = \text{Bit Rate} = \text{Band Rate}$
 $= 1200 \text{ bps.}$

$MI = \frac{1,000 \text{ Hz}}{1,200 \text{ Hz}} = 0.83$

จากตาราง Bessel Function นั้นค่า $MI = 0.83$ ไม่มีจึงประมาณเป็น 1.0 ซึ่งจะได้ความถี่ไซด์แบนด์ออกมาข้างละสามความถี่ โดยแต่ละช่วงจะห่างกันเท่ากับ อัตราบิต/2 คือ 600 Hz จากสเป็คตรัมความถี่เอาท์พุทจะได้ $F_n = 3,600 \text{ Hz}$ และมีลักษณะดังรูปที่ 21



รูปที่ 21 สเป็คตรัมความถี่ ณ ความเร็ว 1200 Band

เอกสารนี้เป็นเอกสารที่สงวนไว้สำหรับการใช้งานเพื่อการศึกษาเท่านั้น ไม่อนุญาตให้นำไปใช้ประโยชน์ด้านการค้า ไม่ว่าจะกรณีใดๆทั้งสิ้น อีกทั้งห้ามมิให้คัดแปลงเนื้อหา และต้องอ้างอิงถึงเจ้าของเอกสารทุกครั้งที่มีการนำไปใช้

จะเห็นว่าด้านโลว์เวอร์ไซด์แบนด์ (lower sideband: LSB) ค่าความถี่ที่ติดลบเป็นไปไม่ได้ แต่เกิดขึ้นเพราะเราประมาณค่า MI เป็น 1.0 จะได้แบนด์วิทประมาณสามเท่าของอัตราแบนด์ แต่จริงๆ แล้ว MI เป็น 0.88 ดังนั้นแบนด์วิทจริงๆ ไม่ถึงสามเท่าของอัตราแบนด์ ซึ่งก็จะมีค่าความถี่ -100Hz ให้ปรากฏแต่อย่างใด

พีเอสเค

เราได้กล่าวแล้วว่า ารคลื่นของเฟสชิฟคีย์อิง (phase shift keying: PSK) จะเปลี่ยนเฟสเป็น 0° เมื่อสัญญาณดิจิทัลเป็น "1" และเปลี่ยนเฟสเป็น 180° เมื่อสัญญาณดิจิทัลเป็น "0" เราสามารถเขียนสัญญาณพีเอสเคชนิดสองเฟส (2-PSK) ได้ดังนี้

$$S_1(t) = A \cos \omega_c t, \quad S_2(t) = -A \cos \omega_c t \quad (124)$$

สัญญาณพีเอสเคผ่านเครื่องรับคอร์ริเลชันดังรูปที่ 4 ซึ่งมีสัญญาณอ้างอิงท้องถิ่น (local reference signal) $S_1(t) - S_2(t) = 2A \cos \omega_c t$ ที่ซึ่งโคโรไนซ์เชิงเฟสและความถี่กับสัญญาณขาเข้า พีเอสเค สัญญาณที่ขาออกของเครื่องรับ ณ เวลา $t = kT$ จะได้

$$S_{o1}(kT) = \int_{(k-1)T}^{kT} S_1(t) [S_1(t) - S_2(t)] dt = A^2 T \quad (125)$$

$$S_{o2}(kT) = \int_{(k-1)T}^{kT} S_2(t) [S_1(t) - S_2(t)] dt = -A^2 T$$

เทรสวิโอลต์ออฟติมิสมจะตั้งที่ $V_o = 0$ ซึ่งไม่ขึ้นกับกำลังของคัวพาที่ขาเข้าของเครื่องรับ พรอบบะบิวลิตีความผิดพลาดของเครื่องกรองความถี่แบบออฟติมิสม P_o ตามสมการ (38) จะได้

$$P_o = \frac{1}{2} \operatorname{erfc} \left\{ \frac{1}{8} \left[\frac{(p_o)^2(T)}{(o_o)^2} \right]^{1/2} \right\}_{\max}$$

ในที่นี้

$$\left[\frac{(p_o)^2(T)}{(o_o)^2} \right]_{\max} = \frac{2}{n} \int_0^T (2A \cos \omega_c t)^2 dt = \frac{4A^2 T}{n}$$

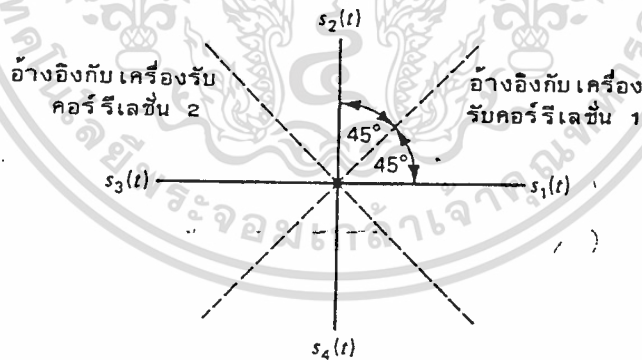
นั่นคือ

เอกสารนี้เป็นเอกสารที่สงวนไว้สำหรับการใช้งานเพื่อการศึกษาเท่านั้น ไม่อนุญาตให้นำไปใช้ประโยชน์ด้านการค้า ไม่ว่าจะกรณีใดๆทั้งสิ้น อีกทั้งห้ามมิให้ดัดแปลงเนื้อหา และต้องอ้างอิงถึงเจ้าของเอกสารทุกครั้งที่มีการนำไปใช้

$$P = \frac{1}{2} \operatorname{erfc}(\sqrt{[A^2 T / 2n]}) \quad (126)$$

ในการเปรียบเทียบรบบบิวัตติความผิดพลาดของโคอีเร้นท์พีเอสเค (สมการ (126)) กับ โคอีเร้นท์เอเอสเค (สมการ (45)) จะเห็นได้ว่าที่ค่ารบบบิวัตติความผิดพลาดเท่ากัน กำลังเฉลี่ยของสัญญาณของเอเอสเคจะต้องใช้มากกว่ากำลังเฉลี่ยของสัญญาณพีเอสเคถึงสองเท่า นั่นคือ โคอีเร้นท์พีเอสเคได้เปรียบกว่าโคอีเร้นท์เอเอสเค 3 dB

เรามักใช้สัญญาณพีเอสเคในการสื่อสารข้อมูลที่อัตราความเร็วของบิตสูง ทั้งนี้เพราะพีเอสเค มีค่ารบบบิวัตติความผิดพลาดต่ำและต้องการแถบความถี่ประมาณสองเท่าของอัตราความเร็วของบิต ($B = 2r_b$) พีเอสเคใช้เป็นวิธีการโมเด็มในโมเด็ม (modem) ที่มีความเร็วสูงตามข้อกำหนดรายละเอียดของ CCITT V.26 แต่เช่นพีเอสเคชนิดสี่เฟสซึ่งมีทั้ง Alternative A และ Alternative B ตามรูปที่ 22 แสดงรายละเอียดการจัดเฟสดังนี้



รูปที่ 22 พีเอสเคชนิดสี่เฟส

เอกสารนี้เป็นเอกสารที่สงวนไว้สำหรับการใช้งานเพื่อการศึกษาเท่านั้น ไม่อนุญาตให้นำไปใช้ประโยชน์ด้านการค้า ไม่ว่ากรณีใดๆทั้งสิ้น อีกทั้งห้ามมิให้ดัดแปลงเนื้อหา และต้องอ้างอิงถึงเจ้าของเอกสารทุกครั้งที่มีการนำไปใช้

สัญญาณพีเอสเคชนิด M เฟส นั้นสามารถเขียนได้ดังนี้

$$S_k(t) = A \cos(\omega_c t + k2\pi/M) \quad (127)$$

$$k = 0, 1, \dots, M-1, 0 \leq t \leq T$$

สำหรับกรณีพีเอสเคชนิดสี่เฟส Alternative A มุม θ มีค่าใดค่าหนึ่งจาก $0^\circ, 90^\circ, 180^\circ$ และ 270°

ส่วนพีเอสเคชนิดสี่เฟส Alternative B มุม θ มีค่าใดค่าหนึ่งจาก $45^\circ, 135^\circ, 225^\circ$ และ 315°

ส่วนประกอบของสัญญาณพีเอสเคชนิด M เฟส สามารถแตกให้อยู่ในรูปของควอดราเจอร์ได้ดังนี้

$$S(t) = A \sum_{k=-\infty}^{\infty} g(t-kT) \cos(\omega_c t + \phi_k)$$

$$= A \cos \omega_c t \sum_{k=-\infty}^{\infty} (\cos \phi_k) g(t-kT)$$

$$- A \sin \omega_c t \sum_{k=-\infty}^{\infty} (\sin \phi_k) g(t-kT) \quad (128)$$

ในที่นี้ $g(t)$ คือพัลส์สี่เหลี่ยมที่มีขนาดเท่ากับหนึ่งและมีช่วงเวลาเท่ากับ T และเฟส ϕ_k จะแสดงข่าวสารดิจิทัลอยู่

ในกรณีของสี่เฟสพีเอสเค (4 ϕ PSK) เราสามารถเขียนสมการ (128) ได้ดังนี้

$$S_1(t) = A \cos \omega_c t$$

$$S_2(t) = -A \sin \omega_c t$$

$$S_3(t) = -A \cos \omega_c t \quad \text{สำหรับ } 0 \leq t \leq T \quad (129)$$

$$S_4(t) = A \sin \omega_c t$$

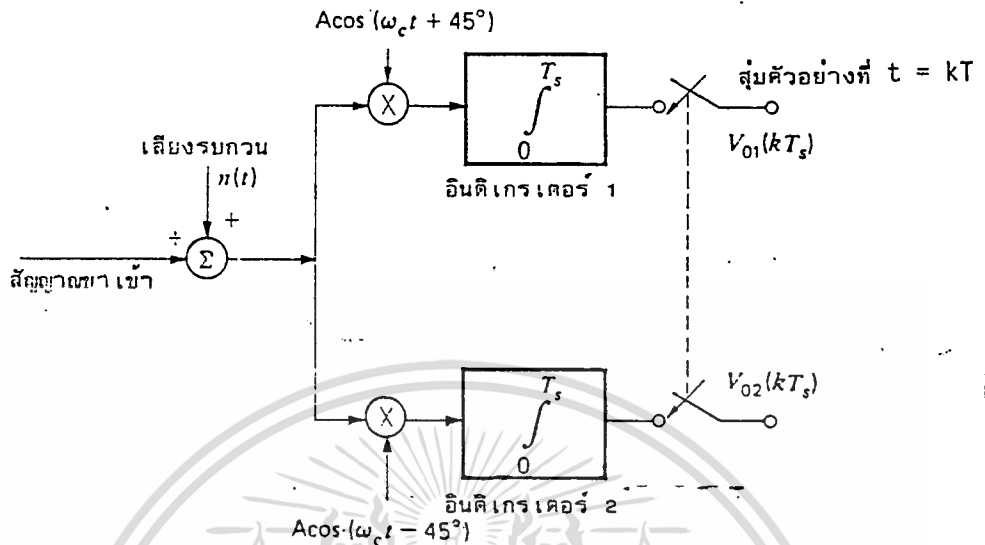
สมการ (129) เทียบกับสมการ (127) รูปคลื่นพีเอสเคชนิดสี่เฟสมีเฟสที่เท่ากับ $0^\circ, 90^\circ, 180^\circ$ และ 270° เนื่องจากสัญญาณพีเอสเคชนิดสี่เฟสมีเฟสตั้งฉากกับเส้นแบ่งอาณาเขตการตัดสินใจ จึงเป็นเส้นที่แยงมุม $45^\circ, 135^\circ$ ดังรูปที่ 22 เครื่องรับสัญญาณพีเอสเคชนิดสี่เฟสจึงประกอบด้วยเครื่องคอร์รีเลชันสองชุด โดยมีสัญญาณอ้างอิงท้องถิ่น $A \cos(\omega_c t + 45^\circ)$ และ $A \cos(\omega_c t - 45^\circ)$ ที่ได้กำเนิดจากสัญญาณท้องถิ่น $A \cos \omega_c t$ ดังรูปที่ 23

สมมติว่าในขณะที่ไม่มีเสียงรบกวน เราได้รับสัญญาณ $S_1(t)$ ในช่วงเวลาของสัญญาณ $(0, T)$ สัญญาณขาออกที่เครื่องคอร์รีเลเตอร์หนึ่งและสองจะได้

$$S_{o_1}(T) = \int_0^T (A \cos \omega_c t) A \cos(\omega_c t + (\pi/4)) dt$$

$$= \frac{A^2}{2} T \cos \frac{\pi}{4} = V_o$$

เอกสารนี้เป็นเอกสารที่สงวนไว้สำหรับการใช้งานเพื่อการศึกษาเท่านั้น ไม่อนุญาตให้นำไปใช้ประโยชน์ด้านการค้า
ไม่ว่ากรณีใดๆทั้งสิ้น อีกทั้งห้ามมิให้ดัดแปลงเนื้อหา และต้องอ้างอิงถึงเจ้าของเอกสารทุกครั้งที่มีการนำไปใช้



รูปที่ 23 เครื่องรับคอร์ริเลชันสำหรับสัญญาณพีเอสเคชดีเอสเฟส

และ

$$S_{o2}(T) = \int_0^T (A \cos \omega_c t) A \cos(\omega_c t - (\pi/4)) dt$$

$$= \frac{A^2 T}{2} \cos \frac{\pi}{4} = V_o$$

ตารางที่ 3 แสดงสัญญาณขาออก $S_{o1}(t)$ และ $S_{o2}(t)$ ที่ตรงกับสัญญาณขาเข้าแต่ละสัญญาณ $S_1(t)$, $S_2(t)$, $S_3(t)$ และ $S_4(t)$

สัญญาณขาออก	สัญญาณขาเข้า			
	$S_1(t)$	$S_2(t)$	$S_3(t)$	$S_4(t)$
$S_{o1}(T)$	$+V_o$	$-V_o$	$-V_o$	V_o
$S_{o2}(T)$	$+V_o$	V_o	$-V_o$	$-V_o$

ตารางที่ 3 ระดับของสัญญาณที่ขาออก ณ เวลาสุ่มตัวอย่าง

ระดับของสัญญาณขาออกในตารางที่ 3 แสดงให้เห็นว่า เราสามารถรู้สัญญาณที่ส่งได้โดยพิจารณาจากช่วงของสัญญาณขาออกที่เครื่องคอร์รีเลเตอร์ทั้งสอง (ในกรณีที่ตั้งเทรลโวลต์ไว้ที่ระดับเท่ากับศูนย์) ฉะนั้นพรอบบะบิวลิตีความผิดพลาดของพีเอสเคชนิดสี่เฟสจึงสามารถคำนวณได้จากค่าพรอบบะบิวลิตีความผิดพลาดของพีเอสเคชนิดสองเฟสได้ ดังนั้นสมมติว่าในขณะที่มีเสียงรบกวนเก๊า เชื้อนที่ขาเข้าของเครื่องคอร์รีเลเตอร์ ที่ขาออกของเครื่องคอร์รีเลเตอร์หนึ่งและสอง เสียงรบกวนเก๊า เชื้อนขาออกจะได้

$$N_{o1}(T) = \int_0^T n(t) A \cos(\omega_c t + 45^\circ) dt$$

และ

$$N_{o2}(T) = \int_0^T n(t) A \cos(\omega_c t - 45^\circ) dt$$

ในกรณีที่เสียงรบกวนเก๊า เชื้อนที่เครื่องคอร์รีเลเตอร์หนึ่งและสองมีค่าสถิติเป็นอิสระต่อกัน เสียงรบกวนเก๊า เชื้อนขาออกสามารถคำนวณได้ว่ามีกำลังของเสียงรบกวนเท่ากับ

$$N_o = \frac{n A^2 T}{4} \quad (130)$$

ในที่นี้ n คือความเข้มข้นสเปกตรัลของกำลังของเสียงรบกวนเก๊า เชื้อนที่ขาเข้า พรอบบะบิวลิตีความผิดพลาดของเครื่องคอร์รีเลเตอร์หนึ่งหรือสองจากสมการ (126) จะได้

$$\begin{aligned} P_{e1} = P_{e2} = P'_e &= P(n_{o1}(T) < -V_o) \\ &= P(n_{o1}(T) > V_o) \\ &= \frac{1}{2} \operatorname{erfc}\left(\frac{V_o}{\sqrt{N_o}}\right) = \frac{1}{2} \operatorname{erfc}\left(\sqrt{A^2 T / 2n}\right) \end{aligned}$$

พรอบบะบิวลิตี P_e ที่ทั้งเครื่องคอร์รีเลเตอร์หนึ่งและสองให้ผลของการรับสัญญาณถูกต้องคือ

$$\begin{aligned} P_e &= (1 - P'_e) (1 - P'_e) \\ &= 1 - 2P'_e + (P'_e)^2 \end{aligned} \quad (131)$$

ในกรณีปกติ $P'_e \ll 1$ เทอมสุดท้ายในสมการ (131) มีค่าน้อยมากจนตัดทิ้งได้ ฉะนั้นพรอบบะบิวลิตีความผิดพลาดของพีเอสเคชนิดสี่เฟสจะได้

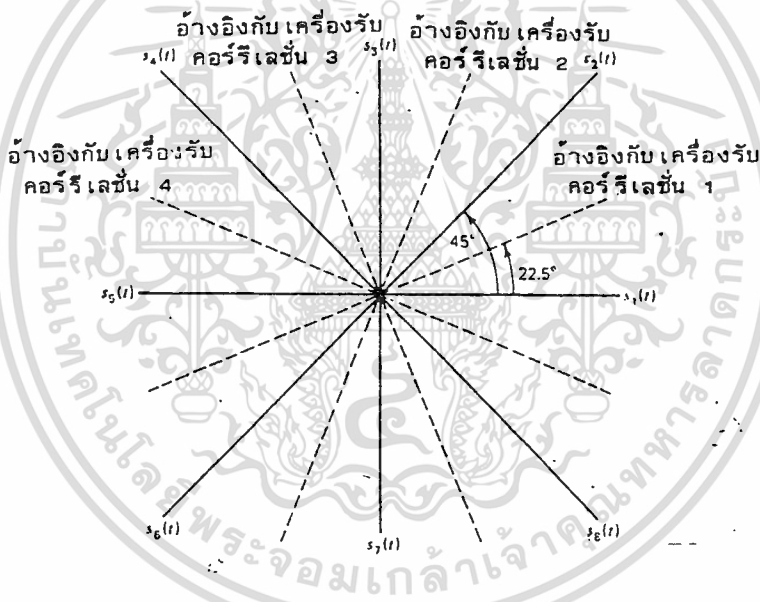
$$P_e = 1 - P_e = 2P'_e = \operatorname{erfc}\left(\sqrt{A^2 T / 2n}\right) \quad (132)$$

เทียบสมการ (132) กับ (126) จะเห็นได้ว่าพหุคูณของบิตที่ความผิดพลาดของบีเอสเคชนิดสี่เฟสมีค่าเป็นสองเท่าของพหุคูณของบิตที่ความผิดพลาดของบีเอสเคชนิดสองเฟส แต่บีเอสเคชนิดสี่เฟสมีอัตราความเร็วในการส่งข้อมูล (data transmission rate) สูงกว่าบีเอสเคชนิดสองเฟสสองเท่าโดยไม่ต้องเพิ่มแถบความถี่หรือกำลังส่งต่อหนึ่งบิต

สำหรับบีเอสเคชนิด M เฟสนั้นถ้าเฟสของสัญญาณแต่ละๆ เปลี่ยนไปมากกว่า π/M เรเดียนก็จะเกิดความผิดพลาดขึ้น (ตรงกับ 24) ฉะนั้นพหุคูณของบิตที่ความผิดพลาด P_e ของบีเอสเคชนิด M เฟสก็คือ พหุคูณของบิตที่เฟสของสัญญาณแต่ละๆ เปลี่ยนไปมากกว่า π/M เรเดียนนั่นเอง ถ้าเราทราบพหุคูณของบิตที่เดซิเบิ้ลฟังก์ชันของเฟส $p_n(\theta)$ เราสามารถหาพหุคูณของบิตที่ความผิดพลาดได้ดังนี้

$$P_e = 1 - \int_{-\pi/M}^{\pi/M} p_n(\theta) d\theta \quad (133)$$

ในที่นี้ $M = 2^k$ และ k คือจำนวนบิตที่แทนหนึ่งสัญลักษณ์ (symbol)



รูปที่ 24 การจัดสัญญาณบีเอสเคชนิด M เฟส ($M = 8$)

คาห์น (Cahn) เป็นคนแรกที่คำนวณหา PDF $p_n(\theta)$ ได้ เมื่อแทน $p_n(\theta)$ จะได้พหุคูณของบิตที่ความผิดพลาดของสัญลักษณ์ (symbol error rate) ดังนี้

$$P_e = 1 - \frac{1}{2\pi} \int_{-\pi/M}^{\pi/M} e^{-\eta \cos \theta} [1 + (\sqrt{4\pi\eta}) \text{cosec} \theta] d\theta$$

$$\int_{-\infty}^{\infty} \frac{1}{\sqrt{2\pi}} e^{-x^2/2} dx = 1 \quad (134)$$

ในที่นี้ γ คืออัตราส่วนของกำลังของสัญญาณต่อกำลังของเสียงรบกวน (SNR) ที่ขาเข้าของเครื่องรับ

$$\gamma = S / N$$

สมมติว่าเราใช้เครื่องกรองความถี่แบบแคบ

$$\gamma = \frac{S}{N} = \frac{E}{V} \quad (135)$$

ในที่นี้ E คือพลังงานของสัญญาณที่ได้รับในแต่ละสัญลักษณ์ของ M เฟส รูปที่ 25 แสดงพหุคูณบิตลิทความผิดพลาดของสัญลักษณ์ P_b ซึ่งเป็นฟังก์ชันของ SNR เทียบกับหนึ่งบิตข้อมูลดังนี้

$$P_b = \frac{\gamma}{k} = \frac{\gamma}{\log_2 M} \quad (136)$$

หรือในกรณีของเครื่องกรองความถี่แบบแคบ

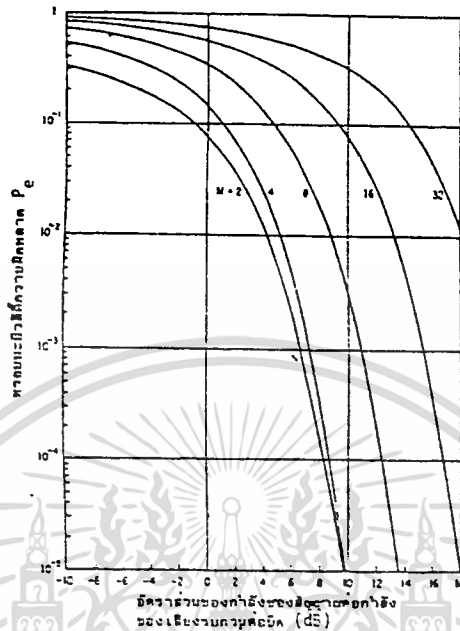
$$P_b = \frac{E_b}{n} = \frac{1}{k} \frac{E}{n} = \frac{1}{\log_2 M} \frac{E}{n} \quad (137)$$

สำหรับ $\gamma \gg 1$ และ $M \gg 2$ สมการ (134) สามารถแทนได้ดังนี้

$$P_b = \text{erfc}(\sqrt{2A^2 T / 2nJ}) \sin^2(\pi/M) \quad (138)$$

รูปที่ 25 แสดงให้เห็นว่า ถ้าเราให้ค่าพหุคูณบิตลิทความผิดพลาดของสัญลักษณ์คงที่ และสมมติว่าเอ็มพีเอเค (MPSK) ทักษะบ่งชี้ที่อัตราความเร็วเดียวกันและ SNR γ_b เดียวกันแล้ว ถ้าเพิ่มเฟสของเอ็มพีเอสเคจะต้องเพิ่มกำลังส่ง (transmitter power) ด้วย (ดูสมการ (136) และสมการ (138))

เอ็มพีเอสเคนี้ใช้ในการส่งข้อมูลที่ต้องการอัตราการส่ง เช่น ซีเฟสพีเอสเคใช้ในโมเด็มตามข้อเสนอแนะ CCITT V.26 และ V.26 bis ที่อัตราการส่ง 2400 บิตต่อวินาที และแปดเฟสพีเอสเค (8-PSK) ใช้ในโมเด็มตามข้อเสนอแนะของ CCITT V.27 ที่อัตราการส่ง 4800 บิตต่อวินาที นอกจากนี้ควีพีเอสเค (QPSK) ยังนิยมใช้กันในระบบ SPADE (Single Channel Per Carrier, Pulse



รูปที่ 25 พหุขบวนการวัดความผิดพลาดของเอ็มพีเอสเค

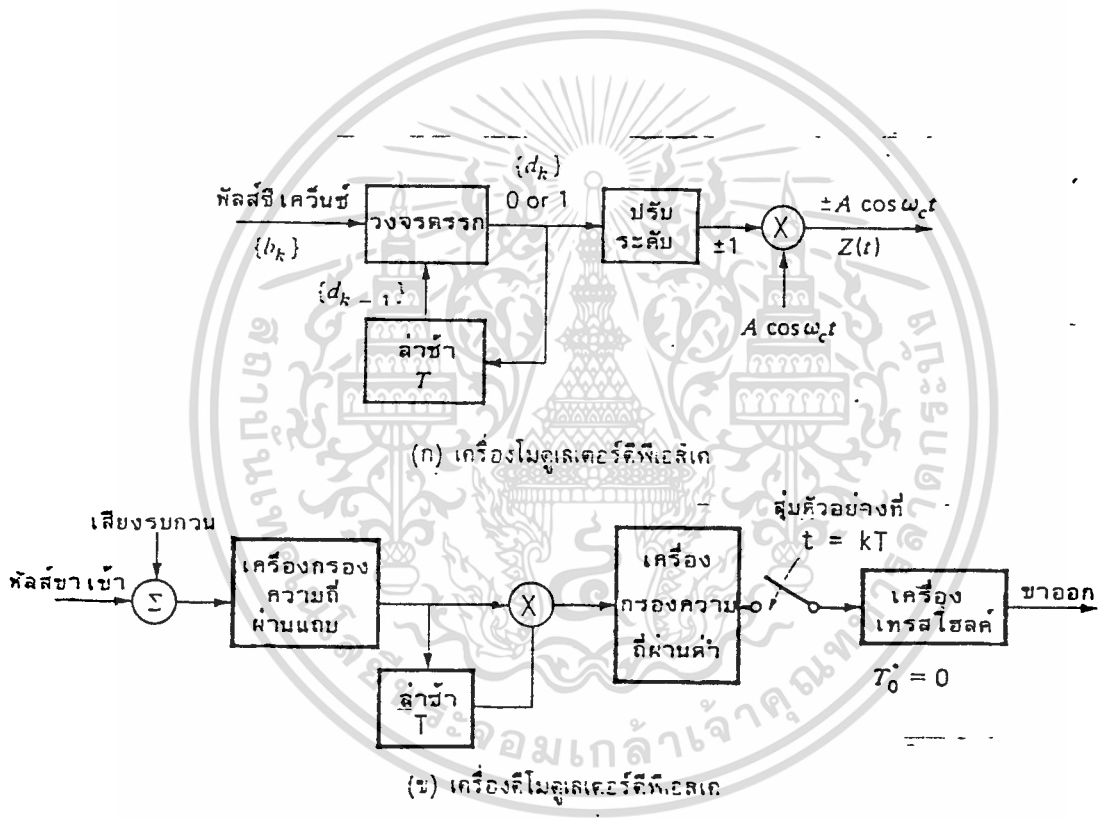
Code Modulation, Multiple Access, Demand Assignment Equipment) ของดาวเทียมสื่อสารและในดิจิทัลไมโครเวฟทั่วไป

ดิฟเฟอเรนเชียลเอ็มพีเอสเค

ระบบเอ็มพีเอสเคแม้จะมีวิสัยความสามารถส่งหรือมีพหุขบวนการวัดความผิดพลาดต่ำ เมื่อเทียบกับระบบดิจิทัลโมเด็มอื่นที่ค่า SNR หรือ E_b/n เดียวกัน แต่ก็มีข้อเสียที่ต้องมีสัญญาณอ้างอิงที่มีความถี่เดียวกับสัญญาณเอ็มพีเอสเคเข้าหรือที่เรียกว่า การรับแบบโคฮีเร้นท์ ในทางปฏิบัติสัญญาณอ้างอิงนั้นกำเนิดได้ยากเพราะไม่มีเครื่องส่งความถี่ (oscillator) ใดที่จะกำเนิดความถี่คงที่ได้ตลอดเวลา จึงมีการวิจัยค้นพบดิฟเฟอเรนเชียลเอ็มพีเอสเคขึ้นโดยใช้หลักการเปรียบเทียบความแตกต่างของช่วงของบิตที่เข้ามาเทียบกับบิตก่อนที่ถกป้อนกลับโดยมีการล่าช้าทางเวลาเท่ากับหนึ่งช่วงเวลาของพัลส์บิตพอดี T ถ้าไม่มีความแตกต่างให้ได้นัลส์ "1" และถ้ามีความแตกต่างให้ได้นัลส์ "0" และเฟสของดิฟเฟอเรนเชียลเอ็มพีเอสเคให้มค่าเท่ากับ 0 เมื่อได้นัลส์ "1" และเท่ากับ π เมื่อได้นัลส์ "0" ดังรูปที่ 26 การลงรหัสนั้นแสดงในตารางที่ 4 ส่วนทางภาครับของดิฟเฟอเรนเชียลเอ็มพีเอสเค (DPSK) ก็เช่นเดียวกับภาคส่งสัญญาณดิฟเฟอเรนเชียลเอ็มพีเอสเคที่มีเฟสเท่ากับ 0 หรือ π หรือมีขั้วเป็น 1 และ -1 (ถ้าค่าไม่อร์มัลไลซ์จะได้ $+A$

เอกสารนี้เป็นเอกสารที่สงวนไว้สำหรับการใช้งานเพื่อการศึกษาเท่านั้น ไม่อนุญาตให้นำไปใช้ประโยชน์ด้านการค้า ไม่ว่าจะกรณีใดๆ ทั้งสิ้น อีกทั้งห้ามมิให้ดัดแปลงเนื้อหา และต้องอ้างอิงถึงเจ้าของเอกสารทุกครั้งที่มีการนำไปใช้

และ $-A$) นั้นจะถูกคูณกับบิตก่อนที่ถกป้อนไปข้างหน้าโดยมีการล่าช้าทางเวลาเท่ากับ T ผลคูณเลขฐานสองก็จะให้ผลลัพธ์เป็น 1 หรือ 0 ตามต้องการ ซึ่งตรงกับพัลส์สี่เหลี่ยมที่ทางภาคส่ง ในกรณีที่เกิดปรากฏการณ์เฟดดิ้งซ้ำๆ เมื่อเทียบกับอัตราการส่งบิตจะทำให้เฟสของพัลส์ $s(t)$ และ $s(t-T)$ ได้รับผลกระทบเท่ากัน ข่าวสารที่ได้จากการเปรียบเทียบความแตกต่างของเฟสระหว่างสองพัลส์นี้ยังคงอยู่ไม่เปลี่ยนแปลงดังรูปที่ 27



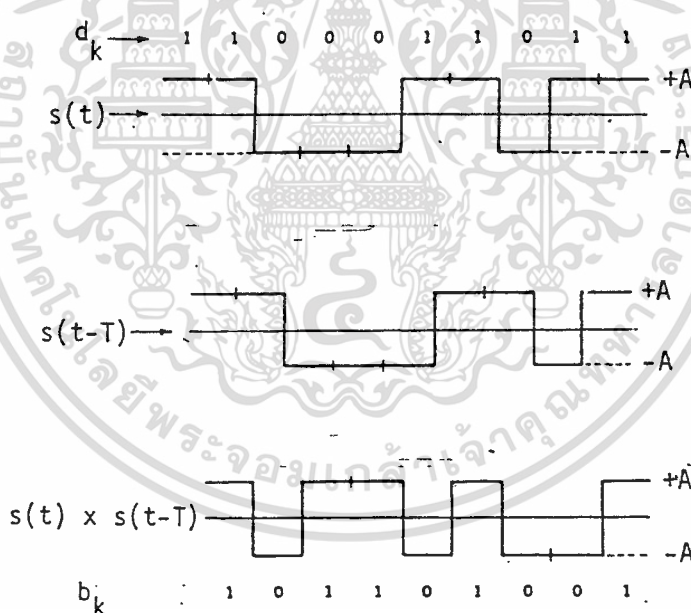
รูปที่ 26

เอกสารนี้เป็นเอกสารที่สงวนไว้สำหรับการใช้งานเพื่อการศึกษาเท่านั้น ไม่อนุญาตให้นำไปใช้ประโยชน์ด้านการค้า ไม่ว่าจะกรณีใดๆทั้งสิ้น อีกทั้งห้ามมิให้ดัดแปลงเนื้อหา และต้องอ้างอิงถึงเจ้าของเอกสารทุกครั้งที่มีการนำไปใช้

ซีเคิร์ฟเข้าเข้า (b_k)	1 0 1 1 0 1 0 0 1
ซีเคิร์ฟการลงรหัส (d_k)	1* 1 0 0 0 1 1 0 1 1
เฟสที่ส่ง	0 0 π π π 0 0 π 0 0
ขาออกของเฟสที่เปรียบเทียบ	+ - + + - + - - +
ซีเคิร์ฟของบิตขาออก	1 0 1 1 0 1 0 0 1

* บิตอ้างอิงเริ่มต้นที่ค่าใดๆ ก็ได้

ตารางที่ 4 การลงรหัสแบบดิฟเฟอเรนเชียลและการถอดรหัส



รูปที่ 27 การรับสัญญาณดิฟเฟอเรนเชียล

ความแตกต่างอย่างมากระหว่างระบบดิฟเฟอเรนเชียลและระบบบีเอสเคไม่ได้อยู่ที่การลงรหัสแบบดิฟเฟอเรนเชียล (differential encoding) แต่อยู่ที่ระบบดิฟเฟอเรนเชียลสามารถสร้างสัญญาณอ้างอิงท้องถิ่นจากสัญญาณขาเข้าเครื่องรับอย่างง่ายได้

ต่อไปนี้จะคำนวณหาขอบเขตขีวิไลตีความผิดพลาดของดิฟเฟอเรนเชียล สมมติว่าเฟสของตัวพาระหว่าง

เอกสารนี้เป็นเอกสารที่สงวนไว้สำหรับการใช้งานเพื่อการศึกษาเท่านั้น ไม่อนุญาตให้นำไปใช้ประโยชน์ด้านการค้า

ไม่ว่ากรณีใดๆทั้งสิ้น อีกทั้งห้ามมิให้ดัดแปลงเนื้อหา และต้องอ้างอิงถึงเจ้าของเอกสารทุกครั้งที่มีการนำไปใช้

ช่วงเวลา $(k-1)$ และ k พัลส์มีค่าเท่ากับ "0" นั่นคือ ไม่เท่ากับ $\phi_{k-1} = \phi_k = 0$ ความผิดพลาดในการถอดรหัส k บิตจะเกิดขึ้นถ้าสัญญาณขาออกของเครื่องเปรียบเทียบเฟส (phase comparator) เป็นค่าติดลบ สัญญาณขาเข้าที่เครื่องกรองความถี่ผ่านต่ำในรูปที่ 26 เขียนได้ดังนี้

$$S(t) = [A \cos \omega_c t + n_1(t)] [A \cos \omega_c t' + n_1(t')] \quad (139)$$

$$(k-1)T \leq t \leq kT$$

ในที่นี้ $t' = t - T$ และ $n_1(t)$ คือเสียงรบกวนที่ผ่านเครื่องกรองความถี่ผ่านแถบแล้ว $n_1(t)$ สามารถแตกเป็นส่วนประกอบอินเฟสและควอดราเจอร์

$$n_1(t) = n_c(t) \cos \omega_c t - n_s(t) \sin \omega_c t \quad (140)$$

แทนสมการ (140) ในสมการ (139) จะได้

$$S(t) = [A + n_c(t)] \cos \omega_c t [A + n_c(t')] \cos \omega_c t' \\ - [A + n_c(t)] \cos \omega_c t [n_s(t')] \sin \omega_c t' \\ - n_s(t) \sin \omega_c t [A + n_c(t')] \cos \omega_c t' \\ + n_s(t) n_s(t') \sin \omega_c t \sin \omega_c t' \quad (141)$$

สัญญาณ $S(t)$ จะผ่านเครื่องกรองความถี่ผ่านต่ำ เครื่องกรองความถี่ผ่านต่ำจะยอมให้สัญญาณที่มีความถี่ต่ำกว่าความถี่ตัดออก (cutoff frequency) ของเครื่องกรองความถี่ผ่านต่ำผ่านได้ ส่วนสัญญาณที่มีความถี่สองเท่าของ ω_c จะถูกกรองออกไปเนื่องจากเราสมมติว่าเฟสของพัลส์ $(k-1)$ และ k มีค่าเท่ากับ "0" เหมือนกัน $\sin \omega_c t = \sin \omega_c t'$ และ $\cos \omega_c t = \cos \omega_c t'$ สัญญาณขาออกของเครื่องกรองความถี่ผ่านต่ำ $S_o(kT)$ จะได้

$$S_o(kT) = C[A + n_c(t)][A + n_c(t')] + n_s(t)n_s(t') \quad (142)$$

ในที่นี้ C คือค่าคงที่ที่เป็นบวก $t = kT$ และ $t' = (k-1)T$ พรอบบะบิวลิตีความผิดพลาด P_e หาได้ดังนี้

$$P_e = P[S_o(kT) < 0] = \frac{1}{C} P[S_o(kT) < 0]$$

เพื่อให้สมการของพรอบบะบิวลิตีความผิดพลาดง่ายขึ้น ให้

$$u_1 = A + \frac{n_c(t) + n_c(t')}{2}, \quad u_2 = \frac{n_c(t) - n_c(t')}{2} \quad (143)$$

$$v_1 = \frac{n_s(t) + n_s(t')}{2}, \quad v_2 = \frac{n_s(t) - n_s(t')}{2}$$

แทนสมการ (143) ในสมการ (142) จะได้

$$\frac{1}{C} S_o(KT) = -([u_1]^2 + [u_2]^2) - ([v_1]^2 + [v_2]^2)$$

$$\begin{aligned} P\left(\frac{1}{C} S_o(KT) < 0\right) &= P([u_1]^2 + [u_2]^2 < [v_1]^2 + [v_2]^2) \\ &= P([R_1]^2 < [R_2]^2) \\ &= P(R_1 < R_2) \end{aligned} \quad (144)$$

ในที่นี้

$$R_1 = \sqrt{([u_1]^2 + [u_2]^2)}$$

$$R_2 = \sqrt{([v_1]^2 + [v_2]^2)}$$

R_1 เป็นเอ็นเวลลอปของสัญญาณบวกเสียงรบกวนและ R_2 เป็นเอ็นเวลลอปของเสียงรบกวน
อย่างเดี่ยว R_1 จึงมีพหุคูณบิวลิติเคนซีฟังก์ชันเป็นไรเซียน (Rician) และ R_2 จึงมีพหุคูณบิว
ลิติเคนซีฟังก์ชันเป็นเรย์เลย์ (Rayleigh)

พหุคูณบิวลิติเคนซีความผิดพลาด P_e จะมีสมการดังนี้

$$P_e = P(R_1 < R_2) = \int_0^\infty P(R_2 < r_1 | R_1 = r_1) p(r_1) dr_1 \quad (145)$$

ในที่นี้

$$P(R_2 > r_1 | R_1 = r_1) = \int_{r_1}^\infty p(r_2) dr_2$$

เนื่องจาก R_1 และ R_2 มีสถิติเป็นอิสระกัน $p(r_1)$ และ $p(r_2)$ มีสมการเหมือนสมการ
(74) และ (75) สมการ (144) อยู่ในรูปแบบเดียวกับสมการ (76) ซึ่งเป็นการวิเคราะห์พหุคูณ

เอกสารนี้เป็นเอกสารที่สงวนไว้สำหรับการใช้งานเพื่อการศึกษาเท่านั้น ไม่อนุญาตให้นำไปใช้ประโยชน์ด้านการค้า
ไม่ว่ากรณีใดๆทั้งสิ้น อีกทั้งห้ามมิให้ดัดแปลงเนื้อหา และต้องอ้างอิงถึงเจ้าของเอกสารทุกครั้งที่มีการนำไปใช้

บะบิวลิตีความผิดพลาดของเอฟเอสเค และนั่นพรอบบะบิวลิตีความผิดพลาดของดีพีเอสเค จะได้

$$P_e = \frac{1}{2} \exp\left(-\frac{A^2 T}{2n}\right) \quad (146)$$

หรือ

$$P_e = \frac{1}{2} \exp\left(-\frac{A^2}{2N}\right)$$

เทียบสมการ (146) กับสมการ (88) จะเห็นได้ว่า ดีพีเอสเคใช้ SNR- น้อยกว่าอนโคอีเรนท์ เอฟเอสเค 3 dB ที่ค่าพรอบบะบิวลิตีความผิดพลาด 10^{-4} ดีพีเอสเคต้องการกำลังของสัญญาณมากกว่า ดีพีเอสเคประมาณ 1 dB แต่ดีพีเอสเคมีข้อดีกว่าดีพีเอสเคที่ไม่ต้องใช้สัญญาณอ้างอิง ขณะเดียวกันดีพีเอสเคก็มีข้อเสียว่าถ้าเกิดความผิดพลาดของพัลส์หนึ่งบิตแล้ว ความผิดพลาดจะขยายไปอีกหนึ่งบิต ทั้งนี้เพราะใช้สัญญาณบิตก่อนเป็นสัญญาณอ้างอิงควบคู่กับสัญญาณบิตที่ตามมา เมื่อสัญญาณบิตก่อนผิด สัญญาณบิตที่ตามมาก็พลอยผิดไปด้วย ดีพีเอสเคจะมีวิสัยความสามารถเกือบทัดเทียมกับดีพีเอสเคที่ค่า SNR หรือ E/n สูง

ตัวอย่างที่ 1 ดีจิตัลไมโครเวฟระบบหนึ่งส่งข้อมูลไบนารีที่อัตราความเร็ว 10^6 bps ถ้าแถบความถี่เท่ากับ 3 MHz และสมมติความเข้มขึ้นสเปกตรัมของกำลังของเสียงรบกวนที่ขาเข้าของเครื่องรับ $n/2 = 10^{-10}$ วัตต์/เฮิรตซ์

จงหาลำลังของตัวพาโดยเฉลี่ยที่ขาเข้าของเครื่องรับสำหรับระบบโคอีเรนท์ดีพีเอสเคและดีพีเอสเค เพื่อให้ค่าพรอบบะบิวลิตีความผิดพลาดต่ำกว่า 10^{-4} ($P_e < 10^{-4}$)

คำตอบ

พรอบบะบิวลิตีความผิดพลาดของดีพีเอสเคคือ

$$P_e = \frac{1}{2} \operatorname{erfc}\left(\sqrt{[A^2 T/2n]}\right) < 10^{-4}$$

$$\left(\sqrt{[A^2 T/2n]}\right) \geq 3.75$$

$$\left(\frac{A^2}{2}\right)_{\text{PSK}} \geq (3.75)^2 (10^{-10}) (10^6) = 1.48 \text{ dB}_m$$

สำหรับดีพีเอสเค

$$(P_e)_{\text{DPSK}} = \frac{1}{2} \exp[-(A^2 T / 2n)] \leq 10^{-4}$$

ดังนั้น

$$\frac{A^2 T}{2n} \geq 8.57$$

หรือ

$$\left(\frac{A^2}{2} \right)_{\text{DPSK}} \geq 2.313 \text{ dB}$$

ตัวอย่างนี้แสดงให้เห็นว่า คิพเฮลเคต้องใช้กำลังของสัญญาณมากกว่าพีเอสเค 3 dB ที่ค่ารอบบะบิวลิตีความผิดพลาดเท่ากับ 10^{-4}

การเปรียบเทียบระบบดิจิทัลโมดูลেশัน

ในการเปรียบเทียบวิสัยความสามารถของระบบดิจิทัลโมดูลেশัน เราต้องพิจารณาในแง่ทฤษฎีหัวข้อต่อไปนี้

1. แแถบความถี่ (bandwidth)
2. พรอบบะบิวลิตีความผิดพลาด (probability of error)

แต่ในแง่ปฏิบัติเวลาเราเลือกระบบดิจิทัลโมดูลেশันเพื่อใช้งานนั้น เราควรคำนึงถึงหัวข้ออื่นนอกเหนือจากหัวข้อที่ได้กล่าวข้างต้นด้วย เช่น อัตราความเร็วในการส่งข้อมูล, ราคา, ความยากง่ายของอุปกรณ์ในการใช้และการซ่อมบำรุงรักษา, ความเข้ากันได้ของอุปกรณ์ที่จะจัดซื้อกับระบบเก่าที่มีอยู่, ภูมิคุ้มกัน (immunity) ของระบบดิจิทัลโมดูลেশันที่มีต่อเสียงรบกวนและความเสื่อมโทรมของช่องสัญญาณ (channel impairment) เช่น ความไม่เป็นเชิงเส้น, การสั่นของเฟส (phase jitter), เฟดดิ้ง (fading) และความเสถียรภาพของความถี่ (frequency stability)

หัวข้อเหล่านี้มีความสำคัญต่อการเลือกซื้อระบบดิจิทัลโมดูลেশันมากเช่น ถ้าช่องสัญญาณ (channel) เกิดเฟดดิ้งอยู่เสมอ ถ้าเราเลือกส่งข้อมูลด้วยสัญญาณพีเอสเคจะได้ค่ารอบบะบิวลิตีความผิดพลาดมากกว่าการเลือกส่งข้อมูลด้วยสัญญาณนอนโคอีเร้นท์เอฟเอสเค เพราะในขณะที่เกิดเฟดดิ้งสัญญาณอ้างอิงโคอีเร้นท์สำหรับพีเอสเคจะเพี้ยนไป ทำให้เกิดความผิดพลาดมาก เป็นต้น ในกรณีที่มีข้อจำกัดทางด้านกำลังของสัญญาณ (power limitation) เช่น การรับส่งสัญญาณดาวเทียมควรเลือกใช้แบบโคอีเร้นท์

เอกสารนี้เป็นเอกสารที่สงวนไว้สำหรับการใช้งานเพื่อการศึกษาเท่านั้น ไม่อนุญาตให้นำไปใช้ประโยชน์ด้านการค้า

ไม่ว่ากรณีใดๆทั้งสิ้น อีกทั้งห้ามมิให้ดัดแปลงเนื้อหา และต้องอ้างอิงถึงเจ้าของเอกสารทุกครั้งที่มีการนำไปใช้

เพราะแบบโคอีเร้นท์ที่ใช้กำลังของสัญญาณน้อยกว่าแบบนอนโคอีเร้นท์ที่อัตราการส่งและค่าพหุคูณบีบอัดมีความผิดพลาดเดียวกัน

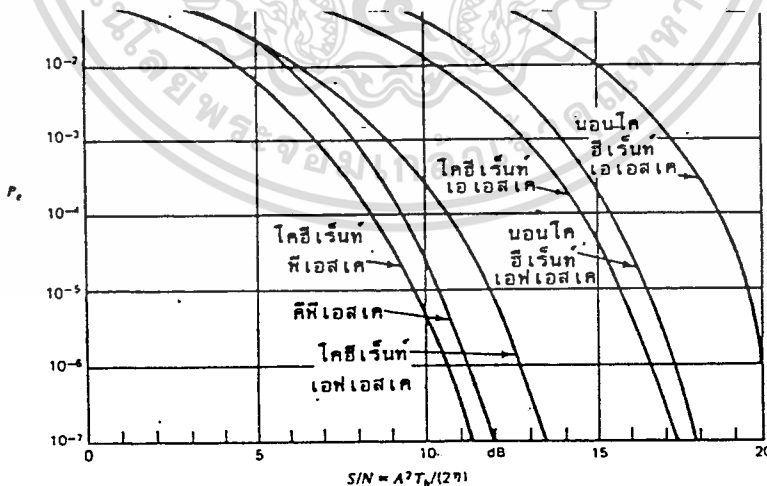
ความต้องการแถบความถี่ (Bandwidth requirements)

สัญญาณเอเอสเค, ดีพีเอสเค และพีเอสเค จะมีความต้องการความถี่ประมาณสองเท่าของอัตราความเร็วในการส่งข้อมูล (data rate r_b) สัญญาณเอฟเอสเคต้องการแถบความถี่มากกว่าสองเท่าของอัตราความเร็วในการส่งข้อมูล ส่วนสัญญาณดิจิทัลเอฟเอ็มที่นิยมใช้กันส่วนมากเป็นแบบแถบความถี่แคบ (narrowband) นั้น ต้องการแถบความถี่อยู่ระหว่างสองถึงสามเท่าของอัตราความเร็วในการส่งข้อมูล ฉะนั้นถ้าต้องการเลือกใช้ระบบดิจิทัลโมเด็มเช่นในงานที่มีข้อจำกัดทางด้านแถบความถี่ (bandwidth limitation) ก็ไม่ควรเลือกระบบเอฟเอสเค

- ความต้องการของกำลังของสัญญาณ (Power requirements) -

ในรูปที่ 28 โคอีเร้นท์พีเอสเคต้องการกำลังของสัญญาณน้อยที่สุดตามด้วยพีเอสเค โคอีเร้นท์เอฟเอสเค, นอนโคอีเร้นท์เอฟเอสเค และนอนโคอีเร้นท์เอเอสเค ถ้าเปรียบเทียบในแง่ของความต้องการของกำลังเฉลี่ย (average power) ของสัญญาณเอเอสเคต้องการกำลังของสัญญาณเท่ากับเอฟเอสเค เนื่องจากราคาของอุปกรณ์มักจะขึ้นอยู่กับกำลังสูงสุดมากกว่ากำลังเฉลี่ย ฉะนั้น ถ้ามีความต้องการของกำลังสูงสุดมากก็ไม่ควรเลือกใช้ระบบเอเอสเค

โดยทั่วไปดีพีเอสเคต้องการกำลังของสัญญาณมากกว่าโคอีเร้นท์พีเอสเค 1 dB และนอนโคอีเร้นท์เอฟเอสเคต้องการกำลังของสัญญาณประมาณมากกว่าโคอีเร้นท์พีเอสเคประมาณ 7 dB การประหยัดกำลังของสัญญาณเพียงหนึ่งหรือสองดีบี (dB) ในข่ายโทรคมนาคมขนาดใหญ่จะประหยัดค่าใช้จ่ายได้ปีละหลายสิบล้านบาท



รูปที่ 28 พหุคูณบีบอัดความผิดพลาดของระบบไบนารีดิจิทัลโมเด็ม (สังเกตว่ากำลังเฉลี่ยของสัญญาณเอเอสเคเท่ากับ $A^2/4$ ในขณะที่กำลังเฉลี่ยของสัญญาณอื่นเท่ากับ $A^2/2$)

ความซับซ้อนของอุปกรณ์

ในอุปกรณ์ภาคส่งของระบบบีเอสเค, เอฟเอสเค และเอเอสเค จะมีความซับซ้อนของอุปกรณ์ไม่ต่างกันมากนัก ส่วนอุปกรณ์ภาครับนั้น ความซับซ้อนนั้นขึ้นอยู่กับวิธีการตีโมดูลเลขทว่าใช้แบบโคอีเร้นท์หรือนอนโคอีเร้นท์ การตีโมดูลเลขแบบโคอีเร้นท์จะมีความซับซ้อนมากกว่าในระบบนอนโคอีเร้นท์ด้วยกัน ดีพีเอสเคจะมีความซับซ้อนของอุปกรณ์มากกว่าอนโคอีเร้นท์ เอฟเอสเคซึ่งจะซับซ้อนกว่าอนโคอีเร้นท์ เอเอสเคส่วนดีจิทัลเอฟเอ็มนั้นมักจะดัดแปลงใช้กับเครื่องรับเครื่องส่งเอฟเอ็มมากกว่า โดยเพิ่มส่วนที่เป็นเครื่องกรองความถี่แบบอินติเกรทและคัมพท์ที่เครื่องรับ ความซับซ้อนของอุปกรณ์จะทำให้ราคาของอุปกรณ์สูงขึ้น ขณะเดียวกันทำให้ยากแก่การบำรุงรักษาด้วย



เอกสารนี้เป็นเอกสารที่สงวนไว้สำหรับการใช้งานเพื่อการศึกษาเท่านั้น ไม่อนุญาตให้นำไปใช้ประโยชน์ด้านการค้า
ไม่ว่ากรณีใดๆทั้งสิ้น อีกทั้งห้ามมิให้ดัดแปลงเนื้อหา และต้องอ้างอิงถึงเจ้าของเอกสารทุกครั้งที่มีการนำไปใช้

บทที่ 3

การสร้างและการทำงาน

การสร้าง

ในการจัดสร้างชุดทดลอง Digital Communication นี้ จะต้องศึกษาค้นลักษณะของการส่งสัญญาณทั้ง 3 แบบซึ่งใช้ในการส่งข้อมูล Digital ให้เป็นสัญญาณ carrier ความถี่สูงได้แก่

1. การส่งสัญญาณแบบเปลี่ยนแปลงแรงดันด้วยความถี่เท่าเดิมหรือเรียกว่า Amplitude Shift Keying (ASK)
2. การส่งสัญญาณแบบเปลี่ยนแปลงเฟสที่ใช้ในการส่งหรือเรียกว่า Phase Shift Keying (PSK)
3. การส่งสัญญาณแบบเปลี่ยนแปลงความถี่ที่ใช้ในการส่งข้อมูลหรือเรียกว่า Frequency Shift Keying (FSK)

ส่วนในชุด demod ของทั้ง 3 แบบนั้นได้ใช้หลักการดังนี้คือ

1. การ demod สัญญาณ ASK นั้นเราใช้ PLL ในการดึง carrier ออกจากสัญญาณ ASK Mod ที่ส่งมาและนำเข้าวงจร coherent detector โดยนำ carrier ที่ดึงออกมานั้นคูณกับสัญญาณ ASK Mod ด้วยชุด coherent detector
2. การ demod สัญญาณ PSK นั้นเราใช้ชุดวงจร carrier recovery ในการดึง carrier ออกจากสัญญาณ PSK Mod ที่ส่งมาและนำเข้าวงจร coherent detector โดยนำ carrier ที่ดึงออกมานั้นคูณกับสัญญาณ PSK Mod ด้วยชุด coherent detector เช่นเดียวกับ ASK
3. การ demod สัญญาณ FSK นั้นเราใช้หลักการ Band Pass Filter ในการ demod สัญญาณซึ่งชุด Band Pass นั้นเราใช้ชุด IF coil และ Active Filter ที่ใช้ IC ในการ demod

การทำงานของวงจร

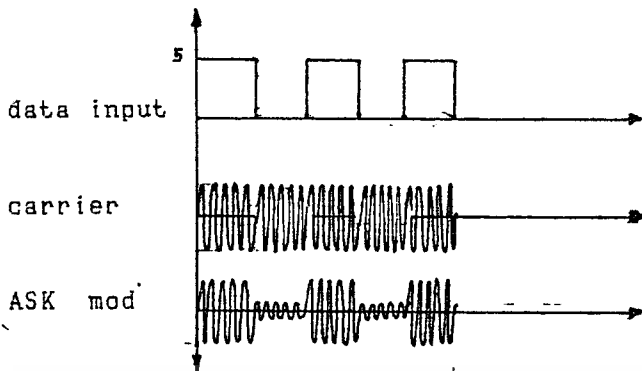
จากชุดทดลองนี้จะใช้การอธิบายการทำงานของวงจรเป็น 3 ส่วนคือ

การทำงานของชุด ASK

การ mod สัญญาณ ASK นั้นจะใช้ IC # MC1496 ซึ่งทำหน้าที่เป็นวงจรคูณเป็นตัวทำหน้าที่ mod สัญญาณ carrier กับสัญญาณ digital signal จะได้สัญญาณ output ที่ขา 6 ของ IC เป็นรูปสัญญาณ mod ซึ่งประกอบด้วย carrier ที่อยู่ในสัญญาณ digital signal ที่มี amplitude สามารถเปลี่ยนแปลงได้โดยการปรับ adj จากชุดทดลองนี้เราจะให้ค่าเปอร์เซ็นต์การ modulation ของ ASK มีค่าเท่ากับ 90% เพราะถ้าเราให้ค่าเปอร์เซ็นต์การ modulation มีค่าเท่ากับ 100% แล้วจะทำให้ตัว PLL ไม่สามารถ lock ความถี่ carrier ได้เนื่องจาก amplitude ของ carrier เมื่อ data เป็น low มีค่าเป็นศูนย์ ในชุดทดลองนี้ใช้ IC PLL # NE565 ซึ่งมีความถี่ lock สูงสุดที่ 500 KHz ให้ output เป็นสัญญาณ triangle มี capture range ประมาณ 150 KHz เมื่อเราได้ carrier จาก PLL แล้ว เราก็นำ carrier ไปคูณกับวงจร coherent detector กับสัญญาณ ASK Mod แล้ว

เอกสารนี้เป็นเอกสารที่สงวนไว้สำหรับการใช้งานเพื่อการศึกษาเท่านั้น ไม่อนุญาตให้นำไปใช้ประโยชน์ด้านการค้า

ไม่ว่ากรณีใดๆทั้งสิ้น อีกทั้งห้ามมิให้ดัดแปลงเนื้อหา และต้องอ้างอิงถึงเจ้าของเอกสารทุกครั้งที่มีการนำไปใช้

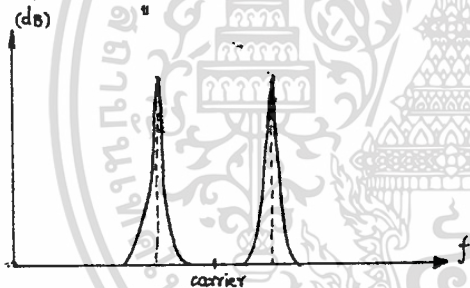


รูปที่ 29 แสดง ASK Mod

ผ่านเข้าวงจร lowpass filter ได้สัญญาณเป็น digital signal แล้วผ่านเข้าวงจรขยายด้วย IC Opamp # LF357 ซึ่งมี slewrate สูงถึง 20 V/ μ s

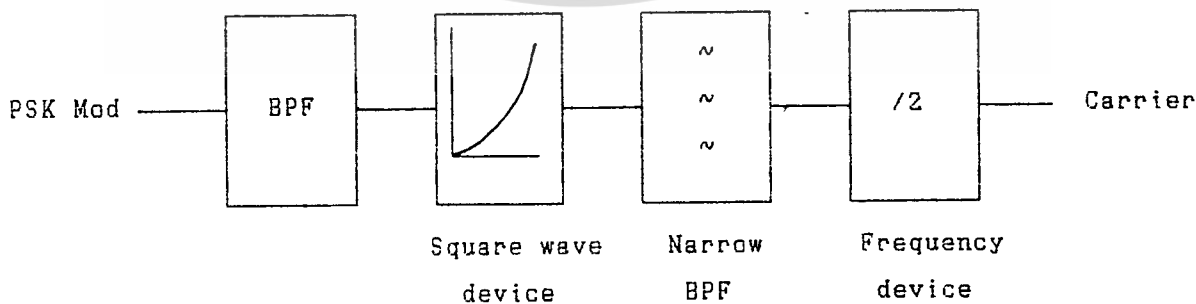
การทำงานของชุด PSK

การ mod สัญญาณ PSK นั้นจะใช้หลักการ mod เหมือนกับสัญญาณ ASK ต่างกันตรงที่ว่าสัญญาณ PSK นั้นจะไม่มี carrier ที่เรานำมา mod ด้วย จะมีแต่เฉพาะ upper sideband และ lower sideband เท่านั้นตามรูป



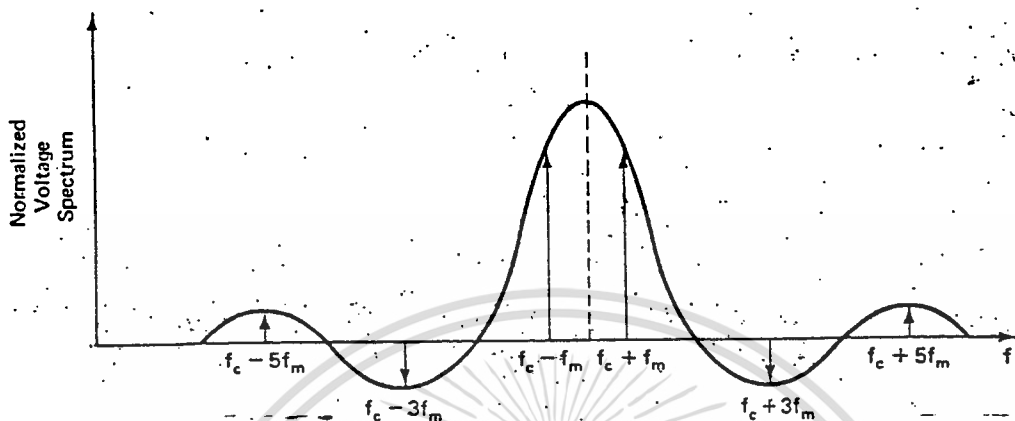
รูปที่ 30 แสดง sideband ของ PSK

ดังนั้นในการที่เราจะดึง carrier ออกจากสัญญาณ PSK Mod จึงทำไม่ได้ จึงจำเป็นต้องสร้างวงจรที่สามารถสร้าง carrier ที่มีความถี่เท่ากับความถี่ carrier จากเครื่องส่งซึ่งเราเรียกวงจรที่สร้าง carrier จากสัญญาณ PSK Mod นี้ว่าวงจร carrier recovery ซึ่งวงจรนี้เราจะสร้างจาก block diagram ตามรูป



รูปที่ 31 แสดงชุด Carrier Recovery

เนื่องจากในการ Mod PSK นั้นสัญญาณ digital signal นั้นประกอบด้วย sinewave harmonic ค่อนข้างมาก ดังนั้นจึงทำให้เกิด sideband ขึ้นเป็นจำนวนมากทั้งทางด้าน upper และ lower ดังรูป



รูปที่ 32 แสดง Spectrum ของสัญญาณ Mod PSK

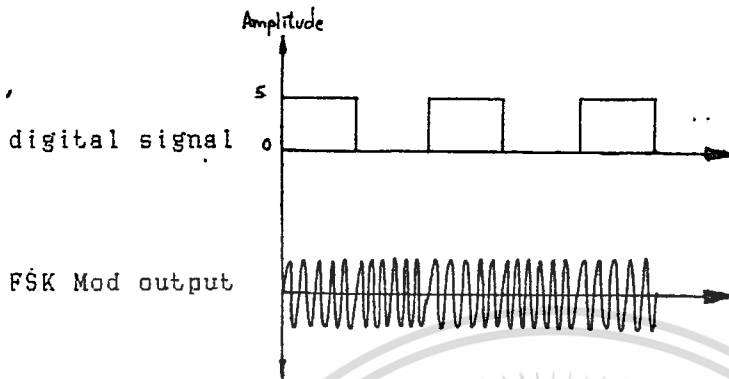
ดังนั้นก่อนที่จะเข้าวงจร carrier recovery จึงต้อง filter เอาเฉพาะส่วนที่ต้องการออกไปเฉพาะ sideband 2 ข้างเท่านั้น สำหรับชุด BPF นี้เราใช้ IC Opamp # LF357 ทำหน้าที่ band pass พร้อมทั้งขยายด้วย จากนั้นจึงนำเข้าวงจรคูณโดยใช้ IC # MC1495 ซึ่งเหมาะที่จะใช้กับการคูณสัญญาณที่มีแรงดันสูง โดยที่วงจรคูณนี้จะทำหน้าที่แยก carrier ออกจากสัญญาณ modulating signal ซึ่ง carrier ที่แยกออกมาได้นั้นจะมีค่าความถี่เป็น 2 เท่าของ carrier ที่ mod มา โดยสามารถปรับการ balance รูปคลื่นที่เกือออกมาของ MC1495 ทั้ง 2 ตัว จากนั้นจึงเข้าวงจร narrow bpf อีกทีเพื่อตัดเฉพาะ carrier ที่เป็น 2 เท่าออกมาโดยใช้ IC # LF357 แต่เนื่องจากสัญญาณที่ออกมาแล้วยังมี noise มารบกวนอยู่บ้าง ดังนั้นจึงนำ carrier ที่ได้นี้ไปเข้า PLL ซึ่งใช้ IC # 4046 ที่สามารถใช้ lock ความถี่ได้สูงถึง 1.5 MHz และสามารถปรับ capture range ได้ เมื่อได้ carrier เป็น 2 เท่าแล้วก็นำมาเข้าวงจรหาร 2 โดยใช้ IC # 7474 ที่เป็น D Flip-Flop โดยที่ output ของ D Flip-Flop จะให้ความถี่เท่ากับ carrier ของเครื่องส่ง จากนั้นก็นำไปเข้าวงจร coherent detector คูณกับสัญญาณ PSK Mod แล้วผ่านเข้าวงจร lowpass filter ได้เป็นสัญญาณ digital signal แล้วจึงนำไปขยายด้วย IC Opamp # LF357

การทำงานของ FSK

ในการ mod สัญญาณ FSK นี้คือการส่ง carrier ที่แตกต่างกัน 2 ความถี่ ซึ่งใช้แทนมาร์ค (mark) และสเปส (space) แทนความถี่ 1 โดยที่การส่งข้อมูลที่เป็น digital นั้นก็จะส่งไปพร้อมกับ 2 ความถี่ตามการเปลี่ยนแปลงของ Data

สำหรับในชุดทดลองนี้ได้ใช้ IC # R2206 ทำหน้าที่เป็น FSK Mod โดยความถี่ที่ส่งออกนั้น

จะมีค่าความถี่เท่ากับ 462 KHz และ 356 KHz สำหรับ space และ mark ตามลำดับซึ่งค่า amplitude ของสัญญาณที่ส่งออกนั้นสามารถรับได้โดยเก็อกม้าที่ขา 3

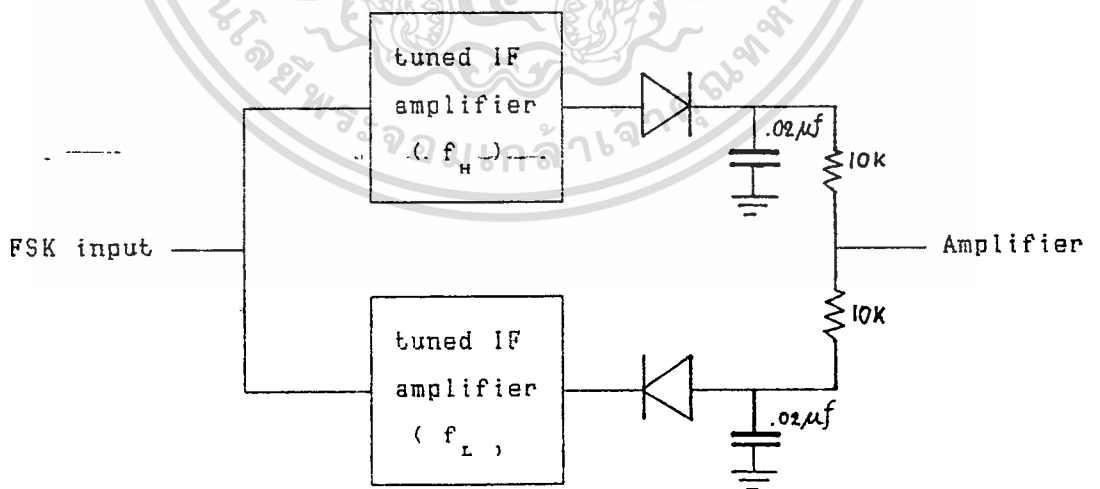


รูปที่ 33 แสดง FSK Mod

สำหรับชุด demod นั้นจะมี 2 ชุดได้แก่

1. แบบที่ใช้ IF Coil เป็นตัว tuned ความถี่ซึ่งการใช้ IF Coil นั้นจะมีคุณสมบัติที่ให้ค่า Q สูงทำให้เกิดมี Band width ที่แคบ ซึ่งเหมาะที่จะนำไปใช้ในการ demod ในกรณีที่การส่งนั้นต้องการ band width แคบ แต่มีข้อเสียคือ ไม่สามารถส่งข้อมูลด้วย baud rate ที่สูงมากได้เนื่องจากการยุบตัวของเส้นแรงแม่เหล็กภายใน coil เปลี่ยนแปลงไม่ทัน

ที่ output ของ IF Coil ที่ได้จะถูกนำมา summing กันโดยผ่าน R 10K จากนั้นจึงนำมาเข้าวงจร lowpass filter และนำไปเข้าวงจรขยายต่อไป

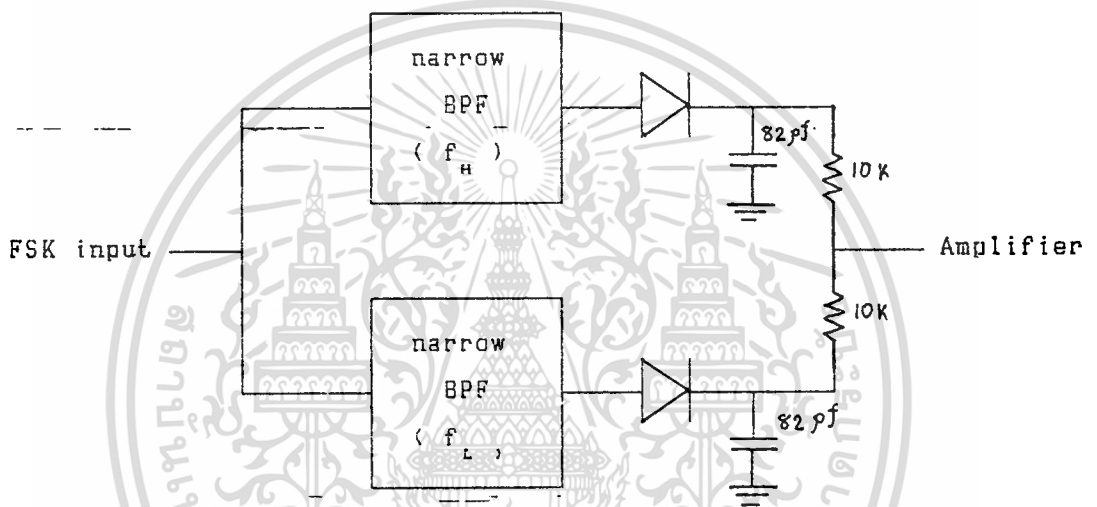


รูปที่ 34 แสดงการ Demod FSK โดยใช้วิธี Tuned IF Amplifier

เอกสารนี้เป็นเอกสารที่สงวนไว้สำหรับการใช้งานเพื่อการศึกษาเท่านั้น ไม่อนุญาตให้นำไปใช้ประโยชน์ด้านการค้า ไม่ว่าจะกรณีใดๆทั้งสิ้น อีกทั้งห้ามมิให้ดัดแปลงเนื้อหา และต้องอ้างอิงถึงเจ้าของเอกสารทุกครั้งที่มีการนำไปใช้

2. แบบที่ใช้ Bandpass Filter แบบ Active Filter ที่ IC Opamp # LF357 ในการ demod นั้นจะมีการรับอัตราการส่งข้อมูลที่สูงกว่าแบบใช้ IF Coil คือสามารถรับ baud rate ได้สูงกว่า แต่มีข้อเสียคือในการออกแบบให้ใช้ Bandpass ความถี่สูงนั้นเป็นไปได้ยาก จะต้องใช้ IC ที่มีค่า slewrate และค่า Q สูงๆด้วย ซึ่งต่างกับ IF Coil ที่สามารถ tuned เลือกความถี่ carrier ได้สูงกว่า

ที่ output ของ BPF แบบ active filter นี้ใช้ Opamp # LF357 ทำหน้าที่เป็น BPF ที่มี f_c เท่ากับ 467 KHz และ 356 KHz output จาก BPF จะนำมา summing กันโดยผ่าน R 10K จากนั้นจึงนำมาเข้าวงจร lowpass filter และนำไปเข้าวงจรขยายต่อไป



รูปที่ 35 แสดงการ Demod FSK โดยใช้วิธี Narrow BPF

บทที่ 4 การทดลอง

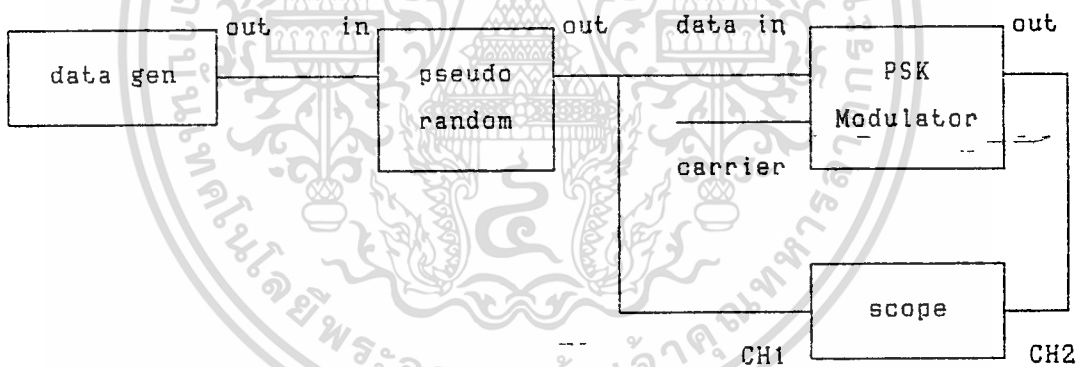
การทดลองที่ 1 เรื่อง PSK Mod

วัตถุประสงค์

เพื่อให้รู้จัก waveforms ของ PSK และศึกษาการทำงานของ การส่งข้อมูล digital โดยใช้ การส่งแบบ PSK modulator

ขั้นตอนการทดลอง

1. เลือก selector ไปที่ PSK
2. ปรับ generator ไปที่ square wave ปรับ output ให้ได้ประมาณ 5V
3. ต่อ output ของ generator เข้า input ของ pseudo ใช้ scope CH1 จับที่ output ต่อ output เข้า data input ของ PSK Mod จากนั้นใช้ scope CH 2 จับที่ output ของ PSK Mod ตามรูป



4. บันทึก และสังเกตการเปลี่ยนแปลงของ PSK Mod
5. เปลี่ยนความถี่ของ gen ไปที่ 5, 10, 15, 20 KHz
6. ทดลองถึงความถี่ data input เข้าออก สังเกตความถี่ที่ output

เอกสารนี้เป็นเอกสารที่สงวนไว้สำหรับการใช้งานเพื่อการศึกษาเท่านั้น ไม่อนุญาตให้นำไปใช้ประโยชน์ด้านการค้า
ไม่ว่ากรณีใดๆทั้งสิ้น อีกทั้งห้ามมิให้ดัดแปลงเนื้อหา และต้องอ้างอิงถึงเจ้าของเอกสารทุกครั้งที่มีการนำไปใช้

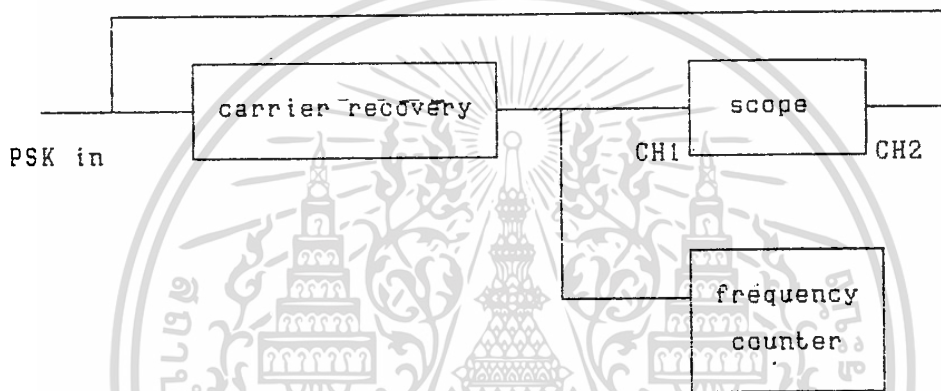
การทดลองที่ 2 เรื่อง Carrier Recovery

วัตถุประสงค์

เพื่อศึกษาการทำงานของชุด Carrier recovery ในการ Detect สัญญาณ binary จากชุด PSK Mod

ขั้นตอนการทดลอง

1. ต่อ block diagram ดังรูป โดยใช้สัญญาณ PSK out ที่ได้จากการทดลองที่ 1 ป้อนเข้า input ของ carrier recovery



2. ใช้ scope CH1 และ CH2 จับที่ input และ output ของ carrier recovery ตามลำดับสังเกตรูปคลื่นที่ได้
3. ทดลองปรับความถี่ของ data input ของ PSK Mod สังเกตการเปลี่ยนแปลงของรูปคลื่นที่ scope
4. ใช้ scope CH1 จับที่ carrier input ของ PSK Mod และสังเกตความถี่ที่ได้เปรียบเทียบกับ CH2 บันทึกค่าความถี่ที่วัดได้จาก frequency counter ที่วัดที่ CH1 และ CH2 พร้อมทั้งสังเกต phase ด้วย

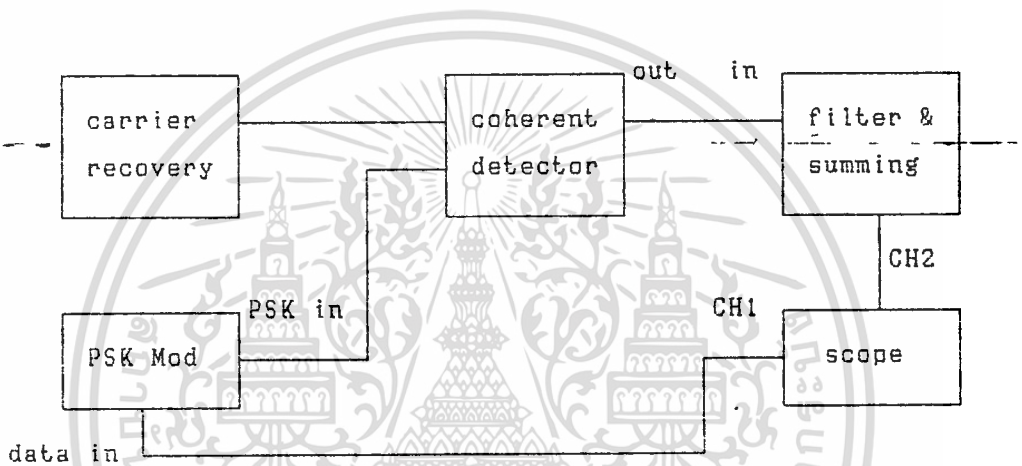
การทดลองที่ 3 เรื่อง Coherent Detector

วัตถุประสงค์

เพื่อศึกษาการทำงานของชุด coherent detector ในการ Detect สัญญาณ binary จากชุด PSK Mod

ขั้นตอนการทดลอง

1. ต่อ Block diagram ดังรูป โดยใช้ผลของการทดลองจากข้อ 1, 2 มาใช้



2. ต่อ scope CH 1 และ CH2 เข้ากับ data input ของ PSK และ output ของ summing amp. เปรียบเทียบสัญญาณที่รับได้ทั้งสอง
3. ทดลองเพิ่มค่าความถี่ของ generator แล้วสังเกตความถี่ output จากการ demod เปรียบเทียบสัญญาณ data input บันทึกค่าความถี่สูงสุดที่รูปคลื่น output ยังเหมือนกับของ data input อยู่
4. ทดลองลดค่าความถี่ต่ำสุดที่รูปคลื่นที่ output ยังเหมือนกับทาง data input

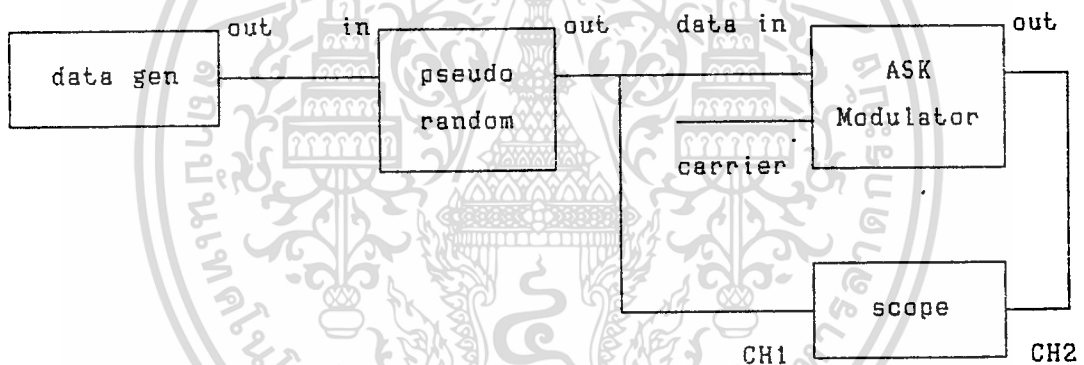
การทดลองที่ 4 เรื่อง ASK Mod

วัตถุประสงค์

เพื่อให้รู้จัก waveforms ของ ASK และศึกษาการทำงานของ การส่งข้อมูล digital โดยใช้ การส่งแบบ ASK modulator

ขั้นตอนการทดลอง

1. เลือก Selector ไปที่ ASK
2. ปรับ generator ไปที่ square wave ปรับ output ให้ได้ประมาณ 5 V
3. ต่อ output ของ generator เข้า input ของ pseudo ใช้ scope CH1 จับที่ output
4. ต่อ output เข้า data input ของ ASK Mod จากนั้นใช้ scope CH2 จับที่ output ของ ASK Mod ตามรูป



5. บันทึก และสังเกตการเปลี่ยนเฟส และ amplitude ของ ASK Mod
6. เปลี่ยนความถี่ของ gen ไปที่ 5, 10, 15, 20 KHz
7. ทดลองดึงความถี่ data input เข้าออก สังเกตความถี่ที่ output

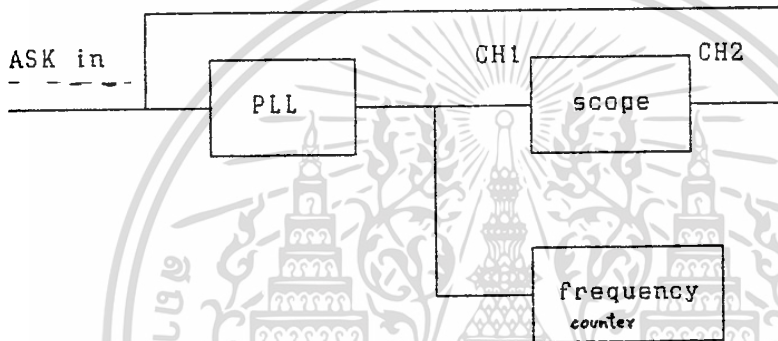
การทดลองที่ 5 เรื่อง PLL

วัตถุประสงค์

เพื่อศึกษาการทำงานของชุด PLL ในการ Detect สัญญาณ binary จากชุด ASK Mod

ขั้นตอนการทดลอง

1. ต่อ block diagram ดังรูป โดยใช้สัญญาณ ASK out ที่ได้จากการทดลองที่ 4 ต่อเข้าที่ input ของ PLL



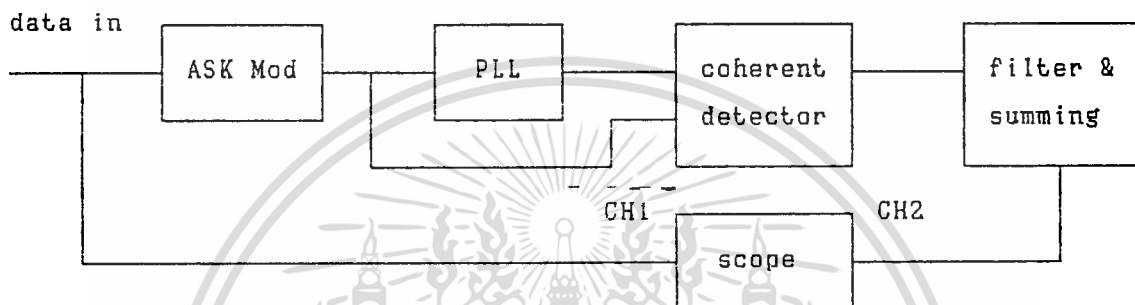
2. ใช้ scope CH1 และ CH2 จับที่ input และ output ของ PLL ตามลำดับ สังเกตรูปคลื่นที่ได้บันทึกผล
3. ทดลองปรับความถี่ของ data input ASK mod สังเกตความถี่ที่ได้จาก CH1 เปรียบเทียบกับ CH2
4. ใช้ scope CH1 จับที่ carrier input ของ ASK mode สังเกตความถี่ที่ได้เปรียบเทียบกับ CH2 บันทึกค่าความถี่ ที่วัดได้จาก frequency counter
5. ทดลองถอดสัญญาณ input ของ carrier recovery เข้าออก 20 ครั้งแล้วสังเกตที่ output

การทดลองที่ 6 เรื่อง ASK Demod วัตถุประสงค์

เพื่อศึกษาการทำงานของชุด ASK Demod ในการ Detect สัญญาณ binary จากชุด ASK Mod

ขั้นตอนการทดลอง

1. ต่อ block diagram ดังรูป โดยใช้ผลการทดลองที่ 4 และ 5 มาใช้



2. ต่อ scope CH1 และ CH2 เข้าที่ data input ASK Mod และ output ของ summing เปรียบเทียบสัญญาณที่รับได้ทั้งสอง
3. ทดลองเพิ่มค่าความถี่ของ generator เพิ่มขึ้นแล้วสังเกตความถี่ output จากการ demod เปรียบเทียบกับสัญญาณ data input บันทึกค่าความถี่สูงสุดที่รูปคลื่นที่ output ยังเหมือนกับทาง data input
4. ทดลองลดค่าความถี่ต่ำสุดที่รูปคลื่นที่ output ยังเหมือนกับทาง data input

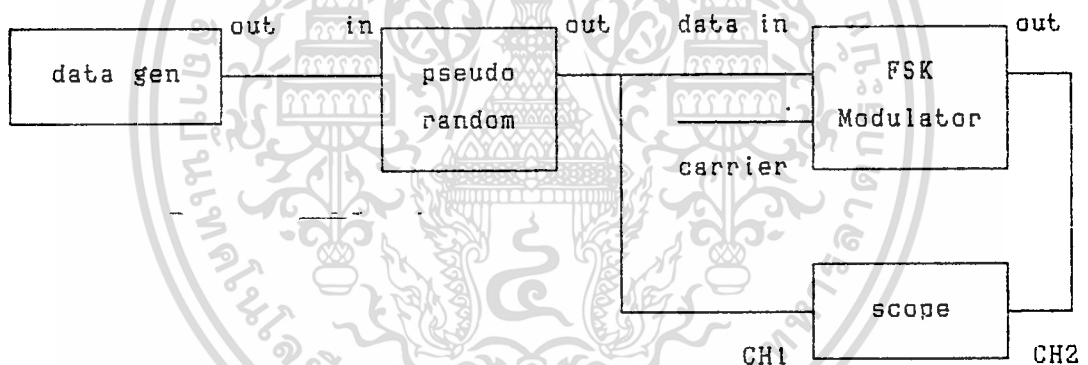
การทดลองที่ 7 เรื่อง FSK Mod

วัตถุประสงค์

เพื่อให้รู้จักการทำงานของ การส่งสัญญาณแบบ FSK Modulator และศึกษารูปคลื่นของ FSK Mod

ขั้นตอนการทดลอง

1. เลือก Selector ไปที่ FSK 1
2. ปรับ generator ไปที่ square wave ปรับ output ให้ได้ประมาณ 5V
3. ต่อ output ของ generator เข้า input ของ pseudo ใช้ scope CH1 จับที่ output ต่อ output เข้า data input ของ FSK Mod จากนั้นใช้ scope CH 2 จับที่ output ของ FSK Mod ตามรูป



4. บันทึก และสังเกตการเปลี่ยนเฟสของ FSK Mod
5. เปลี่ยนความถี่ของ gen ไปที่ 5, 10, 15, 20 KHz
6. ทดลองดึงความถี่ data input เข้าออก สังเกตความถี่ที่ output

เอกสารนี้เป็นเอกสารที่สงวนไว้สำหรับการใช้งานเพื่อการศึกษาเท่านั้น ไม่อนุญาตให้นำไปใช้ประโยชน์ด้านการค้า
ไม่ว่ากรณีใดๆทั้งสิ้น อีกทั้งห้ามมิให้ตัดแปลงเนื้อหา และต้องอ้างอิงถึงเจ้าของเอกสารทุกครั้งที่มีการนำไปใช้

การทดลองที่ 8 เรื่อง FSK Demod แบบใช้ Tuned IF Amplifier

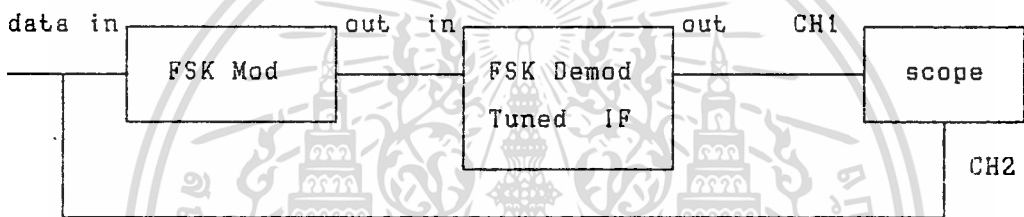
วัตถุประสงค์

เพื่อศึกษาการทำงานของชุด FSK Demod ในการ Detect สัญญาณ binary จากชุด FSK Mod

ขั้นตอนการทดลอง

ปรับ Selector ไปที่ FSK1

นำ output จาก FSK Mod ที่ได้จากการทดลองที่ 7 นำมาต่อเข้ากับ input ของ FSK Demod แบบใช้วงจร Tuned IF Amplifier ตามรูป



2. ต่อ scope CH1 และ CH2 เข้าที่ data input FSK Mod และ output ของ summing เปรียบเทียบสัญญาณที่รับได้ทั้งสอง

3. ทดลองเพิ่มค่าความถี่ของ generator เพิ่มขึ้นแล้วสังเกตความถี่ output จากการ demod เปรียบเทียบกับสัญญาณ data input บันทึกค่าความถี่สูงสุดที่รูปคลื่นที่ output ยังเหมือนกับทาง data input

4. ทดลองลดค่าความถี่ต่ำสุดที่รูปคลื่นที่ output ยังเหมือนกับทาง data input

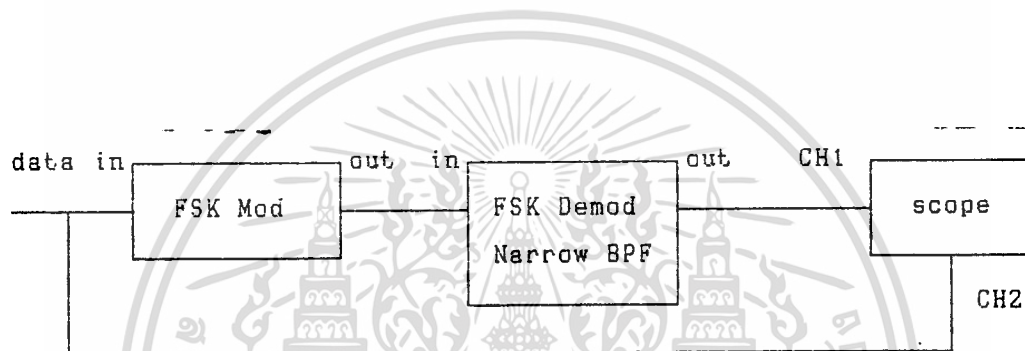
การทดลองที่ 9 เรื่อง FSK Demod แบบใช้ Narrow Bandpass Filter

วัตถุประสงค์

เพื่อศึกษาการทำงานของชุด FSK Demod ในการ Detect สัญญาณ binary จากชุด FSK Mod

ขั้นตอนการทดลอง

1. ปรับ Selector ไปที่ FSK2
2. นำ output จาก FSK Mod ที่ได้จากการทดลองที่ 7 นำมาต่อเข้ากับ input ของ FSK Demod แบบใช้วงจร Narrow Bandpass Filter ตามรูป



2. ต่อ scope CH1 และ CH2 เข้าที่ data input FSK Mod และ output ของ summing เปรียบเทียบสัญญาณที่รับได้ทั้งสอง

3. ทดลองเพิ่มค่าความถี่ของ generator เพิ่มขึ้นแล้วสังเกตความถี่ output จากการ demod เปรียบเทียบกับสัญญาณ data input บันทึกค่าความถี่สูงสุดที่รูปคลื่นที่ output ยังเหมือนกับ ทาง data input

4. ทดลองลดค่าความถี่ต่ำสุดที่รูปคลื่นที่ output ยังเหมือนกับทาง data input

บทที่ 5 บทวิจารณ์และสรุป

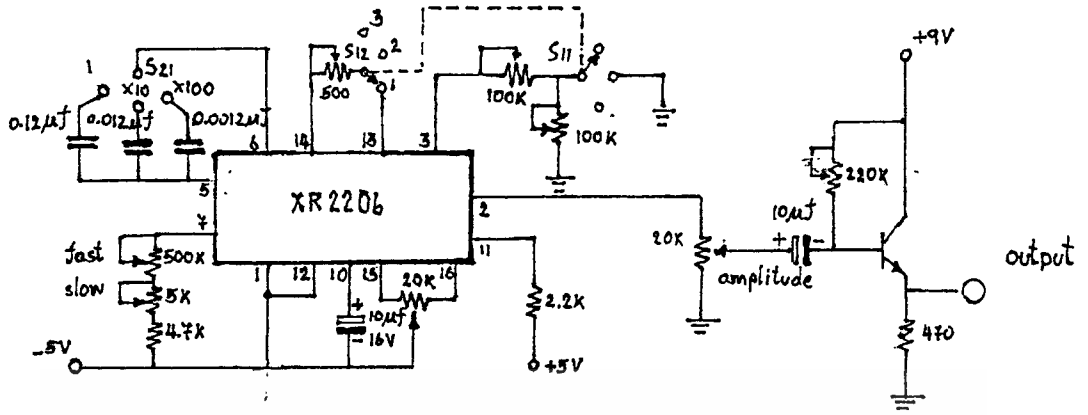
จากการจัดทำชุดทดลอง DIGITAL COMMUNICATION นี้เหมาะที่จะนำไปใช้ในการศึกษาการส่งข้อมูลระบบต่าง ๆ ในการส่งออกอากาศซึ่งแต่ละวิธีจะมีความยุ่งยากในการ Mod และ Demod ต่างกัน รวมทั้งอัตราการส่งข้อมูล การสิ้นเปลืองพลังงานในการส่งออกอากาศด้วย

เนื่องจากชุดทดลองนี้ทำรวมอยู่ในกล่องเดียวกัน ดังนั้นการใช้งานจึงง่ายและสะดวกสำหรับปัญหาที่เกิดขึ้นในชุดทดลองนี้จะพบมากในการทำชุด carrier recovery ซึ่งจะมีความถี่ค่อนข้างสูงประมาณ 1 MHz ทำให้เกิดปัญหาเรื่อง noise ซึ่งมารบกวนและการออกแบบวงจร BPF ในการกรองเอาสัญญาณที่ต้องการออกมา แต่เราก็สามารถแก้ปัญหานี้ได้โดยใช้ IC ที่มี slewrate และความถี่การใช้งานสูงๆ เช่น IC Opamp # LF357 เป็นต้น

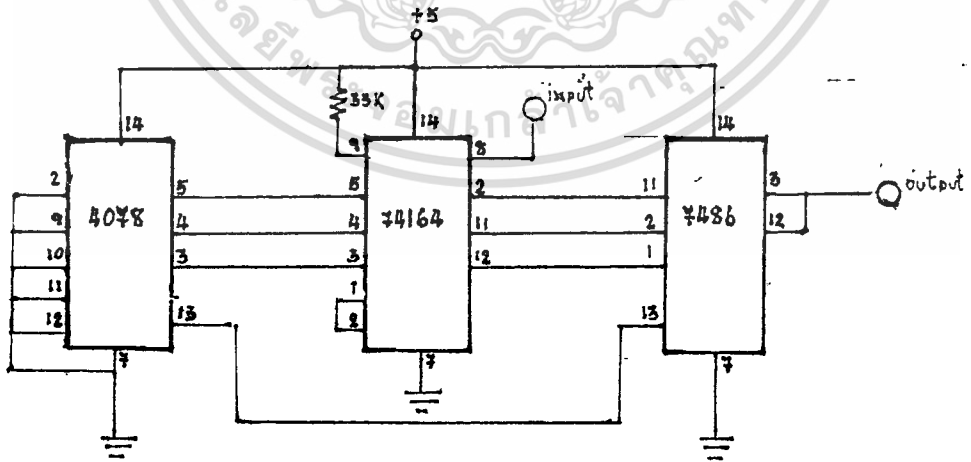


เอกสารนี้เป็นเอกสารที่สงวนไว้สำหรับการใช้งานเพื่อการศึกษาเท่านั้น ไม่อนุญาตให้นำไปใช้ประโยชน์ด้านการค้า

ไม่ว่ากรณีใดๆทั้งสิ้น อีกทั้งห้ามมิให้ดัดแปลงเนื้อหา และต้องอ้างอิงถึงเจ้าของเอกสารทุกครั้งที่มีการนำไปใช้



SIGNAL GENERATOR



PSEUDO CODE

เอกสารนี้เป็นเอกสารที่สงวนไว้สำหรับการใช้งานเพื่อการศึกษาเท่านั้น ไม่อนุญาตให้นำไปใช้ประโยชน์ด้านการค้า
ไม่ว่ากรณีใดๆทั้งสิ้น อีกทั้งห้ามมิให้ดัดแปลงเนื้อหา และต้องอ้างอิงถึงเจ้าของเอกสารทุกครั้งที่มีการนำไปใช้

LM565/LM565C



LM565/LM565C Phase Locked Loop

General Description

The LM565 and LM565C are general purpose phase locked loops containing a stable, highly linear voltage controlled oscillator for low distortion FM demodulation, and a double balanced phase detector with good carrier suppression. The VCO frequency is set with an external resistor and capacitor, and a tuning range of 10:1 can be obtained with the same capacitor. The characteristics of the closed loop system—bandwidth, response speed, capture and pull in range—may be adjusted over a wide range with an external resistor and capacitor. The loop may be broken between the VCO and the phase detector for insertion of a digital frequency divider to obtain frequency multiplication.

The LM565H is specified for operation over the -55°C to $+125^{\circ}\text{C}$ military temperature range. The LM565CH and LM565CN are specified for operation over the 0°C to $+70^{\circ}\text{C}$ temperature range.

Features

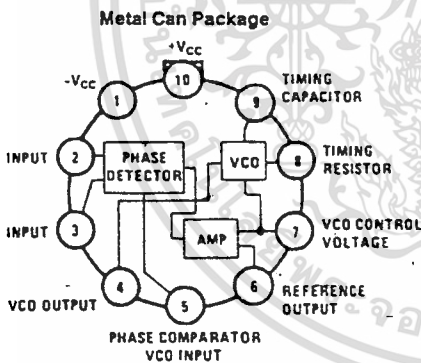
- 200 ppm/ $^{\circ}\text{C}$ frequency stability of the VCO
- Power supply range of ± 5 to ± 12 volts with 100 ppm/% typical
- 0.2% linearity of demodulated output

- Linear triangle wave with in phase zero crossings available
- TTL and DTL compatible phase detector input and square wave output
- Adjustable hold in range from $\pm 1\%$ to $> \pm 60\%$

Applications

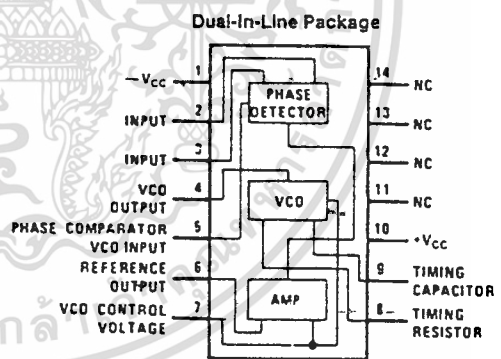
- Data and tape synchronization
- Modems
- FSK demodulation
- FM demodulation
- Frequency synthesizer
- Tone decoding
- Frequency multiplication and division
- SCA demodulators
- Telemetry receivers
- Signal regeneration
- Coherent demodulators

Connection Diagrams



Order Number LM565H or LM565CH
See NS Package Number H10C

TL/H/7853-2



Order Number LM565CN
See NS Package Number N14A

TL/H/7853-3

Absolute Maximum Ratings

If Military/Aerospace specified devices are required, contact the National Semiconductor Sales Office/Distributors for availability and specifications.

Supply Voltage	±12V
Power Dissipation (Note 1)	1400 mW
Differential Input Voltage	±1V

Operating Temperature Range

LM565H	-55°C to +125°C
LM565CH, LM565CN	0°C to +70°C

Storage Temperature Range

-65°C to +150°C

Lead Temperature (Soldering, 10 sec.)

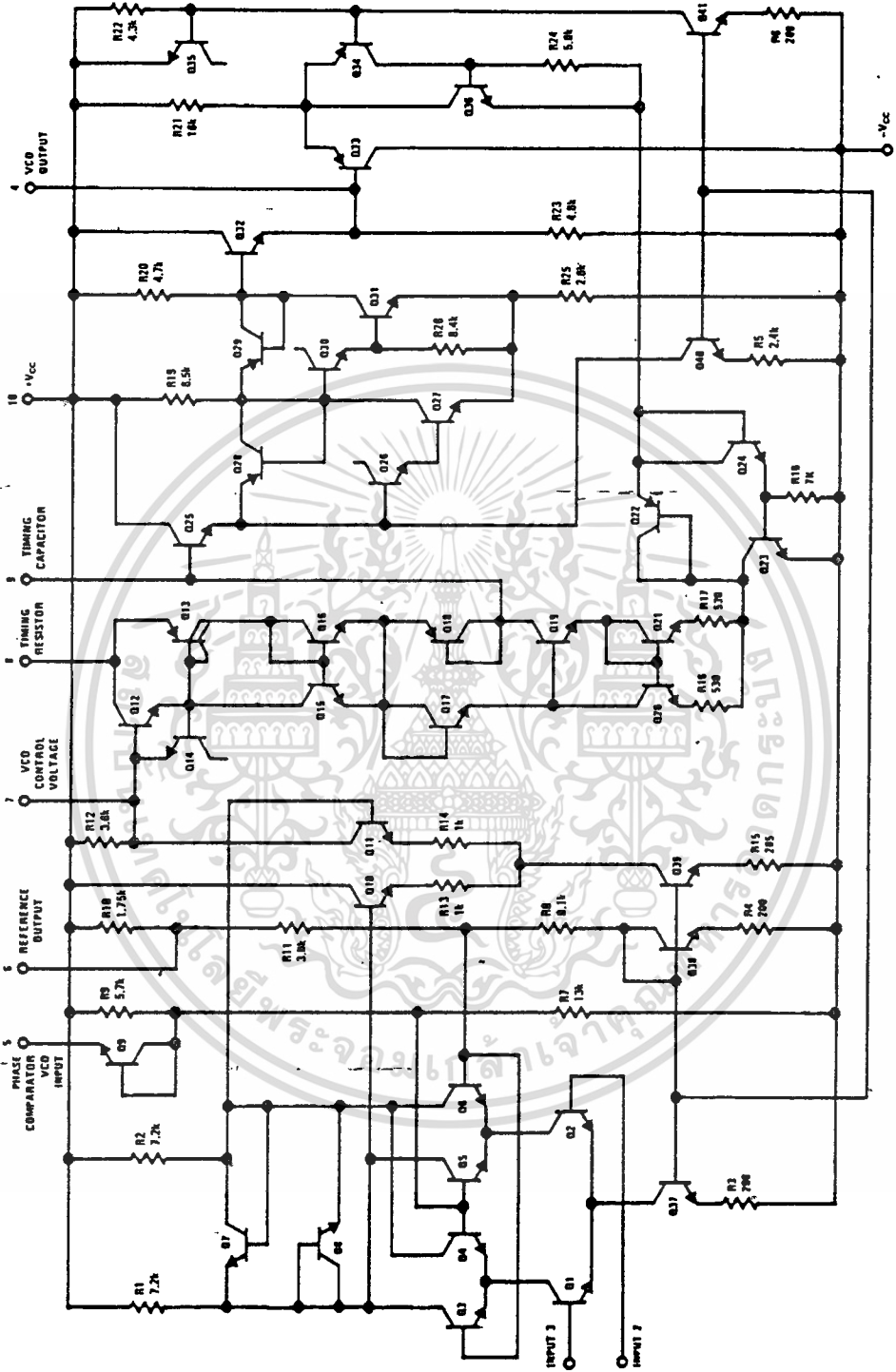
260°C

Electrical Characteristics AC Test Circuit, T_A = 25°C, V_{CC} = ±6V

Parameter	Conditions	LM565			LM565C			Units
		Min	Typ	Max	Min	Typ	Max	
Power Supply Current			8.0	12.5		8.0	12.5	mA
Input Impedance (Pins 2, 3)	-4V < V ₂ , V ₃ < 0V	7	10			5		kΩ
VCO Maximum Operating Frequency	C _o = 2.7 pF	300	500		250	500		kHz
VCO Free-Running Frequency	C _o = 1.5 nF R _o = 20 kΩ f _o = 10 kHz	-10	0	+10	-30	0	+30	%
Operating Frequency Temperature Coefficient			-100			-200		ppm/°C
Frequency Drift with Supply Voltage			0.1	1.0		0.2	1.5	%/V
Triangle Wave Output Voltage		2	2.4	3	2	2.4	3	V _{p-p}
Triangle Wave Output Linearity			0.2			0.5		%
Square Wave Output Level		4.7	5.4		4.7	5.4		V _{p-p}
Output Impedance (Pin 4)			5			5		kΩ
Square Wave Duty Cycle		45	50	55	40	50	60	%
Square Wave Rise Time			20			20		ns
Square Wave Fall Time			50			50		ns
Output Current Sink (Pin 4)		0.6	1		0.6	1		mA
VCO Sensitivity	f _o = 10 kHz		6600			6600		Hz/V
Demodulated Output Voltage (Pin 7)	±10% Frequency Deviation	250	300	400	200	300	450	mV _{p-p}
Total Harmonic Distortion	±10% Frequency Deviation		0.2	0.75		0.2	1.5	%
Output Impedance (Pin 7)			3.5			3.5		kΩ
DC Level (Pin 7)		4.25	4.5	4.75	4.0	4.5	5.0	V
Output Offset Voltage V ₇ - V ₆			30	100		50	200	mV
Temperature Drift of V ₇ - V ₆			500			500		μV/°C
AM Rejection		30	40		40			dB
Phase Detector Sensitivity K _D			.68			.68		V/radian

Note 1: The maximum junction temperature of the LM565 and LM565C is +150°C. For operation at elevated temperatures, devices in the TO-5 package must be derated based on a thermal resistance of +150°C/W junction to ambient or +45°C/W junction to case. Thermal resistance of the dual-in-line package is +85°C/W.

Schematic Diagram



TL/H/7653-1

เอกสารนี้เป็นเอกสารที่สงวนไว้สำหรับการใช้งานเพื่อการศึกษาเท่านั้น ไม่อนุญาตให้นำไปใช้ประโยชน์ด้านการค้า
ไม่ว่ากรณีใดๆทั้งสิ้น อีกทั้งห้ามมิให้ดัดแปลงเนื้อหา และต้องอ้างอิงถึงเจ้าของเอกสารทุกครั้งที่มีการนำไปใช้

Applications Information

In designing with phase locked loops such as the LM565, the important parameters of interest are:

FREE RUNNING FREQUENCY

$$f_o \approx \frac{0.3}{R_o C_o}$$

LOOP GAIN: relates the amount of phase change between the input signal and the VCO signal for a shift in input signal frequency (assuming the loop remains in lock). In servo theory, this is called the "velocity error coefficient."

$$\text{Loop gain} = K_o K_D \left(\frac{1}{\text{sec}} \right)$$

$$K_o = \text{oscillator sensitivity} \left(\frac{\text{radians/sec}}{\text{volt}} \right)$$

$$K_D = \text{phase detector sensitivity} \left(\frac{\text{volts}}{\text{radian}} \right)$$

The loop gain of the LM565 is dependent on supply voltage, and may be found from:

$$K_o K_D = \frac{33.6 f_o}{V_c}$$

f_o = VCO frequency in Hz

V_c = total supply voltage to circuit

Loop gain may be reduced by connecting a resistor between pins 6 and 7; this reduces the load impedance on the output amplifier and hence the loop gain.

HOLD IN RANGE: the range of frequencies that the loop will remain in lock after initially being locked.

$$f_H = \pm \frac{8 f_o}{V_c}$$

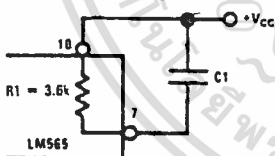
f_o = free running frequency of VCO

V_c = total supply voltage to the circuit

THE LOOP FILTER

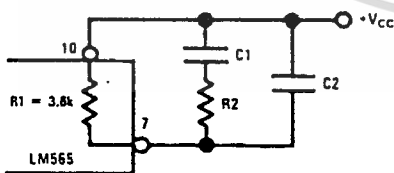
In almost all applications, it will be desirable to filter the signal at the output of the phase detector (pin 7); this filter may take one of two forms:

Simple Lag Filter



TL/H/7853-11

Lag-Lead Filter



TL/H/7853-12

A simple lag filter may be used for wide closed loop bandwidth applications such as modulation following where the frequency deviation of the carrier is fairly high (greater than 10%), or where wideband modulating signals must be followed.

The natural bandwidth of the closed loop response may be found from:

$$f_n = \frac{1}{2\pi} \sqrt{\frac{K_o K_D}{R_1 C_1}}$$

Associated with this is a damping factor:

$$\delta = \frac{1}{2} \sqrt{\frac{1}{R_1 C_1 K_o K_D}}$$

For narrow band applications where a narrow noise bandwidth is desired, such as applications involving tracking a slowly varying carrier, a lead lag filter should be used. In general, if $1/R_1 C_1 < K_o K_D$, the damping factor for the loop becomes quite small resulting in large overshoot and possible instability in the transient response of the loop. In this case, the natural frequency of the loop may be found from

$$f_n = \frac{1}{2\pi} \sqrt{\frac{K_o K_D}{\tau_1 + \tau_2}}$$

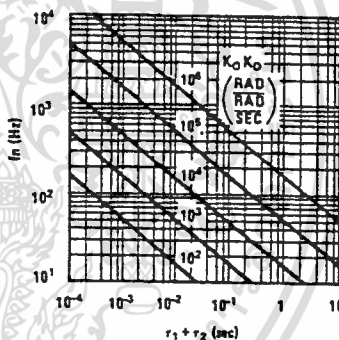
$$\tau_1 + \tau_2 = (R_1 + R_2) C_1$$

R_2 is selected to produce a desired damping factor δ , usually between 0.5 and 1.0. The damping factor is found from the approximation:

$$\delta \approx \pi \tau_2 f_n$$

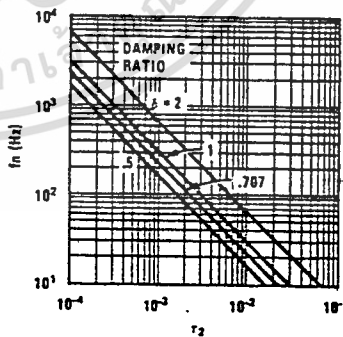
These two equations are plotted for convenience.

Filter Time Constant vs Natural Frequency



TL/H/7853-13

Damping Time Constant vs Natural Frequency

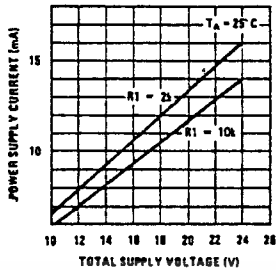


TL/H/7853-14

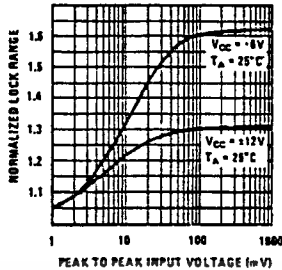
Capacitor C_2 should be much smaller than C_1 since its function is to provide filtering of carrier. In general $C_2 \leq 0.1 C_1$.

Typical Performance Characteristics

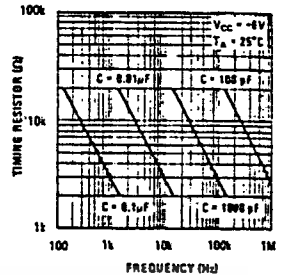
Power Supply Current as a Function of Supply Voltage



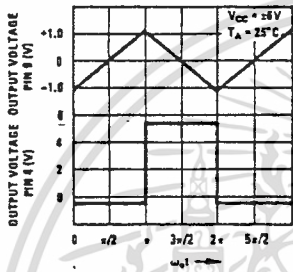
Lock Range as a Function of Input Voltage



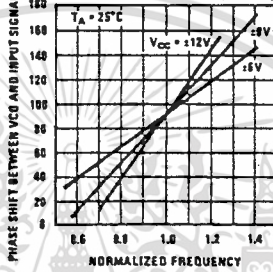
VCO Frequency



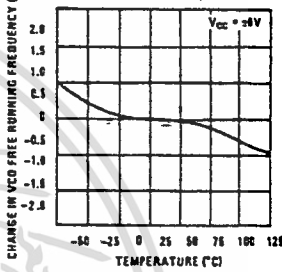
Oscillator Output Waveforms



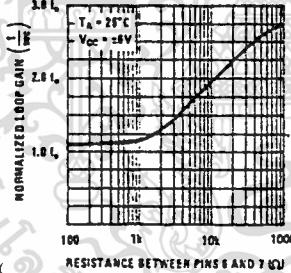
Phase Shift vs Frequency



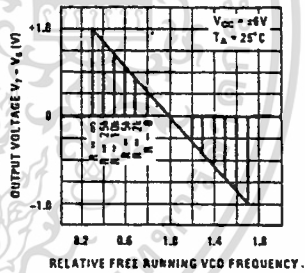
VCO Frequency as a Function of Temperature



Loop Gain vs Load Resistance



Hold in Range as a Function of R6-7



กิติกรรมประกาศ

การทำปริญญานิพนธ์เรื่อง ชุดทดลอง DIGITAL COMMUNICATION (DIGICOM 3133) นี้ ข้าพเจ้าและเพื่อนขอขอบคุณอาจารย์ กฤดากร กลุ่มการ ในฐานะอาจารย์ที่ปรึกษาที่ช่วยให้คำแนะนำชี้แนะวิธีการหลักการสร้างทดลองจนแนวทางแก้ไข ทั้งยังเป็นทีปรึกษาทางด้านทฤษฎีของระบบการส่งทั้งหมดนี้ด้วย

สุดท้ายนี้ หวังว่าชุดทดลองชุดนี้คงจะมีประโยชน์สำหรับผู้ที่ต้องการศึกษาระบบการส่งข้อมูลแบบต่าง ๆ ถ้าโครงการนี้มีส่วนใดอันได้ข้าพเจ้าขอมอบให้อาจารย์ทุกท่าน



เอกสารนี้เป็นเอกสารที่สงวนไว้สำหรับการใช้งานเพื่อการศึกษาเท่านั้น ไม่อนุญาตให้นำไปใช้ประโยชน์ด้านการค้า
ไม่ว่ากรณีใดๆทั้งสิ้น อีกทั้งห้ามมิให้ดัดแปลงเนื้อหา และต้องอ้างอิงถึงเจ้าของเอกสารทุกครั้งที่มีการนำไปใช้

บรรณานุกรม

ประสิทธิ์ ประพนมกุลการ หลักการระบบสื่อสาร , ซีเอ็ดดูเคชั่น จำกัด, กรุงเทพฯ, 2533



เอกสารนี้เป็นเอกสารที่สงวนไว้สำหรับการใช้งานเพื่อการศึกษาเท่านั้น ไม่อนุญาตให้นำไปใช้ประโยชน์ด้านการค้า
ไม่ว่ากรณีใดๆทั้งสิ้น อีกทั้งห้ามมิให้ดัดแปลงเนื้อหา และต้องอ้างอิงถึงเจ้าของเอกสารทุกครั้งที่มีการนำไปใช้